

ČASOPIS  
PRO RADIOTECHNIKU  
A AMATÉRSKÉ VYSÍLÁNÍ  
ROČNÍK XX/1971 ČÍSLO 5

## V TOMTO SEŠITĚ

Náš interview . . . . .	161
Provolání FV Svazarmu ČSSR . . . . .	162
Zpráva ze zasedání pléna ÚV ČRA Svazarmu ČSR . . . . .	163
Čtenáři se ptají (Plošné spoje Smaragd) . . . . .	164
Čtvrtmiliardní zákazník Multiservisu Tesla . . . . .	165
Jak na to . . . . .	166
Součástky na našem trhu . . . . .	167
Gramofony z Tesly Litovel . . . . .	168
Začínáme od krystalky (5) . . . . .	169
Nové možnosti získávání DSB a SSB signálu pomocí ferroelektrik . . . . .	170
Tranzistorový zesilovač 2T61 . . . . .	172
Stojnosměrný tranzistorový osciloskop . . . . .	173
Tyristorová nabíječka akumulátorů . . . . .	177
Konvertory pro dálkový příjem TV . . . . .	183
Jednoduchý přijímač . . . . .	185
Kondenzátorové zapalování . . . . .	186
Škola amatérského vysílání . . . . .	189
Malý stabilní vysílač . . . . .	191
Tranzistorové vysílače pro KV . . . . .	191
Soutěže a závody . . . . .	195
OL QTC . . . . .	196
CQ YL . . . . .	197
DX . . . . .	197
Četli jsme . . . . .	198
Naše předpověď . . . . .	198
Nezapomeňte, že . . . . .	199
Přečteme si . . . . .	199
Inzerce . . . . .	199

Na str. 179 až 182 jako vyjímatelná  
příloha „Malý katalog tranzistorů“.

## AMATÉRSKÉ RADIO

Vydává FV Svazarmu ve vydavatelství MAGNET, Praha 1, Vladislavova 26, telefon 260651. Šéfredaktor ing. František Smolík, zástupce Lubomír Březina. Redakční rada: K. Bartoš, O. Brzák, ing. J. Čermák, CSc., K. Donát, L. Hlinský, ing. L. Hloušek, A. Hofhans, Z. Hradík, ing. J. Hyman, J. Krmárik, ZMS, ing. J. Jaroš, K. Novák, ing. O. Petráček, dr. J. Petránek, M. Procházka, ing. J. Vackář, CSc., laureát st. ceny KG, J. Ženíšek. Redakce Praha 2, Lublaňská 57, tel. 223630. Ročně vydeje 12 čísel. Cena výtisku 5 Kčs, pololetní předplatné 30 Kčs. Rozšířuje PNS, v jednotkách ozbrojených sil vydavatelství MAGNET, administrace Praha 1, Vladislavova 26. Objednávky přijímá každá pošta i doručovatel. Dohledací pošta Praha 07. Objednávky do zahraničí vyřizuje PNS, vývoz tisku, Jindřišská 14, Praha 1. Tiskne Poligrafia 1, n. p., Praha. Inzerci přijímá vydavatelství MAGNET, Vladislavova 26, Praha 1, tel. 260651, linka 294. Žádost o příspěvku ruči autor. Redakce rukopis vrátí, bude-li vyžádán a bude-li připojena frankovaná obálka se zpětnou adresou.

Toto číslo vyšlo 13. května 1971  
© Vydavatelství MAGNET, Praha

náš  
interview

s Antonínem Glancem, OK1GW, inženýrem Fyzikálního ústavu ČSAV, o tandemu a věcech kolem něho.

Před nedávnem jsi se vrátil po dvou letech z USA. Dovol, abych Ti proto položil několik otázek. Co jsi v USA dělal a kdo Tě tam vyslal?

Do Spojených států mě vyslala Československá akademie věd na základě pozvání ředitelky Materials Research Laboratory (MRL) Pensylvánské státní university. Byla to moje druhá cesta do USA. Při stanovení pracovního programu jsem vycházel z rozboru faktorů, které byly příčinou omezení a nakonec úplného zastavení výzkumu režimu teplotní autostabilizace (TANDEL) v ČSSR.

Snad k tomu přispělo tvrzení některých našich odborníků i zprávy v odborných časopisech, že tandem není naším původním patentem, ale že jej předcházelo několik patentů zahraničních. Jak to ve skutečnosti je?

Mohu popravdě říci, že existují dva zahraniční patenty, americký a západoněmecký, které nebyly v době přihlášování mého patentu známy. Tento fakt skutečně vedl některé lidi k předčasným závěrům. V průběhu patentového řízení se zahraničím byl americký patent jako možná námítka zcela vyřazen. Předmětem západoněmeckého patentu je autostabilizující termostat. Autor byl skutečně velmi blízko, nikdy však nepochopil, že lze využít dielektrických a jiných nelinearit ferroelektrických látek v elektronických obvodech. Lze tedy říci, že ani jeden z těchto patentů nemůže poskytovat ochranu tomu, kdo by chtěl vyrábět tandem, tj. Teplotní Autostabilizující Nelineární Dielektrický Element. Je ke škodě těch, kteří si pospisili s psaním nekrologů na tandem, že dodnes zřejmě nepochopili jeho princip. K dokreslení atmosféry té doby bych rád uvedl, že zmíněný patent byl mnohem dříve uznán a vydán v celé řadě zemí včetně USA (USP 3,355,634) než v Československu. Stejně i některé odborné časopisy později odmítaly články, které „zaváděly“ tandemem.

Pokud vám, přednášel jsi v zahraničí několikrát o tandemu a jeho využití. Můžete čtenářům říci, kde to bylo?

Velkým uznáním bylo pro mne pozvání k přednesení tzv. „invited paper“ na sympozium o aplikacích ferroelektrik, které se konalo v září 1968 ve Washingtonu D. C. Během tohoto krátkého pobytu v USA jsem navštívil celou řadu významných laboratoří, které se zabývají podobnou problematikou. Již během prvního roku studijního pobytu mi Pensylvánská universita umožnila zúčastnit se druhé mezinárodní konference o ferroelektrině v Japonsku. Přednášel jsem zde referát o možnosti využití indukovaného piezoeffektu v režimu teplotní autostabilizace.

Zde vidíme programy dalších přednášek z Japonska, na nichž je uveden titul dr. Glanc. Pokud vám, tento titul jsi u nás nezískal?

To souvisí s dekretem na titul senior research associate, který mi byl udělen



Antonín Glanc, OK1GW

Pensylvánskou státní universitou a spadá do kategorie Ph.D. Za největší poctu pokládám osobní pozvání prezidenta Japonské společnosti pro aplikovanou fyziku prof. Koreo Kinoshita k přednesení dalšího „invited paper“ na sympozium o aplikacích ferroelektrik v Tokiu. Cesty do Japonska jsem využil k návštěvě řady vědeckých ústavů a univerzit.

To tedy jasné ukazuje, že hlasy, které se u nás v osobních debatách i v tisku ozvaly a tvrdily, že tandem není původní a k ničemu se nehodí, jsou nepravidlivé. Zajímalo by jistě nejen mne, ale i čtenáře, jak se celá otázka dále vyvíjela, protože řada článků a reportáží mluvila o objevu a předvídání se zúčastnil i bývalý president republiky.

Co bylo řečeno, to si každý může přečíst. Přiznávám, že i já sám jsem byl v zajetí propagandy, že tandem se hodí téměř do každé domácnosti. To však nelze zatím říci ani o tranzistoru. Snaha za každou cenu nahradit osvědčené součástky v klasických zapojeních nemohla skončit jinak. Přitom se bohužel tehdy nepřihlédlo k některým specifickým vlastnostem tandemu, které se u jiných prvků nevykazují a jichž může být využito. Některé z těchto vlastností byly dokonce klasifikovány jako omezující faktory, bránící využití tandemu. Jako příklad lze uvést vlastní mechanické kmity vzorku, jichž lze využít ve spojitosti s indukovaným piezoeffektem. Tak by se dalo hovořit o řadě dalších aspektů. Osobně jsem dnes rád, že jsem u toho přes veškerá úskali vydržel, i když sám.

Byl tandem někdy prakticky využit v zahraničí?

I když jsem nemohl z různých důvodů navštívit mnoho laboratoří, zabývajících se aplikacemi, mohu říci, že jsem se se studiem této problematiky setkal na řadě míst. Tak například v laboratořích firmy Hitachi v Tokiu jsem se přesvědčil o tom, že teplotně autostabilizační režim, jak byl vyvinut v ČSSR a patentován, je v Japonsku využíván v řadě aplikací. Máme na mysli několik typů elektrometrických obvodů, z nichž některé pracují v laboratořích uvedené

firmy s driftem  $10 \mu V$  i méně za 24 hodin. Zde slouží nepřímo vyhřívaný prvek jako vstupní obvod s velkou impedanci ve spojení s detektorem infračerveného záření vysoké citlivosti. Další japonská firma SONY zkoumá parametrické obvody v režimu teplotní autostabilizace. Firma Corning v USA vyuvinula feroelektrická skla, na nichž se podařilo dosáhnout tandemového režimu. Významných výsledků bylo dosaženo na Brooklynském polytechnickém institutu, kde se zabývají čidly citlivými na přestup tepla. (Je známo, že tandem může pracovat jako průtokomér s citlivostí sedmkrát větší než termistor.) Do stadia hotového výroby byl dovenec rychlý tandemový detektor infračerveného záření u firmy Carborundum. Některé piezoelektrické aplikace a tandemový režim na polovodivých materiálech jsou zkoumány v MRL-PSU. Z toho všechno je patrné, že i v USA je autostabilizační režim vlastně novou problematikou.

#### Jaké jsou Tvé další plány?

Vycházím ze zkušeností, které jsem získal. Má dnes mnohem lepší představu o tom, kterým směrem se bude ubírat výzkum aplikaci v oboru feroelektrik. Ukažuje se, že možnosti využití autostabilizačního režimu nejsou zdaleka vyčerpány.

**Ty sám jsi aktivní amatér-vysílač. Uvažoval jsi někdy o využití tandemu také v amatérské praxi?**

I na to jsem myslil při svém pobytu v USA. Podle mého názoru se mi to podařilo. Jde o využití viceelektrodotového prvku, který pracuje při vlastní mechanické rezonanci v tandemovém režimu. Pomoci indukovaného piezofaktu může prvek pracovat jako generátor dvou postranních pásem a potlačenou nosnou vlnou (DSB). Princip s experimentálnimi výsledky jsem publikoval v japonském časopise pro aplikovanou fyziku OYO BUTURI. Dalším krokem byla snaha o vytvoření takové konfigurace elektrod, při níž by jedním prvkem bylo možné dosáhnout současně potlačení nosné vlny a jednoho postranního pásma (SSB); i to se nakonec podařilo. Na laboratorním vzorku bylo dosaženo potlačení nosné  $-80 \text{ dB}$  a potlačení druhého postranního pásma  $-45 \text{ dB}$ . Problémem však stále zůstávají vhodné materiály. Ve volných chvílích jsem se zabýval S.S.T.V. („pomalá“ televize) a tak se snad na pásmu i „brzy uvidíme“. Technický článek, popisující všechny tyto možnosti, jsem slíbil napsat v nejbližší době.

To je konečně slovo do pranice. S jedním prvkem dosáhnout signálu SSB, to se zatím nikomu na světě nepodařilo a o tzv. „pomalou“ televizi bude jistě velký zájem. Jen mám obavy, najde-li se výrobní závod, který by tyto velejednoduché součástky vyrobil. Byl by to přínos nejen pro amatéry, ale samozřejmě i pro celou naši společnost, protože není pochyb o tom, že o tento princip měli zájem i mnozí světoví výrobci různých zařízení. Rada světových rozhlasových stanic totiž již zkouší poukazné vysílání SSB a k tomu budou potřebovat nové přístroje a zafázování na přijímací i vysílací straně. V telekomunikačních speciálně v nosné telefonii, kde se SSB používá již dříve, by dokonce využití principu tandemu bylo světovým prvenstvím a přínosem Československa v této oblasti.

Tak hodně zdaru - a aby se nové principy brzy povedlo prosadit.

Rozmlouval ing. František Smolík

## PROVOLÁNÍ FV SVAZARNU ČSSR

k 50. výročí založení KSČ a 20. výročí vzniku Svazarmu

\* \* \*

Všem základním organizacím a klubům, okresním výborům, svazům a sekčím, všem členům, funkcionářům a aktivistům Svazarmu



socialistické cesty, o to se především zasloužil Sovětský svaz společně s ostatními socialistickými zeměmi Varšavské smlouvy internacionální pomoci poskytnutou nám v srpnu 1968.

Byl to Sovětský svaz, který v novodobých dějinách našich národů stál vždy věrně na naší straně. Komunistická strana nás vždy učila lásku k Sovětskému svazu, k jeho lidu a slavné armádě, která nás osvobodila ze smrtelného nebezpečí fašismu. Spojenectví a spolupráce se socialistickými zeměmi a především se Sovětským svazem poskytuje našim národům bezpečnou záruku státní a národní svrchovanosti před každou hrozou agrese a vydírání ze strany imperialismu.

Pro nás, svazarmovce, je letošní rok významný také tím, že oslavíme dvacetiletou práci naší organizace. Vznik Svazarmu je úzce spjat s vítězným bojem KSČ, s revolučními tradicemi našeho lidu a armády, s novodobými tradicemi socialistického vlasteneckví a proletářského internacionálismu. Ideály lidové obrany vlasti, zásady branné politiky KSČ, za něž strana usilovně bojovala, staly se reálnou linií a stěžejní obnovou náplní práce branné dobrovolné organizace Svazu pro spolupráci s armádou, jedné ze společenských organizací Národní fronty. Dvacetiletá činnost prověřila praxi správnost úlohy a poslání Svazarmu v politickém i braném systému státu jako výraz marxisticko-leninských principů nepřemožitelné všeobecné obrany země. V duchu socialistické koncepcie jednotného systému branné přípravy obyvatelstva Svazarm rozvíjí rozhodující oblasti společenských úkolů v přípravě k obraně vlasti a v přípravě mládeže pro službu v ozbrojených silách v dialektické jednotě se zájmovou a sportovní činností.

Dvacetiletá branná tradice naší organizace obstála v boji s desintegrativními pravicově oportunistickými silami především zásluhou svazarmovců v základních organizacích a většině okresních organizací. Všem této desetiasedmdesáti členům, funkcionářům a aktivistům, kteří svou dlouholetou aktivitou a iniciativou pozvedli autoritu Svazarmu, jež významně přispěla k obraně i budování socialistické vlasti, patří velké uznání a dík. Naše snaha a úsilí v pomoci národnímu hospodářství, přes 300 svazarmovských brigád socialistické práce, přes 600 svazarmovských úderek, dílen, provozů ve všech oblastech hospodářské činnosti potvrzuji, že jsme obranu i výstavbu země chápali vždy v nedilné jednotě podle hesla „Buduj vlast – posílaj mír“.

Úspěchy, jichž jsme dosáhli ve dvacetileté činnosti, naplnují nás hrđostí, ale především zavazují, abychom s novým pracovním elánem, čerpajíce z nejlepších našich zkušeností, poučeni a neotřeseni nedávným útokem rozbíjeckých živlů, šli jednotně a cílevědomě vpřed za masový rozvoj branné výchovy, za vysokou úroveň branné a zájmové činnosti. Ještě účinněji budeme roзвíjet tradiční spolupráci s bratrskými bran-

nými organizacemi socialistických zemí, především se sovětským DOSAAF.

S nástupem do letošního jubilejního roku přijal federální výbor Svazarmu ČSSR na svém 5. plenárním zasedání řadu koncepčních a perspektivních úkolů, jejichž vyřešení bude znamenat zásadní obrat k cílevědomé, odpovědné, soustavné a kvalitní práci řídících orgánů na všech stupních.

Na počest 50. výročí založení KSČ a 20. výročí vzniku Svazarmu vyhlásil federální výbor soutěž „O vzornou okresní organizaci Svazarmu“, od níž očekává, že se stane účinným prostředkem iniciativního snažení všech volených orgánů základních organizačních článků „svazarmovských kolektívů“ i jednotlivých členů. Jen naše činorodá práce, boj o lepší výsledky v soutěži za splnění všech úkolů a uzavřených závazků pozvedne práci organizace na vyšší úroveň. Sebelepší usnesení a úmysly samy o sobě nezmohou nic, všechno závisí na jejich realizaci, na konkrétní drobné každodenní práci.

Federální výbor Svazarmu ČSSR obrací se před výročím komunistické strany a výročím naší branné organizace ke všem okresním výborům, svazům a sekčím, základním organizačním a klubům Svazarmu a všem jejich členům s výzvou k iniciativnímu nástupu na všech úsečích činnosti, aby bilance našich výsledků byla důstojná úspěšné dvacetileté tradice Svazarmu.

Zkvalitňujte řídící a organizátorskou činnost na všech stupních, upevnějte a rozšířujte své řady, největší úsilí venujte rozvoji a aktívni činnosti všech základních organizací, klubů i okresních orgánů, aby okresní konference Svazarmu dovršily politickou i organizační konsolidaci a přinesly nejlepší výsledky i perspektivy v činnosti.

Zvyšujte kvalitu a intenzitu ideově výchovné práce, která je nosným pilířem veškeré naší branné činnosti. Ona je základem morálních i politických postojů každého člena, zdrojem jeho motivace a iniciativy, měřítkem jeho třídní, vlastenecké a internacionální výchovy. Všechny naše úspěchy budou nakonec měřítkem úrovně a účinnosti ideově výchovné práce.

Aktivně rozvíjete práci s mládeží. Jsme přesvědčeni, že podíl Svazarmu na integračním procesu mládeže a nejužší spolupráci se Socialistickým svazem mládeže bude podstatný. Svou mnohonásobnou činnost vytvářejme příznivé podmínky k účinnému působení na ideovou, polytechnickou a brannou výchovu. Otázka mládeže je otázkou růstu mladých obránců vlasti i výchovy mladé generace, proto i v naší organizaci musí mít podstatné místo.

Jestliže jsme vždy ve Svazarmu zdůrazňovali otázkou mládeže, v současné etapě jde o kvalitativní změnu – o vytvoření uceleného jednotného systému jako součásti výchovného působení na celou mladou socialistickou generaci. Branná výchova je součástí komunistické výchovy.

Federální výbor se obrací proto na všechny naše ZO a kluby, OV, svazy i sekce, aby v duchu realizace dohody s SSM věnovaly výchově mládeže mimořádnou pozornost a skutečně na každém úseku naší činnosti daly tomuto provořademu úkolu zelenou.

S nastupující pětiletkou věnujte mimořádné úsilí splnění úkolů na pravovištích, zdokonalujte svou práci a důsledně uplatňujte principy socialistického hospodaření na všech úsečích ekonomické oblasti.

V pevně jednotě naší organizace je největší síla. Obracíme se na všechny svazy, aby zkvalitňovaly oborové řízení a dále posilovaly svazové řízení a upevňovaly všesvazové orgány na všech stupních. Dovršení konsolidace organizace nechť najde plnou odevzdu v masovém rozvoji branné výchovy, v iniciativě, aktivitě a angažovanosti každého svazarmovce.

Po dvacet let vývoje naší branné organizace jsme chápali svou činnost jako vlasteneckou a vlastenecký se měří poctivou, činorodou prací a nejvyššími morálně politickými hodnotami. Nechť toto vlastenecký je měřítkem i našich nových úspěchů.

Po vedením Komunistické strany Československa za další rozvoj branné výchovy našeho lidu, vstříč 50. výročí založení KSČ a 20 letům Svazarmu.

#### Federální výbor Svazu pro spolupráci s armádou ČSSR

#### Zpráva ze zasedání pléna UV ČRA Svazarmu ČSR

Dne 13. března 1971 se konalo v Olověmoci zasedání pléna UV ČRA. Zasedání zahájil v 09.00 hod. předseda s. Ladislav Hlinský a seznámil přítomné členy s programem, který byl rozvržen do šesti bodů.

1. Kontrola usnesení ze zasedání předsednictva UV ČRA ze dne 21. 12. 1970.

2. Zpráva o konsolidačním procesu ve svazu ČRA k 1. 3. 1971.

3. Informační zpráva o dlouhodobé koncepci radioamatérské činnosti Svazarmu ČSR.

4. Zpráva o činnosti odboru ČRA.

5. Informace od členů pléna, kteří mají patronát nad OV ČRA.

6. Různé.

Obě přednesené zprávy (bod 1 a 2) byly plenem schváleny a budou předloženy UV Svazarmu ČSR.

#### Výtažek z důležitých bodů jednání

- plenum doporučilo ponechání stávajících registračních vložek ČRA do členských průkazů Svazarmu pro letošní rok bez ohledu na to, že názvosloví v záhlaví průkazu není zcela správné. Nové registrační vložky budou vydány v příštím roce. Dosavadní registrační vložky je však třeba opatřit razítkem OV ČRA s vyznačením prodloužení platnosti.

- byla podána informace o stavu a činnosti amatérské kontrolní odpolechové služby. Jednotné směrnice pro činnost členů KOS jsou zpracovány a budou v nejbližších dnech odeslány všem těm, kdo byli do funkce doporučeni OV ČRA.

- plenum informovalo o jednání představitelů svazu ČRA a KSR MV o provádění zkoušek žadatelů o povolení na zřízení amatérské vysílací stanice, jakož i o jmenování zkoušební komise.

- byl přečten dopis s. Vladimíra Dostálka, ve kterém sdělil svoje důvody na rezignaci z funkce vedoucího politicko-propagačního odboru ČRA. Žádost s. Dostálka bylo vyhověno. Novým vedoucím odboru byl zvolen s. Ludvík Gistinger. O uvolnění z funkce vedoucího technického odboru požádal písemně s. ing. Karel Jordán. Jeho žádost bylo také vyhověno a rozhodnuto, aby odbor MTZ

byl začleněn do odboru technického, neboť z praxe je známo, že se tyto dva odbory svou problematikou mnohdy silně prolínají. Novým vedoucím technického odboru ČRA byl zvolen s. ing. Karel Gregor.

- v důsledku výše uvedených změn bylo nutno kooparovat do pléna nového člena. Stal se jím s. Svatopluk Čech. Do předsednictva byli kooprovati s. Oldřich Spilka a s. Stanislav Vavřík.

- z aktivů a konferencí OV ČRA docházela řada připomínek na nevhodný termín vysílání stanice OK1CRA. Nejvíce připomínek bylo vzneseno k nedělnímu vysílání, které prý členům nevyhovuje. Zdůvodnění spočívá v tom, že soboty a neděle jsou využívány k rekreaci, hlavně v jarních a letních měsících. Rovněž vysílání ve středu v 16.00 SEČ zdá se mnohým členům nevhodné vzhledem k tomu, že jsou v tu dobu většinou na cestě domů ze zaměstnání. Proto bylo usneseno, aby dnem 1. 5. 1971 bylo vysílání OK1CRA zkušebně v pondělí v 17.00 SEČ a ve čtvrtek v 08.00 SEČ a v 17.00 SEČ na kmitočtu kolem 3 695 kHz.

- VKV odbor předložil plénu ke schválení kompetenční řád, který byl po malé úpravě v úvodním textu schválen. Bylo doporučeno, aby i ostatní odbory zpracovaly svůj kompetenční řád.

- plenum akceptovalo rozhodnutí ÚRK ČSSR z 21. 1. 1971 a svěřilo zajistění organizace mezinárodních závodů v honu na lišku OV ČRA a OV Svazarmu v Hodoníně. Obě tyto složky mají bohaté organizační zkušenosti z dřívějších akcí zde pořádaných.

- odbor RTO předložil ke schválení podmínky jednotné sportovní klasifikace s výhledovou platností do roku 1975. Schváleno.

- odbor honu na lišku předložil ke schválení podmínky jednotné sportovní klasifikace. Schváleno.

- na návrh odboru RTO, který má širokou náplň činnosti a nemůže ve svém rámci plně zajistit sportovní disciplínu rychlotelegrafie, byl vytvořen nový odbor, který je výhradně orientován na tuto disciplínu. Do funkce vedoucího odboru byl jmenován s. ing. Jaromír Vondráček, který má bohaté zkušenosti jako závodník i jako hlavní rozhodčí z milních ročníků mistrovských soutěží.

- členové pléna, kteří mají patronát nad OV ČRA, podali informace o své činnosti a získaných poznatkách. V průběhu jednání si další členové pléna převzali patronáty nad OV ČRA, se kterými mají možnost pravidelného styku k přenášení aktuálních informací z jednání pléna nebo předsednictva svazu ČRA.

- předseda organizačního výboru „Olověmoc 71“ s. Oldřich Spilka podal zprávu o stavu příprav této velké amatérské společenské akce, která by svým letošním rozsahem měla předčít všechny akce dosud konané.

- byla vzata na vědomí zpráva o jednání s organizátory výstavy „AVRO 71“ o účasti a rozsahu expozice ČRA.

- plenum projednalo návrhy podané jednotlivými odbory ČRA na udělení vyznamenání radioamatérům při příležitosti 20. výročí založení Svazarmu.



**Čtenář  
se  
ptají...**

V redakční poště se stále opakují dotazy, týkající se plošných spojů: kde sehnat desky podle návodů v AR, kde sehnat cuprexit, kdo vyrobí desky podle vlastního návrhu. Požádali jsme proto radioklub SMARAGD, který je největším výrobcem plošných spojů pro radioamatéry, o poskytnutí potřebných informací.

„Plošné spoje v našem radioklubu vyrábíme od r. 1967, kdy padl první návrh zajištít radioamatérům základní část větších konstrukcí – desku s plošnými spoji – pro všechny stavební návody v časopisech Amatérské rádio a Radiový konstruktér. Zhotovení desek u domácích podmínek je velmi pracné, předešlím u složitějších a jemnějších obrazců. Materiál není většinou k sehnání, chemikálie pro přesnéjší práci rovněž ne. To byly hlavní

příčiny nečekaně velkého zájmu o naše výrobky. Jen do konce r. 1970 jsme vyrábili téměř 100 000 nejrůznějších destiček. Používáme výhradně fotografiční metodu, základním materiélem je přežávké cuprexit.

Často dostáváme dopisy s žádostmi o zhotovení plošných spojů podle dodaného výkresu o zaslání materiálu, chemikálií, součástek. Prosíme, touto cestou všechny zájemce, aby nám usnadnili práci a podobné žádosti na nás neadresovali. S velkým výpětím celého kolektivu vyrábíme celý sortiment desek podle AR a RK (dnes asi 300 typů), nemluví o dalších desítkách typů pro organizace SVAZARMU. Desky podle vašeho výkresu nebo negativu vyrobíme dílenského družstva DIPRA, Praha 1, Melantrichova 11. Součástky si objednávejte nejlépe na této adresách: Prodejna RADIOAMATER, Praha 2, Žitná 7; Prodejna TESLA, Praha 1, Martinská 3 nebo DIAMANT, středisko radioamatérů, Praha 2, Václavské nám. 3. Kde získat cuprexit v malém množství. Sami ho sháníme, jak se dá. Nakupujeme pokud možno odstísky, které jsou levnější. Materiál pro naši potřebu zajišťujeme však jen s největším úsilím. Důvodem je nedostatečná kapacita našeho jediného výrobce (Kablo Bratislava) a vy-

soká cena (1 kg stojí asi 150 Kčs!). Občas se odřezávají sezenové partie pro dejené KLENOTY, Praha 2, Myslikova ul. za poměrně nízkou cenu. Ta-to prodejna však nemá zásilkovou službu. Souprava pro amatérskou výrobu plošných spojů byla k dostání v prodejně TESLA, Praha 1, Marninská 3.

Na závěr ještě několik informací k naší zásilkové službě. Požádované desky vám můžeme poslat na dobitku, zašleme-li objednávku (stačí korespondenční lístek) s číselným označením typu desky (podle uvedeného seznamu) na adresu Radioklub SMARAGD, pošt. schr. 116, Praha 10. Váš požadavky se snažíme vyřídit během 14 dnů. Promlíte nám, když se někdy termin u některého typu prodlouží. Nejnovější typy desek můžete rovněž koupit v prodejně URK, Praha 2, Budečská ul. V současné době je naše veškerá výroba určena pouze členům a organizacím SVAZARMU. Proto nemůžeme jiné objednávky přijímat.“



**Seznam desek s plošnými spoji, které vyrábí RK SMARAGD podle článků v AR a RK:**

A 01	Můstek RLC	AR 2/67	10,00 Kčs	C 20	Modul MMF 2	AR 5/69	4,00 Kčs
A 02	Zesilovač pro gramofon	AR 4/67	7,00 Kčs	C 21	Krystalka	AR 5/69	10,60 Kčs
A 04	Nf generátor	AR 5/67	8,00 Kčs	C 22	Zdroj	AR 5/69	29,50 Kčs
A 05	TR přijímač I	AR 5/67	5,00 Kčs	C 23	Přijímač do auta	AR 5/69	11,40 Kčs
A 06	TR přijímač II	AR 5/67	5,50 Kčs	C 24	Přijímač do auta	AR 5/69	8,00 Kčs
A 07	Saci mříč	AR 5/67	5,00 Kčs	C 25	Přijímač do auta	AR 5/69	6,60 Kčs
A 08	Přepínáč	AR 7/67	8,90 Kčs	C 26	Defektoskop	AR 5/69	7,70 Kčs
A 09	Opravářský přístroj	RK 3/67	8,00 Kčs	C 27	Synchrodyn 16	AR 5/69	4,70 Kčs
A 10	Opravářský přístroj	RK 3/67	8,00 Kčs	C 28	Synchrodyn 78	AR 5/69	15,40 Kčs
A 11	Opravářský přístroj	RK 3/67	8,00 Kčs	C 29	nevyrábí se		
A 12	Opravářský přístroj	RK 3/67	8,00 Kčs	C 30	Stmívač s tyristorem	AR 6/69	9,50 Kčs
A 13	Opravářský přístroj	RK 3/67	8,00 Kčs	C 31	Třípolový přijímač pro modely	AR 6/69	13,00 Kčs
A 14	Nf zesilovač 1 W	AR 5/67	11,70 Kčs	C 32	Modul MNF 4	AR 6/69	4,00 Kčs
A 15	Emitorový sledovač	AR 5/67	4,30 Kčs	C 33	Modul MPK 1	AR 6/69	5,00 Kčs
A 16	Tranzistorový voltmetr	AR 8/67	8,80 Kčs	C 34	Ridicí část zdroje	RK 3/69	22,50 Kčs
A 17	Sledovač signálu	AR 9/67	7,00 Kčs	C 35	Tyristorová pojistka	RK 3/69	2,60 Kčs
A 18	Sonda	AR 9/67	6,00 Kčs	C 36	Měřicí kapacit	RK 3/69	16,80 Kčs
A 19	Vf generátor	AR 10/67	9,00 Kčs	C 37	Měřicí odpór	RK 3/69	8,70 Kčs
B 01	Hlasitý telefon	AR 1/68	8,00 Kčs	C 38	Zdroj	RK 3/69	17,00 Kčs
B 02	Vysílač 145 MHz (sada)	AR 1/68	42,00 Kčs	C 39	Nf zesilovač	RK 3/69	17,70 Kčs
B 03	Tranzistorový automatický klíč	AR 3/68	12,00 Kčs	C 40	Předzesilovač	RK 3/69	18,40 Kčs
B 04	Televize na sluchátka	AR 2/68	5,50 Kčs	C 41	Osciloskop	AR 7/69	33,00 Kčs
B 05	Elektronkový nf zesilovač	AR 2/68	29,00 Kčs	C 42	Vysílač pro modely	AR 7/69	12,00 Kčs
B 06	Regulátor napětí dynamu	AR 3/68	18,00 Kčs	C 43	Zesilovač pro stereofonní sluchátka	AR 7/69	8,70 Kčs
B 07	Regulátor napětí dynama	AR 3/68	18,00 Kčs	C 44	Měnič	AR 7/69	6,00 Kčs
B 08	Přijímač SV	RK 1/68	29,00 Kčs	C 45	Univerzální modul	AR 8/69	2,00 Kčs
B 09	Přijímač VKV	RK 1/68	29,00 Kčs	C 46	Univerzální modul	AR 8/69	2,00 Kčs
B 10	Ladici dil VKV	RK 1/68	8,50 Kčs	C 47	Měřicí přístroj (D 1)	RK 2/69	20,60 Kčs
B 11	Mf zesilovač	RK 1/68	16,00 Kčs	C 48	Měřicí přístroj (D 2)		23,50 Kčs
B 12	Vysílač 27 MHz	AR 4/68	6,00 Kčs	C 49	Měřicí přístroj (D 2a)		7,30 Kčs
B 13	Vysílač 1,8 MHz	AR 5/68	16,00 Kčs	C 50	Měřicí přístroj (D 3)		20,60 Kčs
B 14	Měřicí tranzistorů	AR 4/68	21,00 Kčs	C 51	Měřicí přístroj (D 4)		20,60 Kčs
B 15	Konvertor na lišku	AR 4/68	18,00 Kčs	C 52	Měřicí přístroj (D 5)		21,80 Kčs
B 16	Povelový přijímač	AR 5/68	11,00 Kčs	C 53	Měřicí přístroj (D 5a)		6,50 Kčs
B 17	Klopový obvod k B 16	AR 5/68	5,00 Kčs	C 54	Měřicí přístroj (D 6)		20,60 Kčs
B 18	Stereofonní dekódér Tesla	AR 5/68	13,00 Kčs	C 55	Měřicí přístroj (D 7)		4,50 Kčs
B 19	Zesilovač voltmetu	AR 5/68	12,00 Kčs	C 56	Měřicí přístroj (D 8)		17,80 Kčs
B 21	Přijímač s integrovanými obvody	AR 7/68	25,50 Kčs	C 57	Měřicí přístroj (D 9)		10,20 Kčs
B 22	Zdroj k vysílači 1,8 MHz	AR 7/68	17,00 Kčs	C 58	Měřicí přístroj (D 10)		14,10 Kčs
B 23	Stereofonní zesilovač na sluchátka	AR 8/68	19,00 Kčs	C 59	Měřicí přístroj (D 11)		9,40 Kčs
B 24	Povelový přijímač RC-1	Modelář 4/68	6,00 Kčs	C 61	Přijímač pro VKV	AR 8/69	13,50 Kčs
B 25	Univerzální fotorelé	AR 7/68	5,50 Kčs	C 62	Přijímač pro VKV	AR 8/69	13,50 Kčs
B 26	Směšovací pult	AR 7/68	27,00 Kčs	C 63	Přijímač pro VKV	AR 8/69	11,70 Kčs
B 27	SSB budík	AR 8/68	26,50 Kčs	C 64	Siréna I	AR 8/69	10,00 Kčs
B 28	Casové relé	AR 9/68	8,50 Kčs	C 65	Siréna II	AR 8/69	8,90 Kčs
B 29	Tuner VKV	AR 9/68	21,50 Kčs	C 66	Tranzistorový nf zesilovač	AR 8/69	16,60 Kčs
B 30	Elektronické zapalování	AR 9/68	17,00 Kčs	C 67	Modul MSR 1	AR 9/69	3,00 Kčs
B 31	Tónový generátor	AR 9/68	26,00 Kčs	C 68	Modul MNF 5	AR 9/69	5,00 Kčs
B 32	Stejnosměrný milivoltmetr	AR 10/68	16,00 Kčs	C 69	Nf zesilovač	AR 9/69	4,60 Kčs
B 33	Nf milivoltmetr	RK 5/68	12,20 Kčs	C 70	Přijímač na lišku	AR 9/69	15,25 Kčs
B 34	Nf milivoltmetr	RK 5/68	12,20 Kčs	C 71	Přijímač na lišku	AR 9/69	11,00 Kčs
B 35	Univerzální voltmetr s FET	RK 5/68	11,20 Kčs	C 72	Tranzistorový hudební nástroj	AR 9/69	28,50 Kčs
B 36	Minipřijímač	AR 10/68	8,00 Kčs	C 73		AR 9/69	5,70 Kčs
B 37	Příslušenství k B 36	AR 10/68	5,00 Kčs	C 74	Booster ke kytaře	AR 9/69	11,60 Kčs
B 38	Zdroj k FETmetru	AR 11/68	17,00 Kčs	C 75	Zesilovač IWA 02	AR 10/69	8,60 Kčs
B 39	Domácí telefon	AR 11/68	5,50 Kčs	C 76	Kvádkilo pro kytaře	AR 10/69	15,70 Kčs
B 40	FETmetr	AR 11/68	13,00 Kčs	C 77	Booster ke kytaře	AR 10/69	7,25 Kčs
B 41	Tuner VKV	AR 11/68	8,00 Kčs	C 78	Deska baterií IWA 02	AR 10/69	7,25 Kčs
B 42	Přijímač	AR 12/68	6,00 Kčs	C 79	Sledovač signálu	AR 10/69	12,00 Kčs
B 43	Booster pro kytařu	AR 12/68	9,00 Kčs	C 80	Sonda	AR 11/69	7,50 Kčs
B 44	Stabilizátor napětí	AR 12/68	16,50 Kčs	C 81		AR 11/69	3,60 Kčs
B 45	Měřicí tranzistor FET	AR 12/68	10,50 Kčs	C 82	Tranzistorové zapalování I	AR 11/69	13,50 Kčs
B 46	Měřicí tranzistor FET	AR 12/68	22,00 Kčs	C 83	Tranzistorové zapalování II	AR 11/69	13,50 Kčs
B 47	Měřicí tranzistor FET	AR 12/68	22,00 Kčs	C 84	Konvertor 145 MHz	AR 11/69	26,00 Kčs
C 01	Povelový přijímač	AR 1/69	9,30 Kčs	C 85	Modul MSM 2	AR 10/69	6,20 Kčs
C 02	Časové zařízení	AR 1/69	10,50 Kčs	C 86	Modul MDP 1	AR 10/69	2,00 Kčs
C 03	Časové zařízení	AR 1/69	20,30 Kčs	C 87		AR 12/69	24,50 Kčs
C 04	Předzesilovač	AR 1/69	7,00 Kčs	C 88	Osciloskop	AR 12/69	24,50 Kčs
C 05	Modul MNF 1	AR 1/69	2,00 Kčs	C 89		AR 12/69	12,00 Kčs
C 06	Povelový vysílač	AR 1/69	14,00 Kčs	C 90	Konvertor pro IV. a V. pásmo	AR 12/69	12,00 Kčs
C 07	Modul MNF 2	AR 2/69	2,00 Kčs	D 01	Měřicí přístroj	AR 8/69	13,50 Kčs
C 08	Modul MNF 3	AR 2/69	2,00 Kčs	D 02	Ovládání stěračů	AR 1/70	21,50 Kčs
C 09	Booster 1	AR 2/69	9,50 Kčs	D 03	Ovládání stěračů	AR 1/70	9,50 Kčs
C 10	Booster II	AR 2/69	9,50 Kčs	D 04	Budič SSB AXE 45-2	AR 1/70	19,00 Kčs
C 11	Konvertor pro FM	AR 2/69	14,00 Kčs	D 05	Zařízení pro tichý poslech	AR 2/70	9,70 Kčs
C 12	Modul MAU 1	AR 3/69	2,00 Kčs	D 06	Synchronizace fotoblesků	AR 2/70	5,00 Kčs
C 13	Modul MRF 1	AR 3/69	2,00 Kčs	D 07	Synchronizace fotoblesků	AR 2/70	5,00 Kčs
C 14	Modul MNG 1	AR 4/69	2,00 Kčs	D 08	Zdroj s pojistkou	AR 2/70	22,80 Kčs
C 15	Regulátor rychlosti stěračů	AR 4/69	12,00 Kčs	D 09	Přijímač AM-FM	AR 2/70	8,50 Kčs
C 16	Modul MDT 1	AR 4/69	2,00 Kčs	D 10	Přijímač AM-FM	AR 2/70	10,60 Kčs
C 17	Modul MZD 1	AR 4/69	2,00 Kčs	D 11	Přijímač AM-FM	AR 2/70	18,00 Kčs
C 18	Modul MMF 1	AR 5/69	3,00 Kčs	D 12	Kombinovaný zesilovač	AR 2/70	8,50 Kčs
C 19	Modul MPF 1	AR 5/69	2,00 Kčs				

D 13	Detectní obvod (KV přijímač)	RK 1/70	5,90 Kčs	D 67	Stabilizovaný zdroj	AR 10/70	21,80 Kčs
D 14		RK 1/70	5,90 Kčs	D 68	Maticový dekódér	AR 10/70	14,60 Kčs
D 15		RK 1/70	7,80 Kčs	D 69	Mf zesilovač přijímače	RK 5/70	18,60 Kčs
D 16		RK 1/70	14,40 Kčs	D 70	Nf zesilovač přijímače	RK 5/70	17,40 Kčs
D 17	Přijímač KV	RK 1/70	10,90 Kčs	D 71	Koncový nf zesilovač přijímače	RK 5/70	15,40 Kčs
D 18		RK 1/70	17,30 Kčs	D 72	Vstupní obvody přijímače	RK 5/70	19,10 Kčs
D 19		RK 1/70	6,60 Kčs	D 73	Sonda do baterie	AR 11/70	3,00 Kčs
D 20	Automatické zalévání květin	AR 3/70	15,80 Kčs	D 74	Generátor signálů	AR 11/70	13,50 Kčs
D 21	Antennní zesilovač	AR 3/70	6,40 Kčs	D 75	Generátor signálů	AR 11/70	11,00 Kčs
D 22	Stabilizovaný zdroj	AR 3/70	15,25 Kčs	D 76	Generátor signálů	AR 11/70	15,50 Kčs
D 23	Zvonek s inf. tabulkou	AR 5/70	6,50 Kčs	D 77	Termostat	AR 11/70	22,20 Kčs
D 24	Voltampérmetr	AR 5/70	12,00 Kčs	D 78	Casový spinač	AR 11/70	17,60 Kčs
D 25	Voltampérmetr	AR 5/70	12,00 Kčs	D 79	Napájecí díl pro D 78	AR 11/70	10,90 Kčs
D 26	Citlivý přijímač	AR 5/70	12,50 Kčs	D 80	Předzesilovač pro magnetickou přenosku	AR 11/70	16,60 Kčs
D 27	Citlivý přijímač	AR 5/70	6,00 Kčs	D 81	Stabilizátor	AR 12/70	5,90 Kčs
D 28	Vicepočetový přijímač	AR 5/70	14,00 Kčs	D 82	Zesilovač	AR 12/70	16,80 Kčs
D 29	Konvertor pro IV. TV pásmo	AR 5/70	12,00 Kčs	D 83	Tranzistorový měnič MTM 1	AR 12/70	10,90 Kčs
D 30	Přijímač 145 MHz	AR 6/70	39,00 Kčs	D 84	Modul MDU 1	AR 11/70	3,00 Kčs
D 31	Modul MKO 1	AR 6/70	4,00 Kčs	D 85	Modul MRN 1	AR 11/70	3,00 Kčs
D 32	Modul MTO 1	AR 6/70	5,00 Kčs	D 86	Modul MZN 1	AR 11/70	2,00 Kčs
D 33	Modul MRB 1	AR 6/70	3,00 Kčs	D 87	Modul MSZ 2	AR 10/70	2,00 Kčs
D 34		AR 6/70	15,50 Kčs	E 01	Zesilovač G4W	AR 1/71	42,00 Kčs
D 35		AR 6/70	19,40 Kčs	E 02	Palivovér	AR 1/71	8,00 Kčs
D 36	Stabilizovaný zdroj	AR 6/70	9,60 Kčs	E 03	Zesilovač s barevnou hudebou	AR 2/71	17,50 Kčs
D 37		AR 6/70	6,10 Kčs	E 04	Zesilovač s barevnou hudebou	AR 2/71	8,70 Kčs
D 38		AR 6/70	6,10 Kčs	E 05	Zdroj ke konvertoru	AR 2/71	5,60 Kčs
D 39		AR 6/70	7,00 Kčs	E 06	Sluchadlo s IO	AR 2/71	5,60 Kčs
D 40	Otáčkoměr	AR 6/70	16,00 Kčs	E 07	Otáčkoměr	AR 2/71	8,70 Kčs
D 41	Laděný nf zesilovač	AR 6/70	18,50 Kčs	E 08	Generátor signálů	RK 1/71	14,20 Kčs
D 42	Superhet 27,12 MHz	RK 3/70	9,00 Kčs	E 09	Elektronický přepínač	RK 1/71	17,80 Kčs
D 43	Superhet 40,68 MHz	RK 3/70	9,00 Kčs	E 10	Symetrická smyčka	AR 3/71	3,20 Kčs
D 44	Selektivní obvody	RK 3/70	9,00 Kčs	E 11	Tranzistorový zvonek	AR 3/71	5,10 Kčs
D 45	Vysílač 27,12 MHz	RK 3/70	18,70 Kčs	E 12	Seřízení předstihu	AR 3/71	6,— Kčs
D 46	Vysílač 40,68 MHz	RK 3/70	18,70 Kčs	E 13	Přijímač v ořezávátku	AR 4/71	3,20 Kčs
D 47	Vysílač 27,12 MHz	RK 3/70	18,70 Kčs	E 14			5,80 Kčs
D 48	Modulátor	RK 3/70	9,00 Kčs	E 15			5,80 Kčs
D 49	Modulátor	RK 3/70	18,70 Kčs	E 16			8,60 Kčs
D 50	Měřicí hladiny paliva	RK 7/70	5,20 Kčs	E 17	Dálkové ovládání	AR 4/71	8,60 Kčs
D 51	Tranzistorový superhet		20,00 Kčs	E 18			9,40 Kčs
D 52	Nf zesilovač 0,1 W		9,50 Kčs	E 19			9,40 Kčs
D 53	Nf zesilovač 2,5 W		11,50 Kčs	E 20	Blesk - sada	AR 4/71	105,40 Kčs
D 54	Modul MKO 2	AR 8/70	3,00 Kčs	E 21	Stroboskop	AR 4/71	11,20 Kčs
D 55	Tranzistorový rozmitač	AR 8/70	8,40 Kčs	E 22	Vstupní jednotka VKV	AR 4/71	12,40 Kčs
D 56	Tranzistorový rozmitač	AR 8/70	8,40 Kčs	E 23	Indikátor úrovně nf - I	AR 4/71	4,90 Kčs
D 57	Tranzistorový rozmitač	AR 8/70	10,00 Kčs	E 24	Indikátor úrovně nf - II	AR 4/71	5,80 Kčs
D 58	Ovládání stěrače	AR 8/70	6,60 Kčs	E 25	Frénušovák	RK 2/71	4,— Kčs
D 59	Kybernetický pes	AR 8/70	7,70 Kčs	E 26	Usměrňovač	RK 2/71	5,60 Kčs
D 60	Předzesilovač	RK 4/70	26,20 Kčs	E 27	Výkonné stupen	RK 2/71	8,80 Kčs
D 61	Koncový zesilovač	RK 4/70	28,50 Kčs	E 28	Předzesilovač	RK 2/71	4,90 Kčs
D 62	Zdroj pro zesilovač	RK 4/70	13,30 Kčs	E 29	Hlasitý telefon	RK 2/71	7,90 Kčs
D 63	Předzesilovač	AR 9/70	4,70 Kčs	E 30	Osciloskop - zdroj	AR 5/71	21,80 Kčs
D 64	TV předzesilovač	AR 9/70	9,50 Kčs	E 31	Osciloskop - hor. zesilovač	AR 5/71	22,60 Kčs
D 65	Regulátor s tyristorem	AR 9/70	15,70 Kčs	E 32	Osciloskop - vert. zesilovač	AR 5/71	22,60 Kčs
D 66	Regulátor s relé	AR 9/70	18,60 Kčs	E 33	Jednoduchý přijímač	AR 5/71	7,90 Kčs
				E 34	Kondenzátorové zapalování	AR 5/71	9,40 Kčs

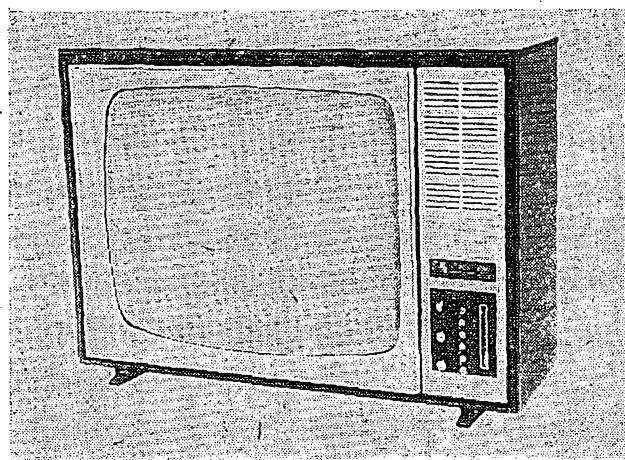
## ČTVRTMILIONÝ ZÁKAZNÍK MULTISERVISU TESLA

V minulém čísle jsme seznámili čteče nárečí s prací Multiservisu Tesla. Dnes se k této službě vracíme proto, že Multiservis měl několik důvodů k malé oslavě. Seznámil s nimi novináře na slavnostní tiskové konferenci 11. 3. 71 ředitel Obchodního podniku Tesla Miloslav Ševčík. Prvním důvodem bylo čtvrté výročí práce Multiservisu. Druhým důvodem bylo dosažení čtvrt milionu zákazníků Multiservisu Tesla. Jubilejným zákazníkem je Václav Vršítký, zaměstnanec

Státního rybářství Třeboň z Hluboké nad Vltavou. Smlouvu uzavřel v Elektroservisu v Českých Budějovicích, který je smluvním partnerem Multiservisu. Ke svému práti mít doma stále moderní televizor s výhodou bezplatného a rychlého servisu může připojit dárek Tesly, že záplující poplatky nebude platit, a další dárek Elektroservisu České Budějovice, který V. Vršítkemu zdarma namontuje antény na všechny kanály, které může v místě přijímat. A tak ani

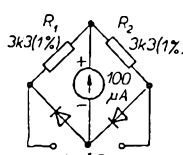
samočinný počítač, sledující v Multiservisu platby a veškerou evidenci, nebude mít s V. Vršítkým žádnou práci...

Na obrázku vpravo přijímá čtvrtmilioný zákazník Multiservisu Tesla Václav Vršítký gratulaci od ředitele Obchodního podniku Tesla Miloslava Ševčíka. Vlevo je moderní přijímač Tesla Orava 239 s předladitelným tunerem (podle licence Philips), fotovený v koprodukci PLR, ČSSR a Jugoslávie. Tento přijímač patří k nejmodernějším, které Multiservis pronajímá.



## Pomôcka na párovanie diód

Na obr. 1 je schéma zapojenia prípravku na párovanie diód, napr. do polomerových detektorov. U týchto diód nastačí len zhoda v odporoch v prieplustnom a závernom smere, ale je nutné, aby rozdiely v dynamických charakteristikách boli čo najmenšie. Presné odpory  $R_1$  a  $R_2$  tvoria spolu s diódami mostik. Keď budú diódy zhodné, nepoteče meradlom žiadny prúd, pretože mostik je vyvážený. Rozdiel medzi diódami sa prejaví prietokom prúdu meradlom. Z väčšieho počtu kusov vyberieme taký páár, pri ktorom bude meradlo ukazovať minimálny prúd i pri zmene napätia zo signálneho generátora v rozsahu 0 až 3 V.



Obr. 1.



Obr. 2.

Štvoricu diód, napr. do kruhových modulátorov, vyberieme podľa obr. 2 tým istým spôsobom. Táto práca vyžaduje značnú trpezlivosť pri výbere diód z väčšieho počtu kusov.

Marian Andris

## Poznámka k prijímaču VKV s nízkym mfm kmitočtom

Podľa AR 8/69 postavil som si VKV prijímač. Prijímač pracoval na prvé zapnutie. K správnej činnosti však potreboval dobrú anténu aj napriek tomu, že vysielač je dosť blízko.

Pri meraní kmitočtu oscilátora vo výdiele som zistil, že oscilátor kmitá pri rozlaďovaní od 44 MHz do 48 MHz. Tak sa stalo, že zmiešavanie sa diaľo treťou harmonickou oscilátora ( $3 \times 47$ ) a druhou harmonickou prijímaného kmitočtu ( $2 \times 70$ ).

Oscilátor kmital v tomto rozmedzí s kondenzátorom  $10 \text{ pF}$  a cievkou vyleptanou na doštičke SMARAGD C61. Varikap bol typu KA201. Aj ďalšie súčiastky použité v obvode oscilátora boli podľa návodu autora.

Pre nastavenie kmitočtu oscilátora do správneho rozsahu (32,5 MHz až 36,5 MHz) som musel použiť kondenzátor (označený hviezdičkou) o kapacite až  $55 \text{ pF}$  a nie ako uvádzá autor 5 až  $10 \text{ pF}$ . Po tejto úprave prijímač nepotrebuje pre dobrú reprodukciu žiadnu anténu (v mieste mojho bydliska).

V každom prípade je preto potrebné zmerať kmitočet oscilátora a nastaviť ho do správneho rozsahu kondenzátorom (označeným hviezdičkou), ktorý môže dosiahnuť aj kapacity  $55 \text{ pF}$ .

J. Čajka

## Úprava „Kybernetického psa“

Pri stavbe „Kybernetického psa“ (AR 8/70) jsem se pokusil priblížiť dojmu skutečného štěkání krátkodobým pírušováním signálu.

Úprava spočívá v rozšírení pôvodného obvodu se dvoma multivibrátormi o tretí astabilní nesymetrický multivibrator, ktorý spustí pôvodné multivibrátory asi na 1 s s mezerou asi 3 s. Současťky (včetně tranzistoru) nejsou opět kritické. Ozivení, ktere spočívá jen ve výberu vhodného poměru a velikosti kapacit  $C_1$  až  $C_6$ , provádime postupně od tranzistoru  $T_7$ .

Ve vzorku jsem místo telefonního sluchátka použil miniaturní reproduktor  $25 \Omega$ .

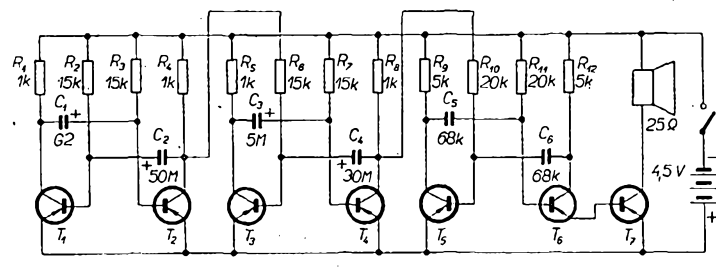
Boh. Kučera

## Zpříjemnění poslechu

Většina amatérů používá sluchátka Tesla o odporu 4 000  $\Omega$ , protože jsou velmi citlivá a spolehlivá.

Jejich nevýhodou však je, že při delším použití tlačí. Proto jsem hledal cestu, jak jejich používání zpříjemnit. Nejprve jsem zkoušel přizové mušle ze starých sovětských sluchátek, ty však nevýhovovaly. Pokusil jsem se tedy nasadit na moje sluchátka molitanové mušle Tesla AYP200; stačilo je trochu přihnut a sluchátka na uších ani necítím. Mušle sice stojí 39 Kčs, ale těchto peněz jsem nikdy nelitoval. Doporučují tento „zlepšovák“ všem, kdo často používají sluchátka Tesla a rádi by si poslech zpříjemnili.

František Novotný

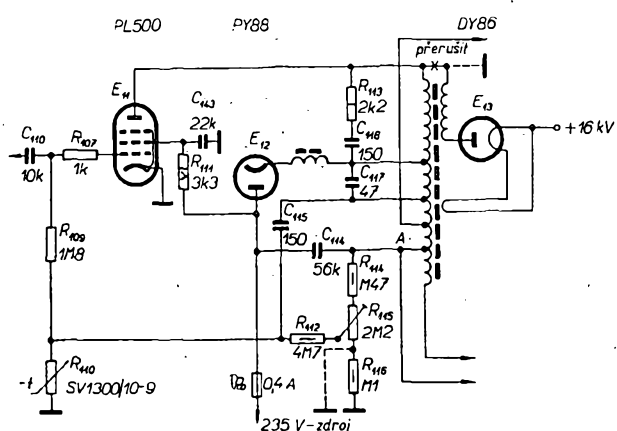


## Náhrada vnívky u televizoru Favorit partiiovým typem

Po troch letech provozu došlo u televizoru Favorit de Luxe ke zkratu ve vysokonapäťové cívce. Abych provizorně rozjasnil obrazovku, vyradil jsem odpór ve žhavení diody DY86, takže obrazovka jasila při zvětšeném katodovém proudu i přes zmenšené vn. Změnou zatížení vn transformátoru se však změnil i pracovní bod elektronky PL500, která se značně zahřívala. Tim docházelo i k deformaci (zužení) obrazu při delším provozu. Po roce provozu došlo k úplnému přerušení vinutí vn cívky. Protože univerzální vn cívky, které je možné občas koupit např. v prodejně Diamant, jsem marně sháněl též dva měsíce, koupil jsem partiový vn transformátor 4PN35001 za 30,- Kčs v Myslikově ulici a sejmula jsem z něho vn cívku. Původní vn transformátor jsem rozebral a poškozenou cívku jsem odvinul. Pak jsem odvinul takové množství izolační fólie, aby šla nová cívka na tuto fólii těsně nasunout.

Po opětovném složení transformátoru jsem jej vestavěl zpět do televizoru. Vysoké napětí však bylo příliš velké; proto jsem připojil „studeny“ konec vnívky na kostru (na obrázku čárkované), čímž jsem dosáhl zmenšení vn na předepsaných 16 kV. Došlo však ke změně pracovního bodu koncového stupně rádkového zesilovače. Po nažhavení naskočil normální obraz, za chvíli se však začal protahovat do stran. Nakonec se kruh monoskopu roztahl přes celou šířku obrazovky, elektronky PL500 a PY88 se velmi zahřívaly a u účinnostní diody PY88 se objevily výboje v baňce. Účinnostní napětí (bod A proti zemi, voltmetr  $10 \text{ k}\Omega/1 \text{ V}$ ) bylo 800 V. Protože trimr  $R_{115}$  byl nastaven na doraz, vyměnil jsem odpór  $R_{112}$  1 M $\Omega$  za  $4,7 \text{ M}\Omega/0,5 \text{ W}$  a zkratoval na zem  $R_{118}$  (na obrázku čárkované). Pak jsem nastavil trimrem  $R_{115}$  účinnostní napětí na  $740 \pm 10 \text{ V}$ . Tim byla oprava skončena. Televizor funguje již několik měsíců bez jediné závady.

Vojtěch Hanzal, OKIDOW



## Barevná televize v MLR

Již v minulém roce byly v MLR vyrobeny první televizní přijímače pro barevný příjem. Mohou si je – sice ještě za vysoké ceny – koupit především zájemci v hlavním městě Budapešti, kde barevná televize nepravidelně vysílá ve zkušebním provozu. S větší výrobou barevných přijímačů se počítá v letošním roce. Proto v zájmu urychleného vývoje a výroby všech potřebných přístrojů uzavřely maďarské elektronické podniky smlouvu o spolupráci se sovětským elektronickým podnikem Světlana v Leningradě.

Nová série barevných televizorů, které má vyrábět podnik Videoton v Székesfehérváru, má mít obrazovku s úhlopříčkou 56 cm zahraniční výroby. Budou pro dvě normy, takže mají spolehlivě přijímat pořady v systému SECAM i PAL.

V proudu jsou také přípravy k výbudovali televizní síť pro barevné vysílání. První vysílač s výkonem 10 kW pro pokusné vysílání postavil maďarský podnik pro elektromechaniku na budapešťském pašorku Szabadság. Nedaleko Ujjudvaru se začala stavět nejvyšší televizní věž v MLR. Bude 170 m vysoká a má stát 90 až 100 miliónů forintů. Zatím bude sloužit pro vysílání černobílé, později i barevné televize. Stavba bude dokončena koncem letošního roku.

V roce 1970 dosáhla výroba televizních přijímačů v MLR velkého úspěchu. V posledních pěti letech vyzvězlo Maďarsko do mnoha kapitalistických i socialistických zemí milión přijímačů prostřednictvím podniku zahraničního obchodu Elektroimpex. Stálé dodávky přijímačů putují do Švédská, Finska, Holandska, Švýcarska a Iráku, což svědčí o dobré kvalitě vyráběných televizorů.

*Podle Hungaropresse 1/23 a SH 123*

## Rozvoj spotřební elektroniky

Rozvoj spotřební elektroniky je stále prudší; dokazují to např. některá čísla, uveřejněná v časopise Funktechnik, č. 13/1970. Tak např. firma Grundig zaměstnává jen při výrobě a vývoji magnetofonů a diktafonů v jediném závodě přes 2 500 zaměstnanců. Koncern AEG-Telefunken staví nové závody v zahraničí, nejnověji v Mexiku. Továrna v Mexiko-City (v nadmořské výšce kolem 2 400 m) se staví na celkové ploše 35 000 m<sup>2</sup>. Jiná firma, Siemens, staví továrnu v Portugalsku, asi 150 km východně od Lisabonu. Během pěti let má být v této továrně zaměstnáno 2 000 lidí.

— Mi —

## Země vysílá radiové signály

V červnu 1968 vyslaný umělý satelit Země „Explorer 38“, který je vybaven anténou 500 m dlouhou, dokázal nedávno z výšky 5 850 km, v níž se pohybuje kolem Země, že naše planeta je zdrojem radiových vln o kmitočtu 10 MHz. Radiové signály jsou velmi podobné signálu, které vysílá planeta Jupiter. Předpokládá se, že signály Země vznikají vlivem podobných procesů, jaké se vyskytují v atmosféře a magnetosféře Jupitera. Satelit dále dokázal, že dlouhovlnné záření Slunce je silnější, než se dosud předpokládalo.

SZ

# Součástky na našem trhu

## Výstupní a budicí transformátory

Výstupní transformátory řady VT36 až 39 pro tranzistorová zapojení jsou

navinuty na jádře EI 10 × 10 a staženy třmínkem. Vývody jsou vyvedeny na destičku s pájecími očky.

Budicí transformátory pro dvojčinné koncové stupně s tranzistory mají rozmetry a jádro shodné s VT36 až 39.

Budicí transformátor 2AN66607 z přijímače Perla (vhodný pro koncový stupeň s 2 × 102NU71) je navinut na jádře EE 7 × 7 a stažen třmínkem, na němž jsou navařena dvě chladicí křídélka pro koncové tranzistory. Cena 10,— Kčs.

Typ	Primář		Sekundář		Cena
	Impedance [Ω]	Vinutí	Impedance [Ω]	Vinutí	
VT36	300	525 z, Ø 0,19 mm (17 Ω)	10	100 z, Ø 0,4 mm (1 Ω)	20,—
VT37	300	525 z, Ø 0,19 mm (17 Ω)	4	64 z, Ø 0,5 mm (0,4 Ω)	20,—
VT38	převod 6,4 + 6,4 : 1	2 × 410 z, Ø 0,19 mm (2 × 15 Ω)	4	64 z, Ø 0,5 mm (0,44 Ω)	24,—
VT39	2,2 + 2,2 : 1	2 × 142 z, Ø 0,3 mm (2 × 1,9 Ω)	4	64 z, Ø 0,5 mm (0,44 Ω)	20,—
BT38	3 : (1 + 1)	3 000 z, Ø 0,08 mm (500 Ω)	2 × 1 000 z, Ø 0,08 mm (2 × 210 Ω)		24,—
BT39	1,6 : (1 + 1)	1 600 z, Ø 0,08 mm (260 Ω)	2 × 1 000 z, Ø 0,125 mm (2 × 95 Ω)		26,—

## Síťové transformátory a tlumivky

Typ	Vstupní napětí	Výstupní napětí	Pojistka	Cena
9WN66302	120/220/240 V 50 Hz	6,3 V/4,25 A 2 × 245 V/80 mA	0,5 A/220—240 V 1 A/120 V	120,—
9WN66303	120/220/240 V 50 Hz	6,3 V/4,75 A 2 × 245 V/100 mA	0,6 A/220—240 V 1,6 A/120 V	145,—
PN66134	110/125/150/200/220/ 245 V 50 Hz	4—6,3 V/4 A 4 V/1,1 A 2 × 300 V/100 mA	tepelná	145,—
9WN66304	120/220/240 V 50 Hz	6,3 V/5,3 A 2 × 250 V/125 mA	0,3 A/220—240 V 1,6 A/120 V	190,—
9WN66305	120/220/240 V 50 Hz	6,3 V/6,3 A 2 × 225 V/150 mA	1,6 A/220—240 V 2 A/120 V	210,—
PN66136	110/125/150/200/220/ 240 V 50 Hz	4—6,3 V/2 A 4—6,3 V/5 A 2 × 350—400 V/200 mA	tepelná	210,—
ST63	120/220 V 50 Hz	6,3 V/2 A	0,3 A/220 V 0,6 A/120 V	67,—
ST64	120/220 V 50 Hz	6,3 V/0,6 A 250 V/30 mA	0,3 A/220 V 0,6 A/120 V	73,—

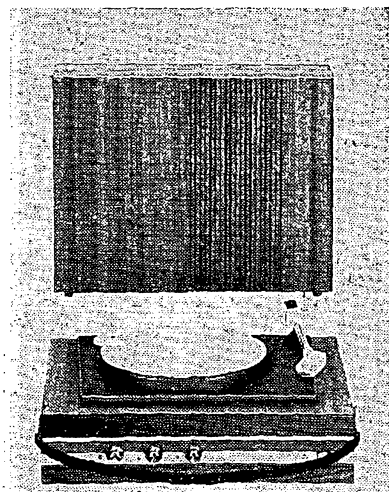
Typ	Indukčnost/cínný odpor	Vinutí a Ø drátu	Proud [mA]	Jádro	Cena
PN650 03, 6	5 H/430 Ω	3 000 z Ø 0,112 mm	50	EI 12 × 16	15,—
PN650 01, 6	8 H/290 Ω	3 900 z Ø 0,18 mm	65	EI 20 × 16	25,—
PN650 02, 6	9 H/160 Ω	3 100 z Ø 0,25 mm	100	EI 25 × 25	57,—
PN650 00, 6	5,2 H/93 Ω	2 520 z Ø 0,28 mm	150	EI 25 × 20	49,—

## GRAMOFONY Z TESLY LITOVEL

Lze říci, že s rozvojem magnetofonové techniky hledala gramofonová deska „své místo na slunci“ – našli se dokonce i proroci, kteří předpovídali gramofonové technice ty nejčernější perspektivy. Během doby se však ukázalo, že gramofonová deska má své místo mezi zdroji reprodukované hudby – a v současné době se navíc pracuje na zdokonalení záznamu obrazu na gramofonovou desku. Zájem o desky stále stoupá, důkazem toho jsou přehledy o počtu vylosovaných desek a titulů, který rok od roku roste.

Také čs. výrobci se snaží uspokojit zvětšující se zájem o kvalitní hudbu reprodukovanou moderními přístroji, ať již standardními nebo těmi, které se označují zkratkou Hi-Fi. Prakticky jediným naším výrobcem gramofonových přístrojů a jejich příslušenství je dnes Tesla Litovel, jejíž výrobky pod značkou Supraphon jsou známé přinejmenším v celé Evropě.

Prakticky všechny gramofony Supraphon jsou opatřeny stereofonními přenoskami s piezoelektrickými vložkami se safirovým hrotom, takže umožňují přehrát jak stereofonní, tak i monofonní gramofonové desky. V dnešním přehledu gramofonových přístrojů



Obr. 1. Kufřík se zesilovačem GZ110.1

Supraphon si jistě každý najde přístroj, který vyhoví jeho nárokům a „kapse“.

Pro snazší orientaci a určení použitelnosti uvádíme předeším význam písmenových symbolů, z nichž se skládá označení typu přístroje:

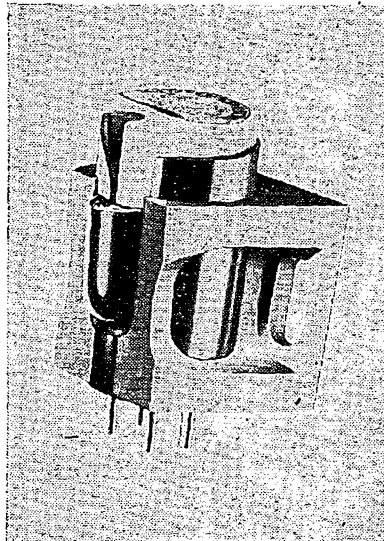
H	samostatné gramofonové šasi, monofonní, určené k vestavbě
HC	totež ve stereofonní verzi
N	monofonní gramofonové šasi na „soklu“ (polokufřík)
NC	totež ve stereofonní verzi
GK	monofonní gramofonové šasi v kufříku bez zesilovače
GC	totež ve stereofonní verzi
NZ	gramofonové šasi mono nebo stereo na „soklu“ s vestavěným monofonním zesilovačem
GZ	gramofonové šasi monofonní nebo stereofonní v kufříku s monofonním zesilovačem
GZC	stereofonní gramofonové šasi v kufříku s vestavěným stereofonním zesilovačem
NZC	gramofonové stereofonní šasi na „soklu“ s vestavěným stereofonním zesilovačem.

Kromě běžných komerčních gramofonových přístrojů vyrábí Tesla Litovel i prvky domácího stereofonního zařízení Hi-Fi, a to gramofon NC410, zesilovač ZC20 a třípásmové reproduktarové soustavy RK60. O těchto výrobcech jsme naše čtenáře již informovali v minulém roce.

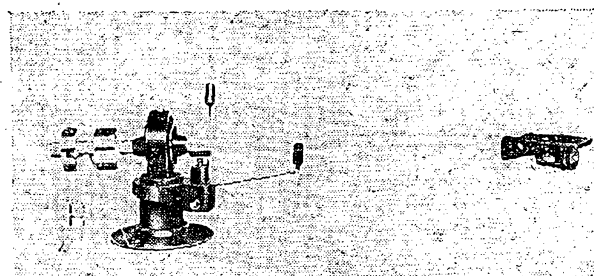
Pozornost zaslouží i přenoskové raménko P1101, které je určeno k vestavbě (obr. 2). Raménko má nastavitelnou sílu na hrot v rozmezí 0,5 až 2 p, jeho celková váha je 240 g a cena

950 Kčs. V roce 1971 má být uvedena na trh i první tuzemská magnetodynamická vložka VM2101 (obr. 3). Vložka má standardní půlpalcové uchytení a lze ji tedy montovat do většiny ramének předních světových výrobců (a samozřejmě i do raménka P 1101). Přesné údaje vložky uveřejníme po jejím uvedení na trh. Předběžně lze uvést, že by její vlastnosti měly odpovídat vlastnostem vložky Shure M44-7.

-ou



Obr. 3. Nová magnetodynamická vložka z Tesly Litovel



Obr. 2. Přenoskové raménko P1101

### Přehled čs. gramofonových přístrojů

Označení	HC 10	GC 100	HC 09	NC 090	HC 11	NC 410
Maloobchodní cena	410,-	690,-	470,-	750,-	410,-	2 400,-
Provedení	šasi	kufřík	šasi	sokl	šasi	sokl
Druh	stereo	stereo	stereo	stereo	stereo	stereo
Napájení	220 V, 16 VA		220 V, 16 VA		220 V, 16 VA	220 V, 25 VA
Použité šasi	—	HC 10	—	HC 09	—	HC 41
Rychlosť [ot/min]	16, 35, 45		16, 33, 45		16, 33, 45, 78	16, 33, 45
Kolísání [%]	až 0,3		až 0,3		až 0,3	lepší než 0,1
Materiál raménka	plastická hmota		kovová trubka		kovová trubka	kovová trubka
Vložka	VK 311 MS III		VK 311 MS III		VK 311 MS III, VK 641 N III	magnetodynamická
Svislá síla na hrot	5 až 7 p		5 až 7 p		5 až 7 p	0,5 až 3 p
Výstupní napětí	150 mV/cm s <sup>-1</sup>		150 mV/cm s <sup>-1</sup>		150 mV/cm s <sup>-1</sup>	min. 1 mV
Přeslechy (f = 1 kHz)	lepší než -15 dB		lepší než -15 dB		lepší než -15 dB	lepší než -25 dB
Odstup hluku šasi	lepší než -30 dB		lepší než -30 dB		lepší než -30 dB	lepší než -30 dB
Zvedáček	ne		ano		ne	ano
Rozměry [mm]	310 × 240 × 130 mm	314 × 245 × 150 mm	310 × 240 × 130 mm	341 × 245 × 140 mm	325 × 252 × 130 mm	350 × 450 × 165 mm
Váha	asi 2 kg	asi 3,8 kg	asi 2 kg	asi 3,5 kg	asi 3 kg	9,2 kg

Označení	GE 101	GZ 101	NZC 100	GZ 110.1 (obr. 1)	GZC 110.1	NZC 110.1
Maloobchodní cena	1 080,—	není stanovena	1 800,—	1 400,—	2 150,—	2 350,—
Provedení	kufr se zesilovačem	kufr se zesilovačem	sokl se zesilovačem	kufr se zesilovačem	kufr se zesilovačem	sokl se zesilovačem
Druh	mono	mono	stereo	mono	stereo	stereo
Napájení	220 V, 26 VA	220 V, 26 VA	220 V, 35 VA	220 V, 27 VA	220 V, 38 VA	220 V, 38 VA
Použití šasi	HC 10	HC 10	HC 10	HC 11	HC 11	HC 11
Výstupní hudební výkon	4 W	4 W	2 × 4 W	4 W	2 × 4 W	2 × 4 W
Výstupní sinusový výkon	2 W	2 W	2 × 2 W	2 W	2 × 2 W	2 × 2 W
Harmonické zkreslení	5 % při $f = 1 \text{ kHz}$	10 % při $1 \text{ kHz}$	5 % při $1 \text{ kHz}$	4 % při $1 \text{ kHz}$	4 % při $1 \text{ kHz}$	4 % při $1 \text{ kHz}$
Kmit. charakteristika ± 3 dB	200 až 15 000 Hz	150 až 15 000 Hz	200 až 15 000 Hz	150 až 15 000 Hz	150 až 15 000 Hz	150 až 15 000 Hz
Odstup šumu zesilovače	lepší než —48 dB	lepší než —50 dB	lepší než —48 dB	lepší než —48 dB	lepší než —50 dB	lepší než —50 dB
Korekce	min 10 dB na 10 kHz	12 dB při 10 kHz, 12 dB při 150 Hz	-15 dB při 10 kHz	20 dB při 10 kHz, 20 dB při 100 Hz	20 dB při 10 kHz, 20 dB při 100 Hz	20 dB při 10 kHz, 20 dB při 100 Hz
Rozměry	320 × 220 × 130 mm	341 × 245 × 160 mm	338 × 238 × 110 mm	400 × 305 × 170 mm	470 × 310 × 210 mm	470 × 310 × 210 mm
Váha	4,3 kg	4,5 kg	4,75 kg	8,2 kg	9 kg	10,6 kg
Rozsah stereováhy	—	—	25 dB	—	26 dB	26 dB

Šasi HC 10, HC 09, HC 11 a gramofonové přístroje NZC 090, NZC 100 a GZ 101 jsou vyobrazeny na 2. str. obálky.

# ZAČÍNÁME OD KRYSTALKY

oklamy

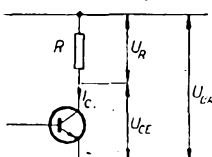
5

Alek Myslík

Minule jsme se poprvé setkali se základními veličinami elektrického obvodu – napětím, proudem a odporem. Postavili jsme si první nejjednodušší nízkofrekvenční zesilovač. Tentokrát si na základě nabylých znalostí a zkušeností řekneme několik dalších „zájimavostí“ o tranzistoru, seznámíme se s některými základními zapojeními nízkofrekvenčního zesilovacího stupně a všechna zapojení si vyzkoušíme.

Všude nevystačíme s tím nejjednodušším zapojením zesilovacího stupně, které jsme poznali minule. Řekli jsme si, že tranzistor má nejlepší vlastnosti v určitém pracovním bodě, tzn. za určitých předepsaných napětí mezi elektrodami a při určitých proudech elektrod. Vlastnosti polovodičových prvků jsou však velmi závislé na okolní teplotě. Např. kolektorový proud (proud, který teče kolektorem tranzistoru) se zvyšuje se teplotou zvětšuje. Tím se mění i napětí mezi kolektorem a emitorem tranzistoru, jak je zřejmé z obr. 1. Z Ohmova zákona víme, že

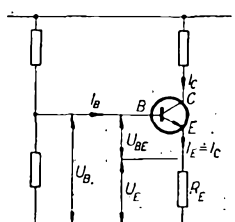
vejte se např. na obr. 2. Kolektorový proud  $I_C$  je (jak již víme) úměrný proudu báze  $I_B$ . Čím větší bude proud báze  $I_B$ , tím větší bude proud kolektoru  $I_C$ . Z Ohmova zákona plyne, že proud je úměrný napětí ( $I = \frac{U}{R}$ ). Platí to tedy i v našem případě a můžeme říci, že proud  $I_B$  je úměrný napětí  $U_{BE}$ . Jak je vidět z obrázku, je napětí  $U_{BE}$  rovno rozdílu napětí  $U_B - U_E$ . A nyní tedy ke stabilizačnímu účinku odporu  $R_E$ . Zvýší-li se teplota, zvětší se kolektorový proud  $I_C$ . Protože tento proud protéká i odporem  $R_E$ , zvětší se napětí  $U_E$ ,



Obr. 1. Vliv teploty na napětí  $U_{CE}$

napětí  $U = IR$ . Odpor  $R$  (jsou to např. sluchátka 4 000  $\Omega$ ) zůstává stejný. Zvětší-li se však proud, zvětší se i napětí na odporu – je označeno  $U_R$ . Na tranzistor tedy „zbývá“ menší napětí, tj. napětí baterie  $U_{BAT}$  změšené o úbytek na odporu  $U_R$ . Změní se i některé další parametry tranzistoru. Vídíme tedy, že změnou teploty „ujede“ tranzistor ze svého pracovního bodu.

Abychom tento jev omezili, používáme k nastavení pracovního bodu tranzistoru více vnějších součástek a mluvíme o obvodech určených ke stabilizaci pracovního bodu. Podí-



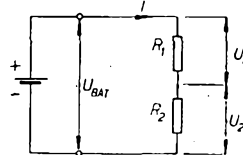
Obr. 2. Funkce stabilizačního emitorového odporu  $R_E$

protože  $U_E = I_C R_E$ . Zvětší-li se však napětí  $U_E$ , zmenší se rozdíl  $U_B - U_E$ , zmenší se tedy napětí  $U_{BE}$ . Jak jsme si řekli, proud báze  $I_B$  je úměrný tomuto napětí a proto se také zmenší. Zmenšení proudu báze má za následek zmenšení kolektorového proudu  $I_C$  a tím je vyrovnaný nepríznivý účinek zvýšení teploty. Projděte si celý tento postup ještě jednou a pozorně sledujte obrázek, k pochopení tohoto principu vám stačí vaše dosud získané znalosti.

Abychom si mohli vysvětlit stabilizační účinek jiné části obvodu, musíme si nejdřív vysvětlit pojmem funkci děliče napětí.

### Dělič napětí

Schéma děliče napětí je na obr. 3. K jeho pochopení nám opět stačí znalost Ohmova zákona. Obvodem podle obr. 3 protéká proud  $I$ . Na odporu  $R_1$  vznikne proto napětí  $U_1 = IR_1$ , na odporu  $R_2$  vznikne napětí  $U_2 = IR_2$ .



Obr. 3. Dělič napětí

Jak vyplývá z obrázku, součet napětí  $U_1$  a  $U_2$  se rovná napětí  $U_{BAT}$ . Poměr jednotlivých napětí  $U_1$  a  $U_2$  dostaneme úpravou vztahu

$$\frac{U_1}{U_2} = \frac{IR_1}{IR_2} = \frac{R_1}{R_2}$$

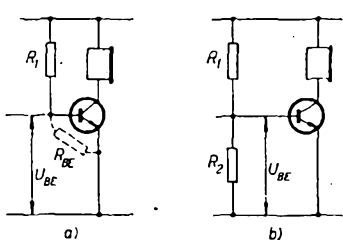
Vidíme, že poměr napětí na jednotlivých odporech je přímo úměrný poměru těchto odporů. Poměr napětí  $U_2$  k celkovému napětí  $U_{BAT}$  se rovná po dosazení za  $U_2 = IR_2$  a za  $U_{BAT} = U_1 + U_2 = IR_1 + IR_2 = I(R_1 + R_2)$

$$\frac{U_2}{U_{BAT}} = \frac{IR_2}{I(R_1 + R_2)} = \frac{R_2}{R_1 + R_2}$$

Prakticky to tedy znamená, že vhodnou volbou odporek můžeme nastavit libovolnou velikost napětí  $U_2$ . Budou-li odpory  $R_1$  a  $R_2$  stejné, bude  $U_2 = \frac{1}{2} U_{BAT}$ .

A nyní se vrátíme ke stabilizaci pracovního bodu tranzistoru. Na obr. 4a je původní jednoduché zapojení zesilovacího stupně. Napětí  $U_{BE}$  je vlastně napětím  $U_2$  ve srovnání s obr. 3; odpór  $R_2$  z obr. 3 je zde tvořen vnitřním odporem tranzistoru mezi bází

a emitorem  $R_{BE}$  (čárkovane). Protože se při změně teploty mění i tento vnitřní odpor tranzistoru, došlo by ke změně napětí  $U_{BE}$ . Proto se používá zapojení podle obr. 4b. Napětí  $U_{BE}$  je zde určeno



Obr. 4. Stabilizační účinek děliče pro napětí  $U_{BE}$

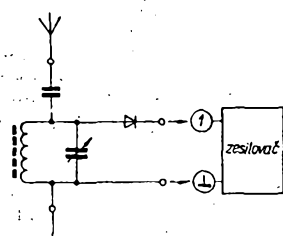
děličem napětí z odporů  $R_1$  a  $R_2$  a je proto nezávislé na teplotě. Změna vnitřního odporu tranzistoru při vhodné volbě velikosti odporů  $R_1$  a  $R_2$  napětí  $U_{BE}$  téměř neovlivňuje.

#### Zapojení tranzistorových zesilovacích stupňů se stabilizovaným pracovním bodem

Na obr. 5a až 5d jsou schémata zapojení zesilovacích stupňů se stabilizací pracovního bodu. Na obr. 5a je to stabilizace emitorovým odporem, na obr. 5b zapojení s děličem pro napětí  $U_{BE}$ , na obr. 5c jsou obě zapojení sloučena. Ve všech těchto zapojeních se jako pracovní odpor používají sluchátka. Na obr. 5d jsou sluchátka nahrazena odporom a zesílený signál se odvádí z kolektoru tranzistoru přes kondenzátor  $C_V$ . Kondenzátor má tu vlastnost, že propustí zesílený nízkofrekvenční signál, ale nepropustí stejnosměrné napětí, kterým je kolektor tranzistoru napojen.

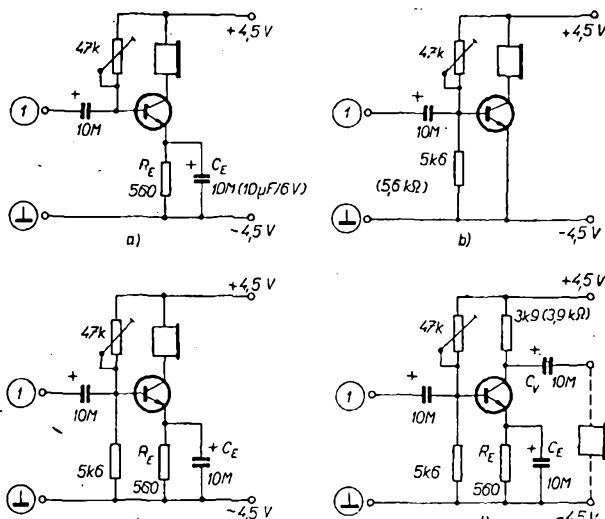
V zapojení a, c a d je ještě jedna součástka, jíž funkci jsme dosud nevyšvětili. Je to kondenzátor  $C_E$ , který je připojen paralelně k odporu  $R_E$ . Stabilizační odpor  $R_E$  by totiž ovlivňoval činnost obvodu nejen v případě zvětšení kolektorového proudu účinkem teploty, ale i v případě zvětšení kolektorového proudu v důsledku většího signálu na vstupu tranzistoru – a tím by vlastně rušil zesilovací účinek tranzistoru. Proto je paralelně k odporu  $R_E$  připojen kondenzátor  $C_E$ , který střídavému signálu neklade téměř žádný odpor. Pro střídavý signál se tedy stabilizační odpor neuplatní a uplatní se pouze pro pomalé změny kolektorového proudu, způsobené teplotou.

Všechna tato zapojení si vyzkoušejte na univerzální destičce. Odporným trimrem nastavíme vždy největší zesí-



Obr. 6. Připojení krystalky k zesilovacím stupniům

Obr. 5. Zapojení zesilovacích stupňů se stabilizací pracovního bodu



#### Jaké součástky přikoupíte?

15. odpor  $3,9 \text{ k}\Omega / 0,05 \text{ W}$  (cena 0,40 Kčs)
16. odpor  $5,6 \text{ k}\Omega / 0,05 \text{ W}$  (cena 0,40 Kčs)
17. elektrolytický kondenzátor  $10 \mu\text{F} / 6 \text{ V}$ , 2 kusy (cena 5,- Kčs)

Ostatní součástky použijete z předchozích zapojení.

### NOVÉ MOŽNOSTI ZÍSKÁVÁNÍ DSB A SSB SIGNÁLU POMOCÍ FEROELEKTRIK

Antonín Glanc, OK1GW\*

V průběhu posledního desetiletí jsme svědky toho, jak technika vysílání s potlačenou nosnou vlnou (DSB) a s jedním postranním pásmem (SSB) přesvědčivě ovládla pole ve všech odvětvích radiokomunikací. Snad proto je rozšířen názor, že jde o věc zcela novou. Ve skutečnosti byl základní princip objeven a použit už v letech 30. a 40. let minulého století. Hlavním důvodem zpoždění rozvoje této myšlenky pro široké využití byl nedostatek přesných a pětadváckatých hospodářských obvodových prvků, které tato technika vyžaduje. V současné době se používá především osvědčená filtrážová metoda, kterou lze dojít k vynikajícím výsledkům. Vývoj se však jistě nezastaví a bude směřovat k miniaturizaci a integrovaným obvodům.

V poslední době se v elektronice setkáváme s některými novými materiály, které nacházejí pro svou specifické vlastnosti stále větší uplatnění. Mezi ně patří i feroelektrické látky. Účelem tohoto článku je upozornit na některé zajímavé vlastnosti těchto látek a možnosti jejich využití v generátořích DSB a SSB.

#### Feroelektrické látky

S některými vlastnostmi feroelektrických látek a možnostmi jejich aplikací se seznámili čtenáři na stránkách tohoto časopisu již dříve [1], [2]. Připomeňme si jen některé charakteristické znaky, kterými se tyto látky liší od běžných dielektrik. Je to v prvé řadě tzv. spontánní polarizace: zatímco u běžného kondenzátoru dochází k dielektrické polarizaci až po připojení elektrického pole, dielektrikum feroelektrika je polarizováno i při nulovém vnějším poli. U těchto materiálů lze přiloženým elektrickým polem otočit směr spontánní polarizace a napěťovou závislost náboje na feroelektrickém kondenzátoru ve střídavém elektrickém poli má tvar hysterézní smyčky. (Podobnou smyčku mají i feromagnetické látky.) Náboj na takovém kondenzátoru se tedy nemění sinusově a proto ani procházející proud není sinusový; obsahuje však vyšší harmonické kmitočty. To je jedna z nelineárních závislostí

feroelektrik. Jinou je např. závislost kapacity na napěti.

Feroelektrické vlastnosti, tj. velká permitivita (dielektrická konstanta), spontánní polarizace, hysterézní smyčka a tedy i nelinearita, jsou silně závislé na teplotě. Z hlediska praktických aplikací se jeví jako nejvhodnější oblast v okolí tzv. Curieova bodu ( $T_c$ ), kde jsou nelineární vlastnosti nejvýraznější. Využití těchto nelinearit je však vázáno na stabilizaci teploty feroelektrika v okolí Curieova bodu.

#### Režim teplotní autostabilizace – Tandem

V poslední době se v oblasti aplikovaného výzkumu feroelektrik sleduje tzv. teplotně autostabilizační režim (TASR) [3]. Princip režimu spočívá v tom, že feroelektrický kondenzátor je vyhříván vlastními dielektrickými ztrátami při přiložení střídavého napěti vhodného kmitočtu a amplitudy. K rovnovážnému stavu dojde za podmínek rovnováhy mezi elektrickým příkonem ze zdroje a výkonem odvedeným z feroelektrika do okolí. Pracovní teplota se ustaví v teplotní oblasti, v níž se v závislosti na zvyšující se teplotě zmenšuje

\* Materials Research Laboratory,  
The Pennsylvania State University,  
University Park, Pa 16802.

dielektrické ztráty a stabilizuje se zde vůči změnám teploty okolí a vyhřívacího napětí. Protože tato oblast je u feroelektrik v okolí Curieova bodu, lze tak stabilizovat výrazné nonlinearity a využít je v elektronických obvodech. Feroelektrický kondenzátor, pracující za těchto podmínek, byl nazván teplotně autostabilizující nonlineární dielektrický element – tandem [4]. Nejpodrobněji byl TASR prozkoumán na feroelektrickém triglycinulfátu (TGS s Curieovým bodem  $T_c = 49^\circ\text{C}$ ) z hlediska využití v elektromechanických obvodech. V průběhu prací byly zjištěny některé vlastnosti tandemu TGS, které byly označeny jako závažné překážky, brániče jeho využití. Vedle tzv. zapolarizačního napětí to byly i vlastní mechanické kmity tandemu, vyskytující se v kmitočtovém oboru od desítek do tišic kHz. Zatímco první problém může být odstraněn novou technologií pěstování krystalů [5], vlastní experimentální výsledky dokazují, že mechanických kmitů tandemu může být naopak využito [6].

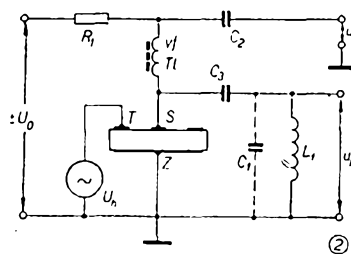
#### Tandemový rezonátor

Pro pochopení toho, co bude řešeno dále, musíme vycházet z rozdílnosti režimu tandemového rezonátoru v porovnání se známými druhy rezonátorů, jako je např. rezonátor křemenný. Režim teplotní autostabilizace, který udržuje teplotu tandemového rezonátoru v blízkosti Curieova bodu, stabilizuje jak velké hodnoty permittivity, tak i piezoelektrických konstant, které mají v závislosti na teplotě podobné průběhy. Nad Curieovým bodem má krystal TGS střed symetrie a není piezoelektrický. Pod  $T_c$  se krystal stává feroelektrickým a zároveň silně piezoelektrickým. Při úvahách o podstatě mechanických kmitů je nutno vycházet z toho, že deformace je lineární funkci polarizace v případě piezoelektrického jevu, kvadratickou funkci v případě elektrostrikce. V našem případě mohou však být obě tyto závislosti kvadratické vzhledem k velikosti elektrického pole, které je nutné k dosažení autostabilizačního režimu. Studium tohoto problému na TGS potvrdilo, že největší amplitudu mechanických kmitů lze zjistit na druhé harmonické budicí (vyhřívací) napěti [7].

Obvody, které budou dále popsány, jsou založeny na nové konstrukci tandemu, která umožňuje oddělit využívací (budicí) napětí od střední elektrody vzorku. Uspořádání elektrod je na obr. 1. Je vidět, že společná elektroda Z pokrývá celou spodní plochu vzorku, zatímco horní elektroda je rozdělena nepokoveným mezíkřížem M na dvě izolované části T a S. Pár elektrod T – Z představuje využívací tandem, který udržuje feroelektrický kondenzátor mezi elektrodami S a Z na teplotě blízké Curieovu bodu. Střední část vzorku je tedy využívána nepřímo teplotní vo-

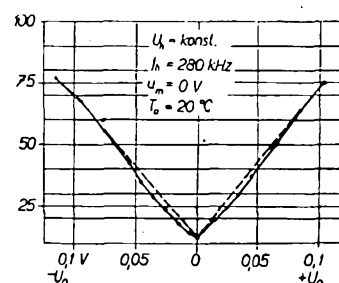
divostí materiálu a má za těchto podmínek všechny mimorádné vlastnosti, které se vyskytují v blízkosti fázového přechodu feroelektrika.

Na obr. 2 je tříelektrodotový prvek a jeho funkce v obvodu. Napětím oscilátoru  $U_h$  se ustaví režim teplotní autostabilizace. Kmitočet oscilátoru je nastaven tak, aby nastala rezonance pro



Obr. 2.

některý z mechanických modů disku. Připojime-li nyní mezi elektrody S a Z stejnosměrné napětí  $U_0$ , vznikne ve výstupním obvodu jako důsledek indukování piezoelektrického jevu střídavé napětí  $u_k$ , jehož amplituda bude úměrná  $U_0$ . Protože element S-Z je pevnou součástí celého mechanického kmitajícího disku, tvoří tak piezoelektrický snímač, jehož citlivost je při konstantní amplitudě mechanických kmitů úměrná přiloženému napětí  $U_0$ . Střídavé napětí  $u_k$ , které se objeví na výstupních svorkách, má kmitočet rovný kmitočtu mechanických kmitů. Závislost amplitudy tohoto napětí na přiloženém stejnosměrném napětí  $U_0$  má charakteristický tvar „V“ a je na obr. 3.

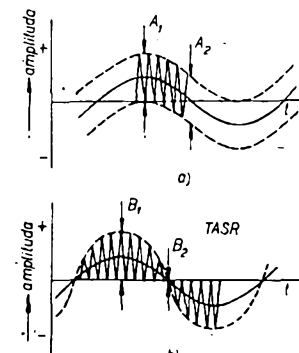


Obr. 3.  
(Na svislé ose je vynesena velikost napětí  $u_k$  v mV)

Zcela nových vlastností nabude obvod podle obr. 2, bude-li napětí přiložené na snímací elektrodu S měnit svoji polaritu. V podobných případech, kdy v lineárním obvodu existují společně dva signály (jeden nízkofrekvenční  $f_m$  a jeden vysokofrekvenční  $f_c$ ), vznikne superpozice a výsledná vlna bude mít tvar podle obr. 4a. Vidíme, že její průběh je nesymetrický vůči nulové ose. Při superpozici je amplituda každého následujícího cyklu v napětí stejná jako u cyklu předcházejícího ( $A_1$ ,  $A_2$ ). Kmitočtová analýza takového napětí obsahuje pouze dva kmitočty  $f_c$  a  $f_m$ . Podobný stav může nastat i v obvodu podle obr. 2, není-li ustaven režim teplotní autostabilizace.

Ke zcela jiné situaci dojde, je-li dosaženo tandemového režimu při současné mechanické rezonanci krystalu. Za současně jinak stejných podmínek (tj. na snímací elektrodě je přiloženo střídavé napětí  $u_m$  o kmitočtu  $f_m$ , který je nižší, než na stejné elektrodě piezoelektricky indukované napětí  $u_k$  s kmi-

točtem  $f_c$ ) bude mít výstupní napětí tvar uvedený na obr. 4b. Vidíme, že stejně jako při superpozici není vlna symetrická vůči nulové ose, avšak při podrobnějším zkoumání nalezneme tyto odlišné vlastnosti:

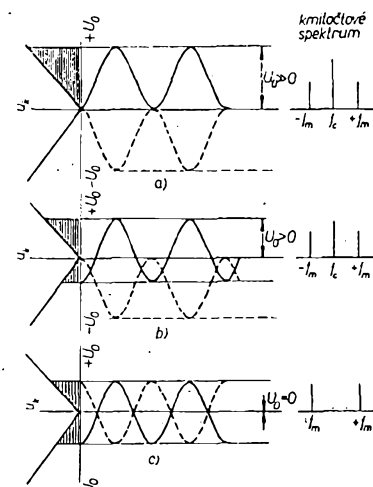


Obr. 4.

- Amplitudy jednotlivých cyklů v napětí nejsou stejné v závislosti na čase ( $B_1$ ,  $B_2$ ).
- Toto výstupní generované indukováním piezoelektrickým jevem prochází nulovou osou ve stejném okamžiku jako nízkofrekvenční a při příchodu mění svoji fázi. Oba signály mají v tomto okamžiku nulové napětí.
- Kmitočtová analýza ukazuje, že výstupní napětí obsahuje kmitočty  $f_c$ ,  $f_m$ ,  $(f_c - f_m)$  a  $(f_c + f_m)$ .

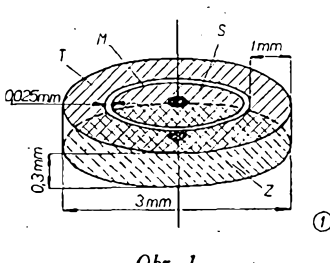
#### Piezoelektrický balanční modulátor

Základní obvod na obr. 2 je navržen tak, že umožňuje přiložit na střední elektrodu krystalu jak stejnosměrné, tak i střídavé napětí. Vzájemné působení těchto dvou signálů v obvodu je graficky znázorněno na obr. 5a, b, c a



Obr. 5.

ukazuje vliv stejnosměrného napětí  $U_0$  na tvar výstupního napětí. Z obrázků je patrné, že piezoelektricky indukované napětí  $u_k$ , generované synchronně s ní signálem  $u_m$ , může měnit svoji polohu vzhledem k nulové ose v závislosti na velikosti stejnosměrného napětí  $U_0$ . Z tvaru výstupního napětí  $u_k$  je vidět, že jeho změna vlastně udává procento-modulaci při konstantním modulačním napětí  $u_m$ . Protože piezoelektricky indu-



Obr. 1.

kované napětí  $u_m$  reprezentuje v tomto pochodu nosnou vlnu ( $f_0$ ), grafické znázornění na obr. 5a, b, c udává stupeň jejího potlačení. Přidáním rezonančního obvodu  $L_1$ ,  $C_1$  (který je laděn na kmitočet nosné  $f_0$ ) odstraníme modulační napětí  $u_m$  z výstupního obvodu a obdržíme symetrickou křivku modulační obádky. Obvod podle obr. 2 může tedy pracovat jako balanční modulátor.

Základní vlastnosti každého balančního modulátoru je možnost potlačit nosný kmitočet tak, aby se neobjevoval na výstupu při současném zachování amplitudy postranních pásů. Modulační pochod, který probíhá v našem obvodu, můžeme vysvetlit pomocí charakteristické závislosti „V“, s níž jsme se již seznámili (obr. 3). V grafickém znázornění na obr. 5a, b, c je vložena nalevo od vertikální osy a odvouzující tři možné situace. Ve všech případech je na střední elektrodě stejná amplituda modulačního napětí  $u_m$  s kmitočtem  $f_m$ .

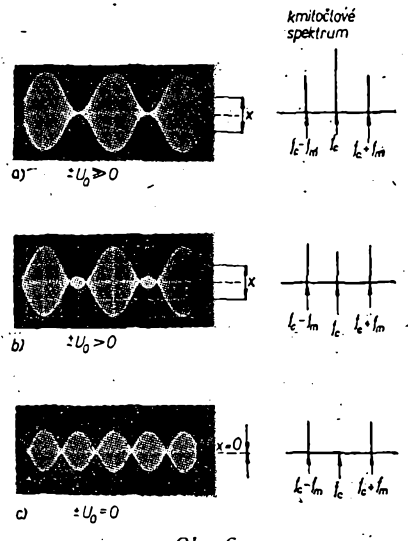
V horním obrázku (obr. 5a) je modulátor rozbaločován a na výstupu se objevuje modulovaná nosná vlna  $f_0$ . Stejnosměrným napětím ( $U_0 \gg 0$ ) byla její amplituda nastavena tak, aby představovala stoprocentní modulaci. Na pravé straně obrázku je kmitočtové spektrum výstupního signálu, které obsahuje nosnou vlnu  $f_0$  a dvě postranní pásmá ( $f_0 - f_m$ ) a ( $f_0 + f_m$ ).

Zmenšením stejnosměrného napětí  $U_0 > 0$  zmenšíme i amplitudu nosné vlny na výstupu (obr. 5b). Část modulační křivky přejde přes nulovou osu a během této periody se změní fáze piezoelektricky indukovaného vlnění.

Na obr. 5c je konečný případ. Amplituda nosného kmitočtu  $f_0$  je úplně potlačena ( $U_0 = 0$ ); signál na výstupu obsahuje pouze dva postranní kmitočty  $-f_m$  a  $+f_m$ .

Stejnou informaci podává levá část obrázků, kde řasovaná plocha (trapezoid) udává symetrii a tím i konečné vyvážení modulátoru.

Osciloskopem na obr. 6a, b, c byly snímány na rezonančním obvodu  $L_1$ ,  $C_1$  v zapojení podle obr. 2 a prakticky potvrzuji to, co bylo řečeno při grafickém znázornění modulačního pochodu.



V porovnání s ostatními druhy balančních modulátorů vyniká piezoelektrický balanční modulátor poměrně snadno dosažitelným vysokým stupněm potlačení nosného kmitočtu (lepší než 80 dB). (Pokračování)

# TRANZISTOROVÝ ZESILOVAČ 2T61

Ladislav Kavalír

Bylo již zveřejněno hodně návodů na tranzistorové přijímače, které obsahovaly popis, princip a zapojení. Ze zkušeností našeho radioklubu uvádíme podrobné schéma a stavební návod univerzálního stavebnicového zesilovače 2T61, který má sloužit jako podklad pro další konstrukční práci.

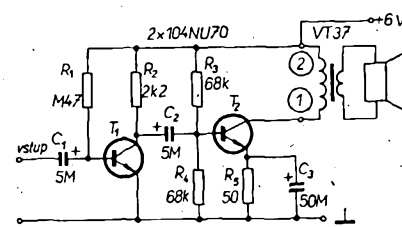
## Mechanická konstrukce

Zesilovač je konstruován jako stavebnicová jednotka a je ho proto možno použít v různých přístrojích jako v přijímači, hlasitému telefonu, jako zesilovač pro gramofon apod. Tento způsob stavby má mnoho výhod: přehlednost a spolehlivost, zapojení se snadno kontrolouje a opravuje.

– Orýsujieme a vystříhneme destičku z pertinaxu tloušťky 1 až 2 mm. Vyrábíme díry a zanýtujeme nýtky, pociňujeme je, upravíme délku a ohneme vývody součástek. Pájíme nejdéle 4 vteřiny, protože součásti by se mohly teplem poškodit. Součástky propojíme ze spodu destičky izolovaným drátem. Žkontrolujeme zapojení, vyrovnejme součásti a dbáme, aby se nikde nedotýkaly. Jiná možnost je použití univerzální destičky s plošnými spoji, kde nepotřebné spoje odškrábeme.

## Popis zapojení

Zesilovač je dvoustupňový. Signál přichází přes oddělovací kondenzátor na bázi tranzistoru  $T_1$ . Jeho pracovní bod je nastaven odporem  $R_1$ . Zvětšení



Obr. 1.  
(Správná velikost odporu  $R_1$  je 18 k $\Omega$ )

napětí mezi bází a emitorem (důsledek přítomnosti nf signálu) způsobí zvětšení kolektordoprovodného proudu, který prochází kolektordoprovodným odporem. Tím se zvětší úbytek napětí na kolektordoprovodném odporu a zmenší napětí mezi kolektorem a emi-

torem. Tato změna napětí mezi bází a emitorem vyvolá zmenšení kolektordoprovodného proudu, který prochází primárním vinutím výstupního transformátoru. Tím se zmenší napětí na primárním vinutí. Elektromagnetickou indukcí se zmenší napětí v sekundárním vinutí a zmenší se i proud, procházející reproduktorem. Membrána se vychýlí.

Pracovní bod druhého tranzistoru je teplotně stabilizován emitorovým stabilizačním odporem a děličem napětí v obvodu báze.

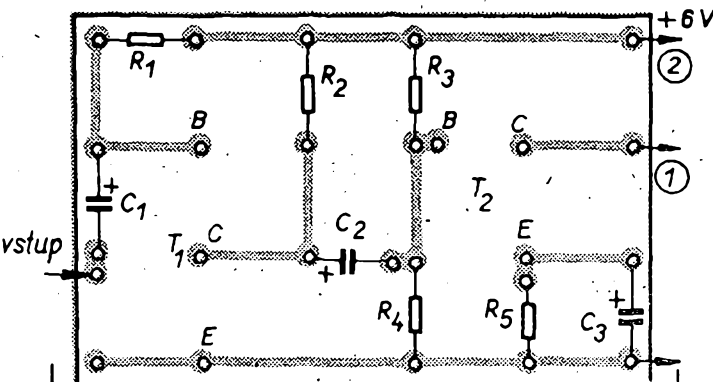
Zvětší-li se při zvýšení teploty kolektordoprovodného proudu, zvětší se i úbytek napětí na stabilizačním odporu. Tím se zmenší napětí mezi emitorem a bází, čímž se zmenší kolektordoprovodný proud a tranzistor se vrátí do původního pracovního bodu. Aby nedocházelo ke zmenšování napětí mezi bází a emitorem vlivem zpracovávaného signálu, je k emitorovému odporu paralelně připojen kondenzátor. Střídavá složka signálu prochází bez ztrát tímto kondenzátorem.

## Uvedení do chodu

Nejprve zapojíme druhý stupeň zesilovače. Přes oddělovací kondenzátor přivedeme z generátoru signál o kmitočtu asi 400 Hz. Zesilený signál pozorujeme na osciloskopu. Trimrem v obvodu báze nastavíme pracovní bod tranzistoru tak, aby byl výstupní signál přesně sinusový. Pak zapojíme první tranzistor. Změnou odporu v bázi nastavíme pracovní bod prvního tranzistoru. Odpory trimrů změříme a celý zesilovač definitivně postavíme s pevnými odpory.

Zesilovač je konstruován pro výstupní transformátor VT37. Zesilovač je možno použít např. do přijímače, u něhož je v díle zapojen jako reflexní stupeň, osazený např. tranzistorem 156NU70.

Konstrukce tranzistorového zesilovače 2T61 získala v městském kole STTM v Praze II. cenu á na Národní výstavě STTM v Olomouci diplom.



Obr. 2.

# Stejnosmerný tranzistorový osciloskop.

Jiří Zuska

Popisovaný přístroj byl vyvinut ve dvou variantách, které se od sebe liší typem použité obrazovky. První varianta používá čs. obrazovku 7QR20. V závěru uvádíme pro zajímavost i alternativu s použitím obrazovky se symetrickým vychylováním, neboť s její pomocí je horizontální rozklad podstatně kvalitnější, jak vyplývá ze srovnání technických parametrů.

Předností konstrukce je výšeň a použití poměrně jednoduchého stejnosmerného širokopásmoveho vertikálního zesilovače s použitím tranzistoru třízeného polem na vstupu a s vyhovující teplotní stabilitou.

Osciloskop je výsledkem snahy o moderní a účelnou konstrukci praktického přístroje pro servisní a vývojovou práci a první zkušenosti z provozu naznačují, že to byla snaha úspěšná. Přístroj se mimo jiné zvláště osvědčil při práci s pulsními obvody, pokud není vyžadováno jednorázové spouštění časové základny.

## Technické parametry

**Vertikální zesilovač:** Kmitočtový rozsah 0 až 5 MHz (-3 dB); vstupní odporník 2,2 M $\Omega$ /20 pF; citlivost 10 mV/cm (stejnosmerně), regulace hrubé 1:1; 10; 10<sup>2</sup>; 10<sup>3</sup>; 10<sup>4</sup>; plynule 1:10; vertikální posuv obrazu s indikací polohy.

**Horizontální zesilovač:** Kmitočtový rozsah 5 Hz až 0,8 MHz (-3 dB); vstupní odporník 100 k $\Omega$ , popř. 2 M $\Omega$ ; citlivost max. 100 mV/cm; regulace citlivosti plynulá.

**Časová základna:** Rozsah rychlostí 25 ms na cm až 0,4  $\mu$ s/cm, 8 Hz až 0,5 MHz, synchronizace: vnitřní, vnější, nastavitelná.

**Napájení:** 220 V, 50 Hz.

**Příkon:** asi 10 W.

**Osazení:** 7 × KC507, 4 × KF504, 2 × KSY62B, 1 × KF521 (KF520), 2 × KSY62, (2 × KA206), 6 × KY705, 3 × KY702, 1 × KZ712, 2 × 6NZ70, 2 × 1NZ70, 1 × 12TA31, 1 × 7NZ70; obrazovka 7QR20.

**Rozměry:** 120 × 190 × 250 mm, váha asi 3 kg.

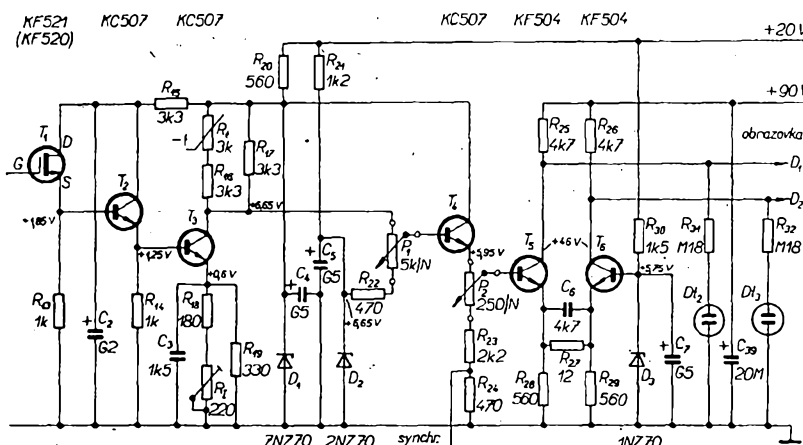
## Popis činnosti

### Vertikální zesilovač

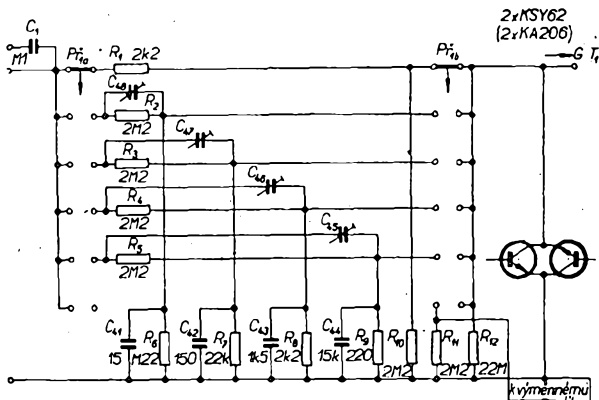
Zesilovač má na vstupu dělič s desetinným dělením (obr. 1). Dělič je kmitočtově kompenzován a je navržen tak, aby měl přístroj na všech rozsazích vstupní odporník približně 2 M $\Omega$ . Za děli-

toho zapojení je velký vstupní odporník, který je díky malé vstupní kapacitě zachován i na vysokých kmitočtech. Použití unipolárního tranzistoru přináší též výhodu v tom, že vstupní zdiřky stejnosmerného zesilovače mají nulový potenciál. Na místě  $T_1$  byl též zkoušen tranzistor KF520, výsledky byly však

dvou odpornů, termistoru a potenciometru  $P_1$ ) a odporu v emitoru (dva odpory a trimr  $R_1$ ), který zavádí zpětnou vazbu. Připojením  $C_3$  se tato zpětná vazba směrem k vyšším kmitočtům zmenšuje, čímž dochází ke kompenzaci úbytku zesílení na těchto kmitočtech a k vyrovnaní kmitočtové charakteristiky. Kombinace odporníku s termistorem v kolektoru  $T_3$  kompenzuje teplotní driftu zesilovače. Bylo vyhodné tento termistor tepelně „svádat“ s  $T_1$ ,  $T_2$  a  $T_3$ , neboť při rychlých změnách okolní teploty se termistor ohřívá rychleji než tranzistory (má menší tepelnou setrvačnost). Určitého zlepšení jsem dosáhl zakrytím všech těchto prvků malou krabičkou z plastické hmoty. Po zesílení tranzistorem  $T_3$  postupuje signál na potenciometr  $P_1$ , jímž se plynule řídí citlivost v poměru 1:10. Regulované napětí se z běžeče  $P_1$  přivádí na oddělovací stupeň v zapojení



Obr. 2. Vertikální zesilovač



Obr. 1.  
Vstupní dělič

čem je zapojena dvojice tranzistorů (diód) jako ochrana vstupního tranzistoru před příliš velkým signálem. Použijí-li se diody zapojené proti sobě, je třeba, aby měly malou kapacitu (např. KA206). Vlastní zesilovač začíná impedančním převodníkem, osazeným tranzistory  $T_1$  a  $T_2$  (obr. 2) v tzv. smíšeném zapojení typu SD - SC [1]. Předností

poněkud horší. Zvětšila se zhruba trojnásobně vstupní kapacita zesilovače a zároveň došlo k zeslabení signálu přibližně na jednu čtvrtinu původní úrovně, což zřejmě souvisí s malou strmostí tranzistoru KF520. Tranzistor  $T_3$  v uvedeném zapojení zesiluje asi desetkrát (bez  $C_3$ ), což je dáno poměrem zatěžovacího odporu kolektoru (je tvořen kombinací

se společným kolektorem (tranzistor  $T_4$ ). Z části jeho emitorového odporu se snímá napětí potřebné pro synchronizaci generátoru časové základny. V obvodu emitoru  $T_4$  je zapojen i potenciometr  $P_2$  k vertikálnímu posunu obrazu. Nedostatkem tohoto řešení je skutečnost, že se při posunu též poněkud mění citlivost, změna však není větší než  $\pm 5\%$  citlivosti při nastavení běžeče  $P_2$  do středu odpovídající dráhy. Posouvat obraz vertikálně lze i změnou napětí na bázi  $T_6$ .

Z běžeče  $P_3$  postupuje signál do koncového stupně, zapojeného jako diferenční zesilovač. Předností tohoto zapojení je především velké napěťové zesílení, přičemž zůstávají zachovány přiznivé kmitočtové vlastnosti. Další výhody jsou: malé zkreslení signálu i při velké amplitudě signálu, jednoduché připojení stejnosmerného zesilovače na symetrické destičky obrazovky ( $D_1$  a  $D_2$ ) jednoduché zapojení a nastavení pracovního bodu, snadná úprava zesílení změnou velikosti záporné zpětné vazby (odporu  $R_{27}$ ).

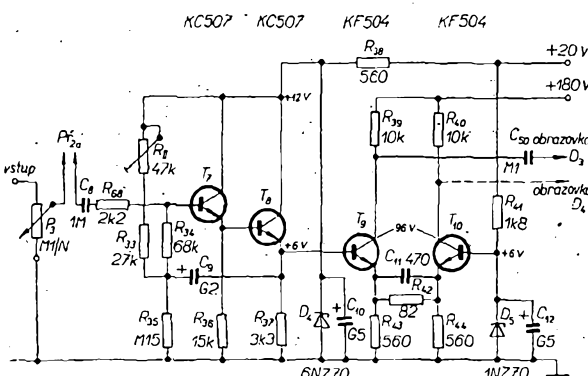
Výhodou je i ta skutečnost, že v tomto zapojení stačí na stejný vertikální rozdíl obrazu na stínítku poloviční napájecí napětí koncových tranzistorů než při použití jednoduchého zesilovače ve třídě A. To znamená, že pro stejné výkonové zatížení tranzistorů koncového stupně se dají použít 4krát menší kolektorové zatížovací odpory, takže se úměrně zmenší velikost časové konstanty, určené zatížovacím odporem a výstupní kapacitou tranzistorů spolu s kapacitou vychylovacích destiček obrazovky a ostatními parazitními kapacitami obvodu. Výsledkem je větší šířka pásma, které je zesilovač schopen přenášet.

Kondenzátor  $C_6$  (jímž je překlenut odpor  $R_{27}$ , zavádějící slabou místní zpětnou vazbu) zvětšuje poněkud zesílení na vyšších kmitočtech. Působení tohoto kondenzátoru se však citelně projevuje až při větších odporech  $R_{27}$ , větší odpor však zmenší citlivost vertikálního zesilovače. Použitý odpor  $12\Omega$  je kompromisem mezi citlivostí vertikálního zesilovače a kmitočtovým rozsahem. Na kolektory koncových tranzistorů jsou kromě vychylovacích destiček připojeny přes oddělovací odpory doutnavky, umístěné na čelním panelu, které se rozsvěcují, zvětší-li se napětí na příslušném kolektoru asi na 70 V. Tím se usnadní ovládání osciloskopu tehdy, je-li paprsek z nějakých důvodů „za rohem“.

#### Horizontální zesilovač

Zesilovač (obr. 3) má na vstupu dva emitorové sledovače v Darlingtonové za-

Obr. 3.  
Horizontální  
zesilovač



pojení, což si vynutil generátor časové základny, jehož výstupní odpor je především při velkých rychlostech časové základny značný - zesilovač s malým vstupním odporem by způsobil deformaci napěti pilovitého průběhu. Při použití obvodů horizontálního rozkladu jako zesilovače se vstup přepojuje na běžec potenciometru  $P_3$ , jímž se nastavuje citlivost. Zesilovač je stejnosměrně vázán a nemá obvody pro kompenzaci teplotního driftu (což lze omluvit, neboť jeho zisk a funkce jsou odlišné od vertikálního zesilovače).

Pracovní bod celého zesilovače se nastaví proměnným odporem  $R_{11}$  tak, aby na kolektorech  $T_9$  a  $T_{10}$  bylo shodné napětí. Ostatní části zesilovače jsou podobné obvodům ve vertikálním zesilovači. Signál se odebírá vzhledem k nesymetricky zapojeným destičkám pouze z kolektoru  $T_9$ . Koncové tranzistory musíme chladit, neboť jejich kolektorová ztráta je asi 900 mW.

#### Generátor napěti pilovitého průběhu časové základny

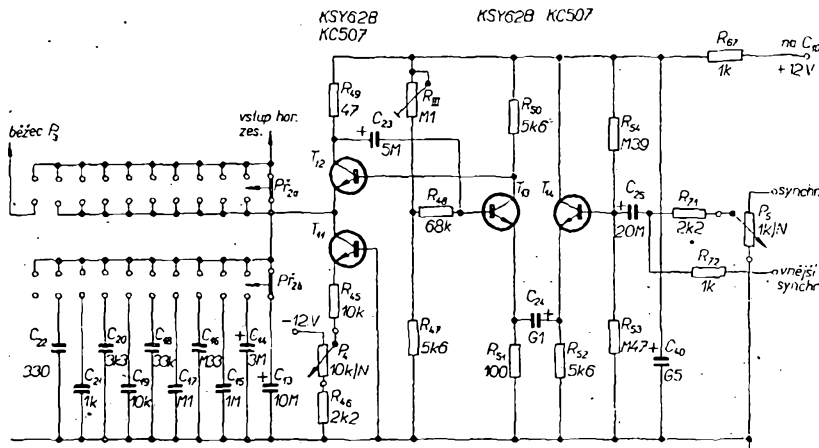
Zdrojem napěti pilovitého průběhu pro horizontální zesilovač je astabilní multivibrátor ( $T_{12}$  a  $T_{13}$ ) se zdrojem konstantního proudu ( $T_{11}$ ), synchronizovaný z vertikálního zesilovače nebo externího zdroje přes oddělovací stupeň ( $T_{14}$ ). Původní schéma, převzaté z [2] bylo upraveno tak, aby se dosáhlo s použitím tranzistoru co nejlepších výsledků (obr. 4). Napěti pilovitého průběhu má vyhovující kvalitu až do kmitočtu 1,8 MHz a je škoda, že koncový zesilovač střídavý. Kromě toho poměrně značná citlivost vertikálního zesilovače vyžaduje minimální zvlnění napájecího

označit za klasické; zapojení je přizpůsobeno přímému spojení vychylovacích destiček s kolektory koncových tranzistorů. Proto má anoda proti zemi asi +45 V (klidové napětí na kolektorech  $T_5$  a  $T_6$ ), a potenciometr  $P_6$ , přes který se napájí katoda obrazovky je připojen na -600 V.

#### Zdroj

Stejnosměrný zesilovač klade podstatně vyšší nároky na kvalitu napájecího napěti (především na stabilitu), než zesilovač střídavý. Kromě toho poměrně značná citlivost vertikálního zesilovače vyžaduje minimální zvlnění napájecího

Obr. 4. Generátor časové základny



napěti. To jsou důvody, které opravdu komplikované zapojení napájecích obvodů osciloskopu (obr. 6). Všechny obvody jsou ovšem zcela běžné a nevyžadují podrobný komentář. Vysoké napěti pro obrazovku se získává zdvojováčem, což se zdá schůdnější a bezpečnější než navijet vinutí na 450 až 500 V. Napěti potřebné k napájení koncového stupně vertikálního zesilovače se stabilizuje stabilizační výbojkou 12TA31 (90 V). Lze použít i typ 11TA31, který je běžnejší. Protože však stabilizuje 155 V, musíme se postarat o ohřev koncových tranzistorů a upravit pracovní bod vertikálních zesilovačů tak, aby na kolektorech bylo asi 75 V. Potom musíme ovšem upravit velikosti odporů  $R_{61}$  a  $R_{62}$  a dělič odporu  $R_{63}$ ,  $R_{64}$  tak, aby v jejich společném bodě bylo napětí asi 75 V. Ekvivalentem 12TA31 by měl být stabilizátor STR 85/10-C. Napěti lze stabilizovat i několika Zenerovými diodami v sérii. V novém katalogu Tesly Rožnov se též objevily Zenerovy diody na napěti od 58 do 96 V, jejichž použití je v daném případě nejvhodnější.

Síťový transformátor je navinut na jádru typu EI, střední sloupek má rozměry 25 x 25 mm. Je třeba věnovat pozornost dobré izolaci žhavicího vinutí, která musí spolehlivě vydržet 700 V.

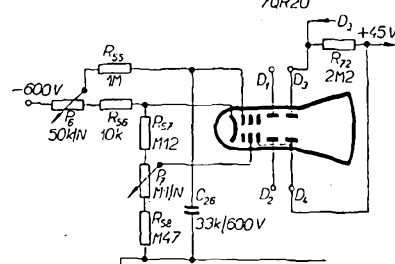
Síťový transformátor má tato vinutí: primár 220 V - 1 540 z, drát o Ø 0,20 mm; sekundár 1 - 250 V - 1 880 z, drát o Ø 0,08 mm; 2 - 220 V - 1 500 z, drát o Ø 0,18 mm; 3 - 2 x 30 V - 2 x 225 z, drát o Ø 0,22 mm; 4 - 6,3 V - 47 z, drát o Ø 0,6 mm.

#### Součástky

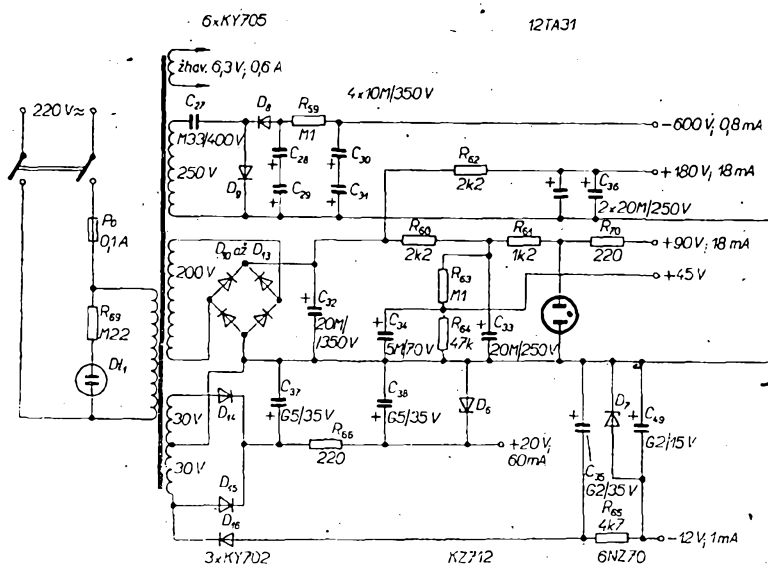
Všechny součástky, použité v přístroji, jsou běžně dostupné v odborných radioamatérských prodejnách. Výjimku tvoří pouze MOSFET KF521, který dosud

Obvody obrazovky

Obvody obrazovky (Obr. 5) je možno



Obr. 5. Obvody obrazovky

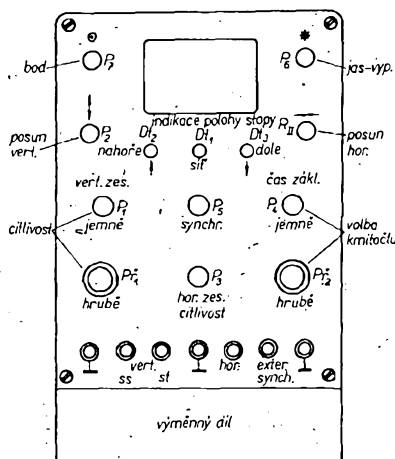


Obr. 6. Napájecí zdroj

není běžně na trhu. Za cenu určitého zhoršení vlastností je zde možno použít i KF520. (Samozřejmě lze použít zahraniční typy jako např. 2N3819, BF244, BF245 apod.). Termistor 3 kΩ v obvodu kolektoru  $T_3$  je tyčinkový termistor (jeho délka je asi 10 mm a  $\varnothing$  asi 3 mm) a je kombinován s normálními odpory tak, aby obvod kolektoru co nejlépe kompenzoval teplotní driftu vertikálního zesilovače. Při návrhu takových obvodů se dobré osvědčí předběžný zjednodušený výpočet, po sestavení a zkouškách se upraví případné odchytky. Tranzistory pro koncový stupeň horizontálního zesilovače je třeba vybrat tak, aby „vydržely“ min. 190 V. V praxi to znamená, že pro tyto stupeň použijeme ze čtyř zakoupených typ, které mají větší  $U_{CE}$ , neboť tuto podmínu splňuje převážná většina tranzistorů KF504.

#### Mechanická koncepce

Při stavbě bylo použito klasického rozmištění ovládacích prvků na předním panelu (obdélník na stojato, obr. 7). Rozložení součástek a dílů je patrné z nákresu destiček s plošnými spoji



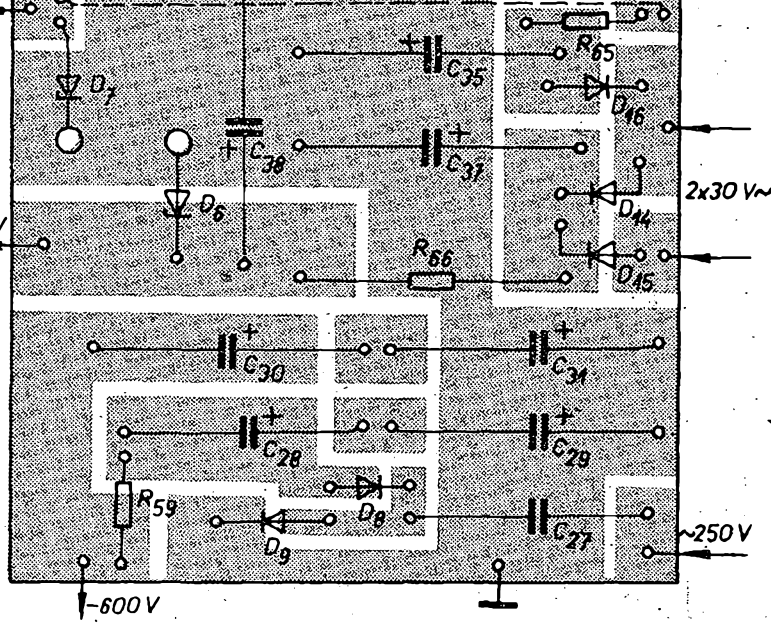
Obr. 7. Čelní panel osciloskopu

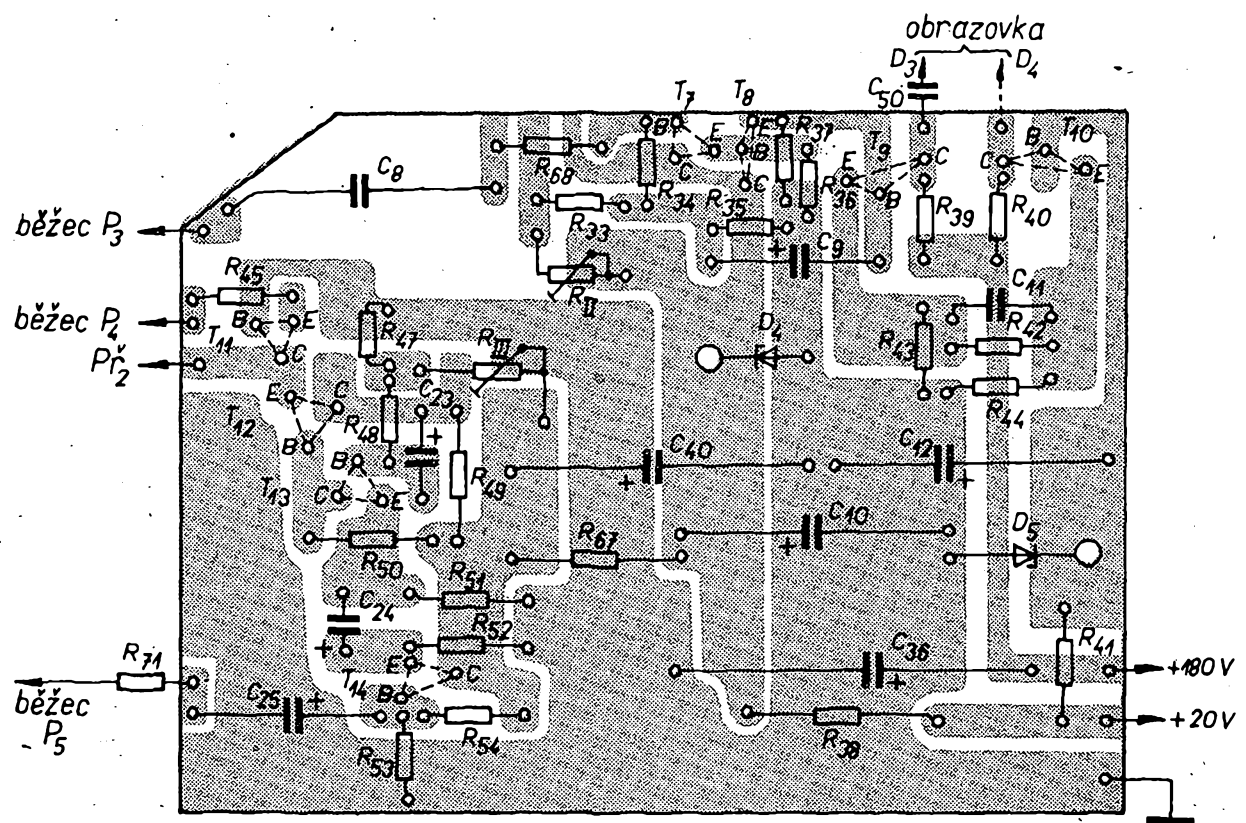
skřínce umístěny podle náčrtku na obr. 11.

Ve spodní části osciloskopu je oddělený prostor s 24pólovým konektorem. Do tohoto prostoru je možno zasouvat výměnný díl. V nejbližší budoucnosti počítáme s konstrukcí této doplňky: elektronický přepinač, kalibrátor, jednoduchý generátor pulsů, jednoúčelové rozmitáče na 450 kHz a 10,7 MHz a diferenciální předzesilovač.

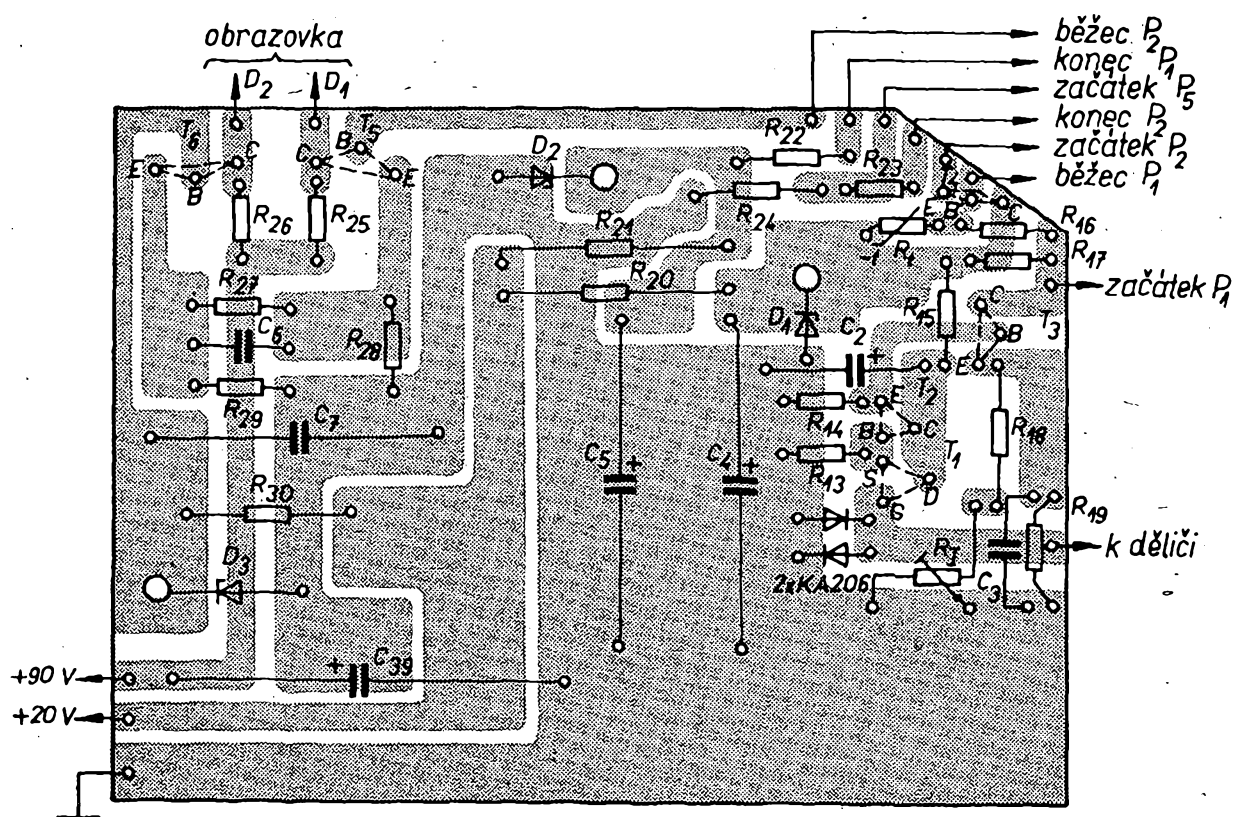
#### Obzření a nastavení přístroje

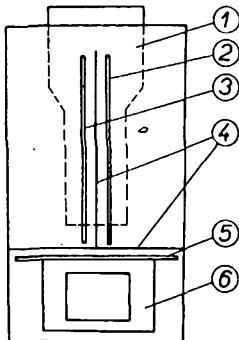
Při uvádění přístroje do provozu je výhodné odděleně vyzkoušet jednotlivé funkční celky a teprve po jejich odzkoušení a předběžném nastavení sestavovat celý přístroj. Při zkoušení zdroje je třeba zatížit jednotlivé větve zdroje tak, aby odběr proudu odpovídal pracovním podmínkám v hotovém přístroji, aby nedošlo k proudovému přetížení stabilizátoru nebo k nadměrnému zvětšení napětí a ohrožení kondenzátorů. Pro zkoušení vertikálního zesilovače je výhodné použít vhodný univerzální napájecí zdroj. Pro správnou funkci zesilovače je třeba, aby Zenerovo napětí diody  $D_2$  bylo o 0,9 V větší než u  $D_3$ . Potom je stopa uprostřed obrazovky při poloze běžce  $P_2$  v polovině dráhy. Trimrem  $R_1$  nastavujeme na kolektoru  $T_3$  stejně napětí, jako je na  $D_2$ . Nepodaří-li se nám napěti





Obr. 9. Destička s plošnými spoji pro horizontální zesilovač a generátor časové základny (Smaragd E 31)





Obr. 11. Rozložení hlavních dílů osciloskopu: 1 – obrazovka, 2 – destička se spoji vertikálního zesilovače, 3 – destička se spoji pro horizontální rozklad, 4 – stínít pěšásky, 5 – destička s plošnými spoji zdroje, 6 – síťový transformátor

nastavit, musíme změnit odpor  $R_{18}$ , popř.  $R_{19}$ . Odchylky mohou být způsobeny především rozdílnými parametry  $T_1$ . Při otáčení potenciometru  $P_1$  (nastavení citlivosti) by měla stopa na obrazovce stát na místě.

Ve skutečnosti se poněkud posouvá nejdříve jedním směrem (asi o 2 mm) a potom zpět, což je způsobeno nepříliš velkým vstupním odporem obvodu s  $T_4$ . Pracovní bod zesilovače se správně nastaví takto: vytocíme běžec  $P_1$  do polohy odpovídající nejmenší citlivosti (směrem k  $D_2$ ). Odpor  $R_{22}$  zkratujeme. Potenciometr  $P_2$  nyní nastavíme tak, aby na kolektorech  $T_5$  a  $T_6$  bylo stejně napětí (asi 46 V).

Z těchto podmínek bude stopa přibližně uprostřed stínítka. Potom vytocíme  $P_1$  na maximální citlivost (běžec bude na napětí kolektoru  $T_3$ ) a trimrem  $R_1$  nastavíme opět stejně napětí na kolektorech  $T_5$  a  $T_6$ . Tím je nastaven pracovní bod celého zesilovače. Toto nastavení je třeba udělat až za určitou dobu po zapnutí přístroje (až se ustálí teplotní poměry uvnitř skřínky). Potom odstraníme zkrat na  $R_{22}$  a změnou  $C_3$  uděláme korekci kmitočtové charakteristiky. Tuto korekci je vhodné nastavovat s konečnou platností až po kompletém smontování (jako součást konečného seřízení osciloskopu).

U horizontálního zesilovače nastavujeme opět stejně napětí na koncových tranzistorech trimrem  $R_{11}$ . Volbou velikosti  $R_{42}$  (zapojeného mezi emitory  $T_9$  a  $T_{10}$ ) nastavíme citlivost zesilovače tak, aby stopa časové základny měla potřebný rozměr. U generátoru časové základny nastavíme optimální průběh pilovitého napětí proměnným odporem  $R_{111}$ . Nakonec kompenzujeme kmitočtovou závislosti vstupního děliče. S výhodou lze k tomu použít zdroj napětí obdélníkového průběhu. Málo kompenzovaný dělič přenáší obdélníky se zaoblenými nábežnými hranami (integruje), překompenzovaný dělič vytvoří na hranač zákmyty (derivuje).

#### Druhá varianta přístroje

Protože se mi podařilo získat malou obrazovku se čtyřhranným stínitkem a souměrným vychylováním (bohužel neznaměrného typu i původu), jejíž použití se zdálo výhodnější (parametry, rozměry, tvar) než použití 7QR20, je konečná verze přístroje poněkud odlišná od původní konstrukce. Vzhledem k lepším výsledkům doporučují připadným zájemcům o stavbu použití inkurantních obrazovek typu LB8, DG7-1 apod., které byly k dostání i v Ústředním radio-

klubu v Braníku a jsou mezi radioamatéry dost rozšířené. DG7-1 byla v přístroji vyzkoušena s úspěchem. Při použití obrazovky se souměrným vychylováním je třeba v přístroji udělat tyto změny:

1. Ve zdroji odpadá  $R_{22}$  a  $C_{38}$ , kolektorové odpory tranzistorů  $T_9$  a  $T_{10}$  se napájejí z bodu společného odporníku  $R_{60}$ ,  $R_{61}$  a  $R_{62}$  (+130 V).
2. Odpory  $R_{39}$  a  $R_{40}$  v kolektorech  $T_9$  a  $T_{10}$  budou 6,8 k $\Omega$ .
3. Odpadá  $R_{70}$  a  $C_{50}$ , vych. destička  $D_3$  se napájí přímo z kolektoru  $T_8$ , destička  $D_4$  z kolektoru  $T_{10}$ .
4. V obvodech obrazovky se změní odpory  $R_{66}$ ,  $R_{67}$  a  $R_{68}$  tak, aby obrazovka správně svítila a ostřila (podle použitého typu obrazovky).
5. Trimr  $R_{11}$  se nahradí potencio-

metrem, kterým lze posouvat obraz v horizontálním směru. Tento ovládací prvek se vyvede na čelní panel.

Přístroj v této verzi vyniká velmi ostrou stopou a lepšími parametry horizontálního rozkladu (časová základna do 1,8 MHz). Ostatní parametry jsou přibližně shodné. Odstranilo se i nebezpečné napěťové a zmenšilo se výkonové namáhání  $T_9$  a  $T_{10}$  tak, že není třeba tranzistory chladit.

#### Literatura

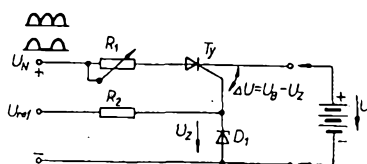
- [1] Žalud, V.: Smíšená zapojení unipolárního a bipolárního tranzistoru. AR 2/69, str. 67.
- [2] Čermák, J.: Měřicí přístroje s tranzistory (generátory pulsů). RK 2/68, str. 47.

## Tyristorová nabíječka akumulátorů

Nabíječky s automatickým přerušením nabíjení po dosažení požadovaného napětí jsou velmi užitečná zařízení a několik jejich zapojení s tranzistory bylo již uveřejněno. Počáteční poměrně vysoká investice se brzy vrátí prodloužením životu baterie a především usnadněním a zjednodušením obsluhy. Zapojení popsána v článku jsou asi tím nejjednodušším řešením pomocí tyristorů. Zapojení jsou po přizpůsobení vhodná prakticky pro jakýkoli nabíjecí proud a pro jakékoli napětí baterie.

#### Princip zapojení

Princip nabíječky je zřejmý z obr. 1. Tyristor řídí jednocestně nebo dvoucestně usměrněný proud do nabíjené baterie. Na jeho řídící elektrodu je při-

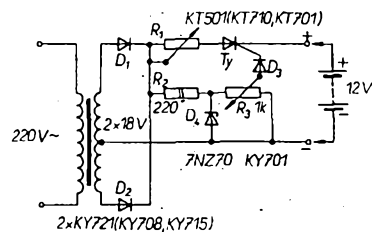


Obr. 1. Princip nabíječky s tyristorem

pojeno referenční napětí, dané napětím Zenerovy diody. Napětí Zenerovy diody je asi o 0,4 V až 0,6 V větší, než konečné požadované napětí akumulátoru. Po nabíjení akumulátoru se zvětší napětí na katodě tyristoru a tyristor nevede. Tím se nabíjení ukončí. Řídící napětí pro Zenerovu diodu může být jak čistě stejnosměrné, tak i půlvalnné nebo celovalnně usměrněné. V případě, že jde o napětí usměrněné půlvalnně, je možno jeho posuvem o 0 až 180° (vzhledem k anodovému napětí tyristoru) řídit nabíjecí proud na počátku nabíjení a dosáhnout tak velmi ekonomického, prakticky bezeztrátového nabíjení. Tím se dosáhne zlevnění provozu, především u nabíječek pracujících s velkými nabíjecími proudy. Mimo to je nabíječka (vzhledem k běžným nabíječkám) univerzálnější a vhodná i pro rychlé nabíjení akumulátorů. Napájecí transformátor může mít i větší napětí na sekundární straně, než je napětí nabíjené baterie. S ohledem na tuto skutečnost a i na rozdílnost nabíjecích proudů různých akumulátorů jsou zapojení dálé v článku popsána tak, aby bylo možno přizpůsobit zapojení nabíjené baterii a danému transformátoru nebo tyristoru.

#### Zapojení A

První zapojení (obr. 2) používá k nabíjení baterie dvoucestně usměrněný proud. Počáteční nabíjecí proud se ovládá výkonovým regulačním odporem



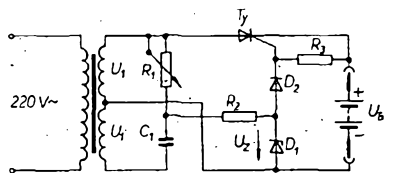
Obr. 2. Zapojení nabíječky s regulací nabíjecího proudu

rem  $R_1$ . Fázové řízení u dvojcestné usměrněného proudu je poměrně složité, chceme-li dosáhnout přijatelného regulačního rozsahu. Je zde nutné předejít velkým ztrátám na regulačním odporu. Je proto vhodné sekundární napětí volit ne větší než 1,5násobek napětí nabíjené baterie. Podle maximálního středního proudu na začátku nabíjení se volí i typ tyristoru. Do 1 A je to tyristor KT501, do 3 A KT710, do 15 A KT701. Pro tyristor KT501 je při plném proudovém zatížení nutný chladič o ploše 25 cm $^2$ ; pro tyristor KT701 chladič 10 × 10 × 0,3 cm z měděného plechu. Zenerova dioda se volí na napětí asi o 0,4 až 0,6 V větší, než je konečné napětí baterie (v důsledku úbytku napětí na přechodu tyristoru a na diodě). Je to tedy pro baterii 6 V Zenerova dioda s napětím asi 7 V, pro baterii 12 V s napětím 13,5 V. Diody není nutno vybírat, je možno použít diody i s poněkud větším Zenerovým

napětím a konečné napětí nabité baterie regulovat potenciometrem. Neosvědčilo se však vedení hřidele regulačního potenciometru na ovládací panel ani použití jedné Zenerovy diody pro nabijecí napětí 6 V a 12 V. Uplatňuje se totiž vnitřní odpor zdroje referenčního napětí a k vypínání-nabíjecky dochází pomaleji. Nabijecí proud se v tomto zapojení reguluje sériovým odporem. Při jeho minimální velikosti nesmí docházet k překročení maximálního dovoleného proudu tyristoru. Diody jsou voleny rovněž s ohledem na velikost maximálního nabijecího proudu. Do 1 A jsou to diody KÝ721, do 10 A KÝ708 a do 15 A KÝ715.

#### Zapojení B

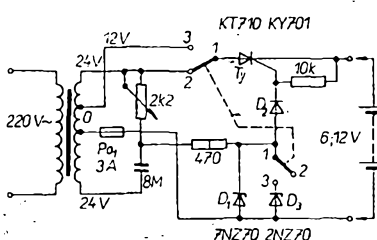
V zapojení na obr. 3 se používá pro nabíjení baterie jednocestně usměrněný proud, aby bylo možné regulovat nabijecí proud posuvem fáze referenčního



Obr. 3. Zapojení nabíječky s regulací nabijecího proudu posuvem fáze referenčního napětí

napětí vzhledem k napětí na anodě tyristoru. Při jednocestném usměrnění je možno měnit proud od nuly až po maximum jednoduchým způsobem. Fáze referenčního napětí se mění v rozmezí 0 až 180°. Tak lze velmi ekonomicky, prakticky bezzátrátově, regulovat počáteční nabijecí proud. Po dosažení konečného napětí baterie tyristor vypíná stejným způsobem, jako v zapojení na obr. 2. Vzhledem k tomu, že nabijecí proud je jednocestně usměrněný a jeho střední hodnota je menší, než u dvoucestného usměrňovače, je nutné zvětšit nabijecí napětí asi na dvojnásobek konečného napětí baterie. Transformátor má sekundární vinutí dimenzováno na maximální nabijecí proud akumulátoru. Druhá polovina vinutí je dimenzována pouze na 0,1 A, což je asi maximální možný proud, tekoucí do řídícího obvodu tyristoru. Fáze řídícího napětí se mění v rozmezí 0 až 180° pouze pro nezatištěný člen RC. Ve skutečnosti je vlivem zátěže (Zenerova dioda a tyristor) poněkud menší. Lze dosáhnout změny úhlu otevření tyristoru v rozmezí 20 až 180°. To reprezentuje změnu nabijecího proudu v rozmezí od nuly až do 95 % maximálního nabijecího proudu při plném otevření tyristoru. Při použití výkonových tyristorů o velkém spínacím proudu je někdy nutné poněkud změnit hodnoty fázovacího obvodu RC pro dosažení požadovaného regulačního rozsahu. Je např. možné zvětšit kapacitu kondenzátoru C na 16 μF, stejně jako zmenšit odpor regulačního potenciometru na polovinu, tedy např. na 1 kΩ. Potenciometr je pak třeba volit na zatížení 3 W.

Nabíječka byla postavena podle obr. 4. Maximální možný nabijecí proud je 3 A při volitelném napětí baterie 6 V a 12 V. Regulace konečného napětí nabijené baterie není použita, i když tato možnost je. Zenerovy diody



Obr. 4. Zapojení univerzální nabíječky do 3 A

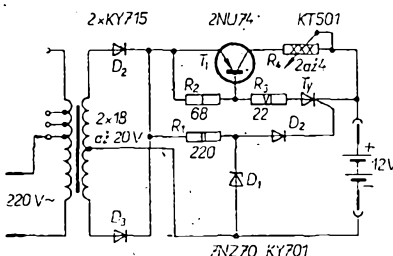
se přepínají podle napěti nabijené baterie. V tomto zapojení postačí nabíječka pro všechny motocyklové baterie a pro většinu akumulátorů pro osobní vozy. Pro větší nabijecí proudy je v tomto zapojení třeba použít dražší tyristor KT701.

#### Zapojení C

V zapojení (obr. 5) se používá tyristor KT501 pro spínání výkonového tranzistoru typu 2 až 7NU74. Tyto tranzistory lze zatížit proudem až 15 A. Tranzistor se v tomto zapojení spíná až do oblasti saturace, takže výkonová ztráta na něm je minimální.

Potíže mohou nastat pouze při snaze o dosažení většího regulačního rozsahu nabijecího proudu. Vzhledem k tomu, že tranzistor spíná vlastně napěťový úbytek na regulačním odporu (přes tyristor), nelze zabezpečit dokonalé spínání tranzistoru ve větším rozsahu odporu regulačního potenciometru. Při malých odporech dochází totiž ke zvětšení úbytku napětí na tranzistoru a tím i k jeho zvětšenému výkonovému zatěžování. Při velkém odporu (více než 8 Ω) bude tyristor přetížen. Proto je nutno volit regulační odpor na základě kompromisu mezi regulačním rozsahem a výkonovou ztrátou na regulačním odporu. Stejně tak je nutno volit s ohledem na velikost proudu tehoucího tyristorem odpor, omezuje tento proud. Odpor se volí tak, aby při minimálním nabijecím proudu ne-překročil proud tyristorem 1 A. Při menších hodnotách regulačního odporu se zvětšuje tepelné zatěžování tranzistoru. Je proto dobré kontrolovat úbytek napětí na tranzistoru voltmetrem. Úbytek napětí by neměl být větší než 1,5 V.

Zapojení bylo vyzkoušeno pro nabijecí proud do 10 A v zapojení podle obr. 5. Při plném proudovém zatížení



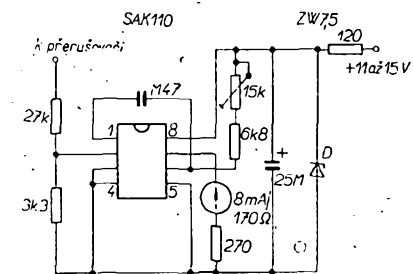
Obr. 5. Zapojení nabíječky s tranzistorem. Regulační rozsah se zvětší odběrkami na primární straně napájecího transformátoru

se tranzistor s chladičem 10 × 10 × 0,3 cm též vůbec nezahříval. Přitom výpínání bylo velmi spolehlivé a oštěre ohrazené. Byl bych proto velmi rád kdyby toto zapojení bylo inspirací pro další pokusy, byť již jenom proto, že vyhovuje požadavací cenu. Vhodné tranzistory se občas vyskytují i ve výprodeji.

## ZE SVĚTA

Integrovaný obvod SAK110 pro měření otáček motoru v automobilech uvedla na trh na výstavě Electronica v Mnichově firma Intermetal. Monolithický obvod v pouzdru z plastické hmoty Mini-DIP s osmi vývody se připojuje vstupem k přerušovači; na výstupu obvodu je připojen miliampérmetr s rozsahem 8 mA, jehož stupnice je cejchována v ot./min. Celý měřicí obvod, jehož schéma je na obrázku, se napájí stejnosměrným napětím 12 V z autobaterie. Nejvyšší řidící kmitočet na vstupu obvodu smí být 10 kHz.

Zvláště pozoruhodnou vlastností nového integrovaného obvodu je velká odolnost proti rušení a nepatrná závislost naměřeného výsledku na změnách napájecího napětí a teploty okolí, tedy na provozních podmínkách, které se v motorových vozidlech velmi mění.



Kromě obvodu SAK110 vyvinul výrobce druhou verzi integrovaného obvodu SAK120, lišící se od prvního typu jen jiným vstupním napětím. Všechny ostatní údaje jsou shodné.

Podle Intermetal G 7045

SZ

\* \* \*

Důsledky krize v americkém elektrotechnickém průmyslu doléhají i na Evropu. Anglický výrobce polovodičových prvků SGŠ, který patří do koncernu italské Olivetti, uzavřel polovinu svého podniku ve Falkirku. Přičinou omezeného provozu jsou nepříznivé jevy v prodeji polovodičových prvků v posledních šesti měsících na anglickém trhu a stupňující se nabídka amerických výrobků. Dřívější velká poptávka a exportní dodávky si vyžádaly provoz 16 hodin denně. Dnes běží výroba jen 12 hodin denně. Celkem 41 mužů a 199 žen bylo propuštěno. Jejich jména jsou sice na seznamu, případně nové přijímaných pracovníků to je však slabá útěcha.

SZ

Electronic Components 9, Oct. 1970

# PŘIPRAVUJEME PRO VÁS

Elektronické varhany Herold  
Konvertovery pro dálkový příjem TV  
Transceiver SSB pro 3,5 MHz

-ška

Typ	Druh	Použití	$U_{CE}$ [V]	$I_C$ [mA]	$h_{FE}$ $h_{FE}$ *	$f_T$ $f_{\alpha^*}$ [MHz]	$T_a$ $T_c$ [°C]	$P_{tot}$ $P_C^*$ max [mW]	$U_{CE}$ max [V]	$I_C$ max [mA]	$T_j$ max [°C]	Pouzdro	Výrobce	Pařice	Náhrada TESLA	Rozdíly						
																$P_C$	$U_C$	$f_T$	$h_{FE}$	Spln. v.	F	
MA3234	SjP	Darl			1 000—5 000		25		35			TO-18	Hu	2	—			>	>	=		
MA4990	SPEn	NFv	28	350	15—80		25		70	60	1,2 A	MT-39	MA	2	KU601 KU602			>	>	=		
MA7805	SjP	Stř	$\Delta U_{BE} < 100 \mu V$			1*	25	400	10	10	100	150	TO-5	Hu	2							
MA7807	SjP	DZ	$\Delta U_{BE} < 100 \mu V$			1*	25	499	15	15	175	TO-5	Hu	—	—							
MA7809	SjP	DZ	$\Delta U_{BE} < 50 \mu V$			1*	25	400	15	15	175	TO-5	Hu	—	—							
MA7811	SjP	Stř	$\Delta U_{BE} < 100 \mu V$			1*	25	400	10	10	100	150	TO-5	Hu	—	—						
MA7816	SjP	Stř	$\Delta U_{BE} < 100 \mu V$			1*	25	400	30	30	100	150	TO-5	Hu	—	—						
MA7817	SjP	Stř	$\Delta U_{BE} < 50 \mu V$			1*	25	400	30	30	100	150	TO-5	Hu	—	—						
MA8001	SPEn	VF, NF	150	> 30		200	25	1W		30		150	TO-5	MEH	2	KF507	<	<	>	<		
MA8002	SPEn	Nixie		40—200		200	25	1W	120	80		150	TP-5	MEH	2	KF503	<	<	>	=		
MA8003	SPEn	VF, NF	100—350			200	25	1W	80	60		150	TO-5	MEH	2	KF508	<	<	<	=		
MAS20	GdSp	VF, Sp	1	20	> 80		> 50*	25	25	6	40	65	TO-1	Ple	2	—						
MAS21	GdSp	VF, Sp	1	20	> 50		> 50*	25	25	6	40	65	TO-1	Ple	2	—						
MAS22	GdSp	VF! Sp	1	20	> 25		> 50*	25	25	6	40	65	TO-1	Ple	2	—						
MAS23	GdSp	VF, Sp	1	20	> 25		> 50*	25	25	6	40	65	TO-1	Ple	2	—						
MC104	Sjn	NF	1	100	15			60	450	60	60	200	150	S	2	KFY34	=	=	>	>		
MC105	Sjn	NF	1	100	15			60	450	100	100	200	150	S	2	KF503	=	<	=	<		
MC106	Sjn	NF	1	100	15			60	450	60	60	300	150	S	2	KFY34	=	>	>	>		
MC107	Sjn	NF	1	100	15			60	450	100	100	300	150	S	2	—						
MCS2135	SEn	VF, NF	5	1	> 80*		> 100	25	150	75	60	50	125	X38	Mot	53	—					
MCS2136	SEn	VF, NF	5	1	> 150*		> 100	25	150	75	60	50	125	X38	Mot	53	—					
MCS2137	SEp	VF, NF	5	1	> 100*		> 100	25	150	60	60	50	125	X38	Mot	53	—					
MCS2138	SEp	VF, NF	5	1	> 300*		> 100	25	150	60	60	50	125	X38	Mot	53	—					
MD420	Gjp	NF			10*			25	60	20	50	65	TO-12	Spr	6	GC515	>	>				
MD501	Gjp	NF	0,5	10	> 20			25	60	15	12	50	75	TO-1	Ple	2	GC507	>	>			
MD501B	Gjp	NF	0,5	10	> 20			25	60	15	12	50	75	TO-1	Ple	2	GC507	>	>			
MD708	SPEn	pár	1	10	40—200		> 300	25	400	40	15	200	200	TO-99	Mot	9	KC510	=	>	<	=	
MD708A	SPEn	DZ	1	10	40—200		> 300	25	400	40	15	200	200	TO-99	Mot	9	KCZ58	=	>	<	=	
MD708AF	SPEn	DZ			$\Delta U_{BE} < 5 \text{ mV}, \Delta h_{FE} = 0,9 - 1$		> 300	25	350	40	15	200	200	TO-89	Mot	65	—					
MD708B	SPEn	DZ	1	10	40—200		> 300	25	400	40	15	200	200	TO-99	Mot	9	KCZ59	=	>	>	=	
MD708BF	SPEn	DZ			$\Delta U_{BE} < 10 \text{ mV}, \Delta h_{FE} = 0,8 - 1$		> 300	25	350	40	15	200	200	TO-89	Mot	65	—					
MD708F	SPEn	pár	1	10	40—200		> 300	25	350	40	15	200	200	TO-89	Mot	65	—					
MD918	SPEn	pár	5	1	> 50*		> 600	25	400	30	15	50	200	TO-99	Mot	9	KC510	=	>	<	=	
MD918A	SPEn	DZ	5	1	> 50*		> 600	25	400	30	15	50	200	TO-99	Mot	9	KCZ59	=	>	<	=	
MD918AF	SPEn	DZ			$\Delta U_{BE} < 5 \text{ mV}, \Delta h_{FE} = 0,9 - 1$		> 600	25	350	30	15	50	200	TO-89	Mot	65	—					
MD918B	SPEn	DZ	5	1	< 50*		> 600	25	400	30	15	50	200	TO-99	Mot	9	KCZ58	=	>	<	=	
MD918BF	SPEn	DZ			$\Delta U_{BE} < 10 \text{ mV}, \Delta h_{FE} = 0,8 - 1$		> 600	25	350	30	15	50	200	TO-89	Mot	65	—					
MD918F	SPEn	pár	5	1	> 50*		> 600	25	350	30	15	50	200	TO-89	Mot	65	—					
MD981	SPEn	pár	10		> 35		> 250	25	600	60	30	500	200	TO-99	Mot	9	—					
MD981F	SPEn	pár	10		> 35		> 200	25	350	60	30	500	200	TO-89	Mot	65	—					
MD982	SPEp	pár	10		> 35		> 200	25	600	60	50	500	200	TO-99	Mot	9	—					
MD982F	SPEp	pár	10		> 35		> 200	25	350	60	50	500	200	TO-89	Mot	65	—					
MD984	SPEp	pár	10		> 25		> 250	25	600	40	20	200	200	TO-99	Mot	9	—					
MD984F	SPEp	pár	10		> 25		> 250	25	350	40	20	200	200	TO-89	Mot	65	—					
MD985	SPEn+p	pár	10		> 35		> 200	25	600	60	30	200	200	TO-99	Mot	48	—					
MD985F	SPEn+p	pár	10		> 35		> 200	25	350	60	30	200	200	TO-89	Mot	65a	—					
MD986	SPEn+p	pár	10		> 25		> 200	25	600	40	15	200	200	TO-99	Mot	48	KFZ57	=	=	<	=	
MD986F	SPEn+p	pár	10		> 25		> 200	25	350	40	15	200	200	TO-89	Mot	65a	—					
MD990	SPEp	pár	150	50—300		> 60	25	600	50	35	60	200	TO-99	Mot	9	—						
MD990	SPEp	pár	150	50—300		> 60	25	600	50	35	60	200	TO-99	Mot	9	—						
MD1120F	SPEn	DZ			$\Delta U_{BE} < 10 \text{ mV}, \Delta h_{FE} = 0,8 - 1$		25	350	60			200	TO-89	Mot	65	—						
MD1121	SPEn	DZ	1	0,1	30—120		25	600	60			200	TO-99	Mot	9	—						
MD1121F	SPEn	DZ			$\Delta U_{BE} < 10 \text{ mV}, \Delta h_{FE} = 0,9 - 1$		25	350	60			200	TO-89	Mot	65	—						
MD1122	SPEn	DZ	1	0,1	30—120		25	600	60			200	TO-99	Mot	9	—						
MD1122F	SPEn	DZ			$\Delta U_{BE} < 5 \text{ mV}, \Delta h_{FE} = 0,9 - 1$		25	350	60			200	TO-89	Mot	65	—						
MD1123	SPEp	DZ	1	0,1	50—200		25	600	60			200	TO-99	Mot	9	—						
MD1123F	SPEp	DZ			$\Delta U_{BE} < 10 \text{ mV}, \Delta h_{FE} = 0,8 - 1$		25	350	60			200	TO-89	Mot	65	—						
MD1124	SPEp	DZ	1	0,1	50—200		25	600	60			200	TO-99	Mot	9	—						
MD1124F	SPEp	DZ			$\Delta U_{BE} < 10 \text{ mV}, \Delta h_{FE} = 0,9 - 1$		25	350	60			200	TO-89	Mot	65	—						
MD1125	SPEp	DZ	1	0,1	50—200		25	600	60			200	TO-99	Mot	9	—						
MD1125F	SPEp	DZ			$\Delta U_{BE} < 5 \text{ mV}, \Delta h_{FE} = 0,9 - 1$		25	350	60			200	TO-89	Mot	65	—						
MD1126	SPEn	pár	1	10	> 30		> 300	25	400	40	15	200	200	TO-99	Mot	9	KC510	=	>	<	=	
MD1127	SPEn	pár	1	10	> 30		> 300	25	400	40	15	200	200	TO-99	Mot	9	KC510	=	>	<	=	
MD1128	SPEn	pár	1	10																		

Typ	Druh	Použití	$U_{CE}$ [V]	$I_C$ [mA]	$h_{FE}$	$f_T$ [MHz]	$T_a$ $T_c$ [°C]	$P_{tot}$ $P_{C^*}$ max [mW]	$U_{CB}$ max [V]	$U_{CE}$ max [V]	$I_C$ max [mA]	$T_j$ max [°C]	Pouzdro	Výrobce	Patice	Náhrada TESLA	Rozdíly						
																	$f_T$	$h_{FE}$	$P_C$	$U_C$	$f_T$	$h_{FE}$	$P_C$
MD1129	SPEn	DZ		0,1	100—300		25	600	60			200	TO-99	Mot	9	—							
MD1129F	SPEn	DZ	$\Delta U_{BE} < 5$ mV, $\Delta h_{FE} = 0,9 - 1$				25	350	60			200	TO-89	Mot	65	—							
MD1130	SPEp	DZ		0,1	100—300		25	600	60			200	TO-99	Mot	9	—							
MD1130F	SPEp	DZ	$\Delta U_{BE} < 10$ mV, $\Delta h_{FE} = 0,9 - 1$				25	350	60			200	TO-89	Mot	65	—							
MD1131	SPEn	pár		1	> 50		25	400	30	15		200	TO-99	Mot	9	KCS10	=	=	=	=	=		
MD1131F	SPEn	pár		1	> 50		25	350	30	15		200	TO-89	Mot	65	—							
MD1132	SPEn	DZ		1	> 50		25	400	60			200	TO-99	Mot	9	—							
MD1132F	SPEn	DZ	$\Delta U_{BE} < 5$ mV, $\Delta h_{FE} = 0,9 - 1$				25	350	60			200	TO-89	Mot	65	—							
MD1133	SPEn	pár	5	150	> 30		25	600	60			200	TO-78	Mot	9	—							
MD1133F	SPEn	pár	5	150	> 30		25	350	60			200	TO-89	Mot	65	—							
MD1134	SPEn	pár		10	> 50		> 500	25	600	40	15		200	TO-99	Mot	9	—						
MD2218	SPEn	pár, Sp	10	150	40—120	> 200	25	600	60	30	600	200	TO-99	Mot	9	—							
MD2218A	SPEn	pár, Sp	10	150	40—120	> 250	25	600	75	40	600	200	TO-99	Mot	9	—							
MD2218AF	SPEn	pár, Sp	10	150	40—120	> 250	25	350	75	40	600	200	TO-89	Mot	65	—							
MD2218F	SPEn	pár, Sp	10	150	40—120	> 200	25	350	60	30	600	200	TO-89	Mot	65	—							
MD2219	SPEn	pár, Sp	10	150	100—300	> 250	25	600	60	30	600	200	TO-99	Mot	9	—							
MD2219A	SPEn	pár, Sp	10	150	100—300	> 300	25	600	75	40	600	200	TO-99	Mot	9	—							
MD2219AF	SPEn	pár, Sp	10	150	100—300	> 300	25	350	75	40	600	200	TO-89	Mot	65	—							
MD2219F	SPEn	pár, Sp	10	150	100—300	> 250	25	350	60	30	600	200	TO-89	Mot	65	—							
MD2369	SPEn	pár, Sp	1	10	40—140	> 500	25	600	40	15	500	200	TO-99	Mot	9	—							
MD2369A	SPEn	DZ	1	10	40—140	> 500	25	600	40	15	500	200	TO-99	Mot	9	—							
MD2369AF	SPEn	DZ	$\Delta U_{BE} < 5$ mV, $\Delta h_{FE} = 0,9 - 1$				> 500	25	350	40	15	500	200	TO-89	Mot	65	—						
MD2369B	SPEn	DZ	1	10	40—140	> 500	25	600	40	15	500	200	TO-99	Mot	9	—							
MD2369BF	SPEn	DZ	$\Delta U_{BE} < 10$ mV, $\Delta h_{FE} = 0,8 - 1$				> 500	25	350	40	15	500	200	TO-89	Mot	65	—						
MD2369F	SPEn	pár, Sp	1	10	40—140	< 500	25	350	40	15	500	200	TO-89	Mot	65	—							
MD2904	SPEp	pár, Sp	10	150	40—120	> 200	25	600	60	40	600	200	TO-99	Mot	9	—							
MD2904A	SPEp	pár, Sp	10	150	40—120	> 200	25	600	60	60	600	200	TO-99	Mot	9	—							
MD2904AF	SPEp	pár, Sp	10	150	40—120	> 200	25	350	60	60	600	200	TO-89	Mot	65	—							
MD2904F	SPEp	pár, Sp	10	150	40—120	> 200	25	350	60	40	600	200	TO-89	Mot	65	—							
MD2905	SPEp	pár, Sp	10	150	100—300	> 200	25	600	60	40	600	200	TO-99	Mot	9	—							
MD2905A	SPEp	pár, Sp	10	150	100—300	> 200	25	600	60	60	600	200	TO-99	Mot	9	—							
MD2905AF	SPEp	pár, Sp	10	150	100—300	> 200	25	350	60	60	600	200	TO-89	Mot	65	—							
MD2905F	SPEp	pár, Sp	10	150	100—300	> 200	25	350	60	40	600	200	TO-89	Mot	65	—							
MD3133	SPEp	pár, Sp	10	150	40—120	> 200	25	600	50	35	600	200	TO-99	Mot	9	—							
MD3133F	SPEp	pár, Sp	10	150	40—120	> 200	25	350	50	35	600	200	TO-89	Mot	65	—							
MD3134	SPEp	pár, Sp	10	150	100—300	> 200	25	600	50	35	600	200	TO-99	Mot	9	—							
MD3134F	SPEp	pár, Sp	10	150	100—300	> 200	25	350	50	35	600	200	TO-99	Mot	65	—							
MD3250	SPEp	pár	1	50—150		> 200	25	600	50	40	50	200	TO-99	Mot	9	—							
MD3250A	SPEp	DZ	$\Delta U_{BE} < 3$ mV, $\Delta h_{FE} = 0,9 - 1$				> 200	25	600	50	40	50	200	TO-99	Mot	9	—						
MD3250AF	SPEp	DZ	1	50—150			> 200	25	350	50	40	50	200	TO-89	Mot	65	—						
MD3250F	SPEp	pár	1	50—150			> 200	25	350	50	40	50	200	TO-89	Mot	65	—						
MD3251	SPEp	pár	1	100—300			> 250	25	600	50	40	50	200	TO-99	Mot	9	—						
MD3251A	SPEp	DZ	$\Delta U_{BE} < 3$ mV, $\Delta h_{FE} = 0,9 - 1$				> 250	25	600	50	40	50	200	TO-99	Mot	9	—						
MD3251AF	SPEp	DZ	1	100—300			> 250	25	350	50	40	50	200	TO-89	Mot	65	—						
MD3251F	SPEp	pár	1	100—300			> 250	25	350	50	40	50	200	TO-89	Mot	65	—						
MD3467	SPEp	pár	500	> 20			> 150	25	600				200	TO-5	Mot	9	—						
MD3467F	SPEp	pár	500	> 20			> 150	25	350				200	TO-89	Mot	65	—						
MD3725	SPEn	pár	100	50—150			> 250	25	600				200	TO-5	Mot	9	—						
MD3725F	SPEn	pár	100	50—150			> 250	25	350				200	TO-89	Mot	65	—						
MD3762	SPEp	pár	1 A	> 20			> 150	25	600				200	TO-5	Mot	9	—						
MD3762F	SPEp	pár	1 A	> 20			> 150	25	350				200	TO-89	Mot	65	—						
MD4957	SPEn	pár	2	20—150			> 1000	25	400				200	TO-5	Mot	9	—						
MD5000	SPEp	DZ	1	3	50 > 20		900	25	400	20	15	50	200	TO-99	Mot	9	—						
MD5000A	SPEp	DZ	1	3	50 > 20		900	25	400	20	15	50	200	TO-99	Mot	9	—						
MD5000B	SPEp	DZ	1	3	50 > 20		900	25	400	20	15	50	200	TO-99	Mot	9	—						
MD5000F	SPEp	DZ	1	3	50 > 20		900	25	400	20	15	50	200	TO-99	Mot	9	—						
MD6001	SPEnp	pár	10	150	40—120		> 200	25	600				200	TO-99	Mot	48	KFZ57						
MD6001F	SPEnp	pár	10	150	40—120		> 200	25	350				200	TO-89	Mot	65a	—						
MD6002	SPEnp	pár	10	150	100—300		> 200	25	600				200	TO-99	Mot	48	KFZ57						
MD6002F	SPEnp	pár	10	150	100—300		> 200	25	350				200	TO-89	Mot	65a	—						
MD6100	SPEnp	pár	5	0,1	> 100		> 200	25	600				200	TO-99	Mot	48	KFZ57						
MD8001	SPEn	DZ	10	1	> 100		25	600				200	TO-5	Mot	9	KCZ58	<	<	<	<			

Typ	Druh	Použití	$U_{CE}$ [V]	$I_C$ [mA]	$h_{11E}$ $h_{11e^*}$	$f_T$ $f_{\alpha^*}$ [MHz]	$T_a$ $T_c$ [°C]	$P_{tot}$ $P_C^*$ max [mW]	$U_{CE}$ max [V]	$U_{CE}$ max [V]	$I_C$ max [mA]	$T_1$ max [°C]	Pouzdro	Výrobce	Patice	Náhrada TESLA	Rozdíly							
																	$P_C$	$U_C$	$f_T$	$h_{11}$	$Spln.$	$V_L$	$F$	
2N320	Gjp	NF, Sp	1	20	34—65*	2,5 > 1,5*	25	225	25	20	200	85	TO-5	GE, Mot	2	GC516	<	>	<	=				
2N321	Gjp	NF, Sp	1	20	53—121*	3 > 2*	25	225	25	20	200	85	TO-5	GE, Mot	2	GC517	<	>	<	=				
2N322	Gjp	NF, Sp	1	20	34—65*	2 > 1*	25	225	18	18	200	85	TO-5	GE, Mot	2	GC515	<	>	<	=				
2N323	Gjp	NF, Sp	1	20	53—121*	2,5 > 1,5*	25	225	18	18	500	85	TO-5	GE, Mot	2	GC516	<	>	<	=				
2N324	Gjp	NF, Sp	1	20	72—198*	3 > 2*	25	225	18	18	500	85	TO-5	GE, Mot	2	GC517	<	>	<	=				
2N325	Gjp	NFv	1	1 A	35	0,15*	25	7 W	35	35	2 A	85	MD9	Syl	31	OC26	=	=	=	=				
2N326	Gjn	NFv	1	500	30—60	0,15*	25	7 W	35	35	2 A	85	TO-3	Syl, KSC	31	—								
2N327	Sjp	NF	6	1	14*	0,3*	25	337	40	50	150			Ray, TI	KFY16		>	>	>	>				
2N327A	Sjp	NF	0,5	3	9—22*	0,2*	25	400	50	40	50	200	TO-5	Ray, Tad	2	KFY16	>	>	>	>				
2N327B	Sjp	NF	0,5	0,1	14*	> 2*	25	400	50	40	100	150	TO-5	Ray, TI	2	KFY16	>	>	>	>				
2N328	Sjp	NF	6	1	24*	0,35*	25	337	30	50	150	TO-5		Spr, TI	KP517		>	=	>	=				
2N328A	Sjp	NF	0,5	3	18—44*	0,3*	25	400	50	35	50	200	TO-5	Ray, Tad	2	KFY16	>	>	>	=				
2N328B	Sjp	NF	0,5	0,1	28*	> 3*	25	400	50	35	100	150	TO-5	Ray, Spr	2	KFY16	>	>	>	=				
2N329	Sjp	NF	6	1	50*	> 0,6*	25	337	20	50	200	TO-5		Ray	KP517A KFY16		>	<	>	=				
2N329A	SPp	NF	0,5	3	36—88*	> 0,3*	25	400	50	30		200	TO-5	Spr, TI	KFY16		>	>	>	=				
2N329B	Sjp	NF, VF	0,5	0,1	36—88*	> 5*	25	400	50	30	100	200	TO-5	Spr, TI	KFY16		>	>	>	=				
2N330	Sjp	NF	6	1	30*	> 0,5*	25	337	20	50	200	TO-5		Ray	KF517		>	=	>	=				
2N330A	Sjp	NF	5	3	25*	> 0,5*	25	385	50	30	100	160	TO-5	Spr	KFY16		>	>	>	=				
2N331	Gjp	NF	6	1	30—70*	1,1 > 0,4*	25	150	30	30	200	100	TO-9	GI, Mot	2	GC516	=	=	=	=				
2N332	Sjn	NF	5	1	9—20*	> 4*	25	150	45		25	175	TO-5	TI, NSC	KC507		>	=	>	>				
2N332A	Sjn	NF	5	0,1	9—22*	> 2,5*	25c	500	45	45		175	TO-5	GE, TI	KC507		<	=	>	>				
2N333	Sjn	NF	5	1	20—40	> 4*	25	150	45		25	175	TO-5	TI, NSC	KC507		>	=	>	>				
2N333A	Sjn	NF	5	0,1	18—40*	> 2,5*	25c	500	45	45		175	TO-5	TI, NSC	KC507		<	=	>	>				
2N334	Sjn	NF, VF	5	1	20—40*	> 10*	25	150	45		25	175	TO-5	TI, NSC	KC507		>	=	>	>				
2N334A	Sjn	NF, VF	5	0,1	18—90*	> 8*	25c	500	45	45		175	TO-5	TI, NSC	KC507		<	=	>	>				
2N335	Sjn	NF	5	1	36—90*	> 4*	25	150	45		25	175	TO-5	TI, NSC	KC507		>	=	>	>				
2N335A	Sjn	NF	5	0,1	36—39*	> 2,5*	25c	500	45	45		175	TO-5	TI, NSC	KC507		<	=	>	>				
2N335B	Sjn	NF, VF	5	1	52*	13*	25c	500	60	60	25	175	TO-5	NSC, GE	KF506		>	>	>	=				
2N336	Sjn	NF	5	0,1	76—333*	> 2*	25	150	45		175	TO-5	TI, NSC	KC507		>	=	>	=					
2N336A	Sjn	NF	5	0,1	76—333*	> 2,5*	25c	500	45	45		175	TO-5	TI, NSC	KC507		<	=	>	=				
2N337	Sjn	Sp	5	10	20—55	> 10*	25	125	40		20	150	TO-5	TI, GE	KF507		>	=	>	=				
2N337A	Sja	Sp	5	10	40—55	> 15*	25c	500	45	45		175	TO-5	GE, Tr	KF507		<	=	>	=				
2N338	Sdfn	Sp	5	10	45—150	30 > 20*	25	125	45		20	150	TO-5	TI, GE	KFY43		>	>	>	=				
2N338A	Sdfn	Sp	5	10	45—150	> 25*	25c	500	45	45		175	TO-5	GE	KFY34		<	>	>	=				
2N339	SPn	NF, VF	10	5	9—99*	10*	25	1 W	55	55		175	TO-11	TI, Tr	KF506		=	>	>	=				
2N339A	SPn	NF, VF	10	50	20—80	10*	100c	3 W	60	60		175	TO-11	Tr	KF506		<	>	>	=				
2N340	SPn	NF, VF	10	5	9—99*	10*	25	1 W	85	85		175	TO-11	TI, Tr	KF506		=	<	>	=				
2N340A	SPn	NF, VF	10	50	20—80	10*	100c	3 W	85	85		175	TO-11	Tr	KF506		<	<	>	=				
2N341	SPn	NF, VF	10	5	9—99*	10*	25	1 W	125	85		175	TO-11	TI, Tr	KF504		<	>	>	=				
2N341A	SPn	NF, VF	10	50	20—80	10*	100	3 W	125	100		175	TO-11	Tr	KF504		<	>	>	=				
2N342	SPn	NF, VF	10	5	9—32*	25	1 W	60	60	60		175	TO-11	TI, Tr	KF506		=	>	>	>				
2N342A	SPn	NF, VF	10	5	9—32*	100c	3 W	85	85	60		175	TO-11	TI, Tr	KF506		<	<	>	>				
2N342B	SPn	NF, VF	10	5	9—32*	6*	25	750	85	85	60		175	TO-11	Tr	KF506		=	<	>	>			
2N343	SPn	NF, VF	10	5	29—90*	25	1 W	60	60	60		175	TO-11	Tr, TI	KF506		=	>	>	=				
2N343A	SPn	NF, VF	10	5	28—90*	6*	25c	1 W	60	60	60		175	TO-11	Tr	KF506		=	>	>	=			
2N343B	SPn	NF, VF	10	5	28—90*	25c	1 W	60	60	60		175	TO-11	Tr	KF506		=	>	>	=				
2N344	Gdfp	VF	3	0,5	11—33*	> 50*	25	20	5	5	5	85	TO-24	Spr	8	OC170	>	>	=	=	>			

Typ	Druh	Použití	$U_{CE}$ [V]	$I_C$ [mA]	$h_{FE}$ $h_{FE^*}$	$f_T$ $f_{\alpha^*}$ [MHz]	$T_a$ $T_c$ [°C]	$P_{tot}$ $P_{C^*}$ max [mW]	$U_{CB}$ max [V]	$U_{CE}$ max [V]	$I_C$ max [mA]	$T_{max}$ [°C]	Pouzdro	Výrobce	Paice	Náhrada TESLA	Rozdíly				
																	$P_C$	$U_C$	$f_T$	$h_{FE}$	Spln. v.
2N345	Gdfp	VF	3	0,5	25—110*	> 50*	25	20	5	5	5	85	TO-24	Spr	8	OC170	>	>	=	=	
2N346	Gdfp	VFv	3	0,5	> 10*	> 75*	25	20	5	5	5	85	TO-24	Spr	8	OC170 ykv	>	>	=	=	>
2N347	Sjn	NF	5		49*	3*	25	750	60		60	150		Bog		KF506	=	>	>	>	
2N348	Sjn	NF	5		24*	3*	25	750	90		50	150		Bog		KF503	=	>	>	>	
2N349	Sjn	NF	5		19*	3*	25	750	125		40	150		Bog		KF504	=	>	>	>	
2N350	Gjp	NFv	700	20—60			25	10 W	50	40	3 A	100	TO-3	Mot, KSC	31	4NU73	=	=	=	=	
2N350A	Gjp	NFv	700	20—60	0,005*	25	90 W	50	40	3 A	100	TO-3	Mot, KSC	31	4NU73 2NU74	<	>	=	=		
2N351	Gjp	NFv	2	700	25—90	0,006*	25	10 W	50	40	3 A	100	TO-3	Mot, KSC	31	4NU73	=	=	=	=	
2N351A	Gjp	NFv	2	700	25—90	0,005*	25	90 W	50	40	3 A	100	TO-3	Mot, KSC	31	4NU73 2NU74	<	<	=	=	
2N352	Gjp	NFv	1,5	1 A	30—140	> 0,01*	75	7 W		40	2 A	100		Ph		4NU73	>	>	>	<	
2N353	Gjp	NFv	1,5	1 A	40—150	> 0,007*	75	10 W		40	2 A	100		Ph		4NU73	>	>	>	<	
2N354	Sjp	VF	6	1	18*	> 15*	25	150		25	50			Ph		KF517	>	=	>	=	
2N356	Gjn	Sp	0,25	100	20—50	> 3*	25	100	20	18	500	85	TO-5	GI, RCA	2	—					
2N356A	Gjn	Sp	0,25	100	20—50	> 3*	25	150	30	20	500	85	TO-5	GI	2	—					
2N357	Gjn	Sp	0,25	200	25—75	> 6*	25	100	20	15	500	85	TO-5	GI, RCA	2	—					
2N357A	Gjn	Sp	0,25	200	25—75	> 6*	25	150	30	20	500	85	TO-5	GI	2	—					
2N358	Gjn	Sp	0,25	300	20—50	> 9*	25	100	20	12	500	85	TO-5	GI, RCA	2	—					
2N358A	Gjn	Sp	0,25	300	25—75	> 9*	25	150	30	15	500	85	TO-5	GI	2	—					
2N359	Gjp	NF	1	50	200	3,5*	25	170	25	18	200	85	TO-5	amer	2	GC508	=	>	<	=	
2N360	Gjp	NF	1	50	100	2,5*	25	170	32	30	200	85	TO-5	amer	2	GC508	=	=	<	=	
2N361	Gjp	NF	1	50	25—75	2,5*	25	170	32	30	200	85	TO-5	Ray	2	GC507	=	=	<	=	
2N362	Gjp	NF	6	1	90*	2*	25	170	25	18	100	85	TO-5	amer	2	GC518	<	=	=	=	
2N363	Gjp	NF	6	1	50*	1,5*	25	170	32	30	100	85	TO-5	amer	2	GC516	<	=	=	=	
2N364	Gjn	VF	5	1	> 15*	2,5*	25	150	30		50	85	OV9	amer	1	155NU70	<	<	>	=	
2N365	Gjn	VF	5	1	> 34*	3*	25	150	30		50	85	OV9	amer	1	155NU70	<	<	>	=	
2N366	Gjn	VF	5	1	95*	3,5*	25	150	30		50	85	OV9	amer	1	155NU70	<	<	>	=	
2N367	Gjp	NF	5	1	19*	> 0,3*	25	150	30	25	75	85	TO-5	amer	2	GC515	=	=	=	=	
2N368	Gjp	NF	5	1	49*	> 0,4*	25	150	30	25	75	85	TO-5	amer	2	GC516	=	=	=	=	
2N369	Gjp	NF	5	1	95*	1,3*	25	150	30		50	85	TO-5	amer	2	GC517	=	=	=	=	
2N370	Gdfp	VF	12	1	60*	> 30*	25	80	20		10	85	TO-7	RCA	42	OC170	=	=	>	=	
2N370/33	Gdfp	VF	12	1	107*	30*	25	80	24		10	85	TO-33	Syl	6	OC170	=	<	>	=	
2N371	Gdfp	VF	12	1	60*	> 30*	25	80	20		10	85	TO-7	RCA	42	OC170	=	=	>	=	
2N371/33	Gdfp	VF	12	1	97*	30*	25	80	24		10	85	TO-33	Syl	6	OC170	=	<	>	=	
2N372	Gdfp	VF	12	1	60*	> 30*	25	80	20		10	85	TO-7	RCA	41	OC170	=	=	>	=	
2N372/33	Gdfp	VF	12	1	97*	30*	25	80	24		10	85	TO-33	Syl	6	OC170	=	<	>	=	
2N373	Gdfp	VF	12	1	60*	> 30*	25	80	25		10	85	TO-7	RCA	42	OC170	=	<	>	=	
2N374	Gdfp	VF	12	1	60*	> 30*	25	80	25		10	85	TO-7	RCA	42	OC170	=	<	>	=	
2N375	Gjp	NFv	4	1 A	35—90	0,007*	25	90 W	80	60	3 A	100	TO-3	Mot, KSC	31	6NU74	<	>	=	=	
2N376	Gjp	NFv	2	700	35—120	0,006*	25	10 W	50	40	3 A	100	TO-3	Mot, KSC	31	4NU73	=	=	=	<	
2N376A	Gjp	NFv	2	700	35—120	0,005*	25	90 W	50	40	3 A	100	TO-3	Mot, KSC	31	2NU74 3NU74	<	=	=	=	
2N377	Gjn	Sp	0,5	30	40	> 6*	25	150	40	20	200	85	TO-5	GI, TI	2	—					
2N377A	Gjn	Sp	0,75	200	> 20	> 6*	25	150	40	40	200	85	TO-5	GI	2	—					
2N378	Gjp	NFv	2	2 A	15—40	0,005*	25	50 W	40	20	5 A	100	TO-3	Mot, KSC	31	2NU74	>	>	=	=	
2N379	Gjp	NFv	2	2 A	20—90	0,005*	25	50 W	80	40	7 A	100	TO-3	Del, KSC	31	6NU74	>	>	=	=	
2N380	Gjp	NFv	2	2 A	20—90	0,008*	25	50 W	60	30	7 A	100	TO-3	Del, KSC	31	4NU74	>	>	=	=	
2N381	Gjp	NF	5	20	35—65*	> 3*	25	225	50	25	400	85	TO-5	Mot	2	GC507	<	<	<	=	
2N382	Gjp	NF, VF	5	20	60—95*	> 4*	25	225	50	25	400	85	TO-5	Mot	2	—					
2N383	Gjp	NF, VF	5	20	75—120*	> 5*	25	225	50	25	400	85	TO-5	Mot	2	—					
2N384	Gdfp	VFv	12	1,5	20—175*	250 > > 100*	25	120	30	30	10	85	TO-44	RCA, CSF	2	GF506 OC170 ykv	<	<	>	=	
2N384/33	Gdfp	VFv	12	1,5	60*	> 100*	25	120	40	40	10	85	TO-33	Syl	6	OC170 ykv	<	<	=	=	
2N385	Gjn	VF, Sp	0,75	30	60	> 6*	25	150	25	25	200	85	TO-5	GI	2	GS507	<	<	>	=	
2N385A	Gjn	VF, Sp	0,5	30	70	> 8*	25	150	40	15	200	85	TO-5	GI	2	—					
2N386	Gjp	NFv	1,5	2,5 A	60 > 20	0,7*	75c	12,5 W	60	60	3 A	100	TO-27	Ph		5NU73	=	=	=	=	
2N387	Gjp	NFv	1,5	2,5 A	35 > 20	0,6*	75c	12,5 W	80	80	3 A	100	TO-27	Ph		7NU73	=	=	=	=	

# Konvertory pro dálkový příjem TV

Ing. R. Libal

Zahájením vysílání druhého TV programu v minulém roce došlo k částečnému zaplnění televizních kanálů ve IV. a V. pásmu. Tím se značně zvětšily nároky na obvodovou techniku všech ustupných obvodů televizních přijímačů, větřné antén, napájecí, u předzesilovačů, tunerů a konvertorů. Vzhledem k tomu, že sít druhého programu bude u nás v ČSSR budována postupně, uznali problém, jak přijímat druhý program v místech, kde podmínky pro příjem nejsou ideální. V poslední době se objevily na našem vnitřním trhu konvertoře, které částečně splňují podmínky jakostního dálkového příjmu. Zároveň bylo v odborných časopisech uverejněno několik návodů na stavbu amatérských konvertorů, více či méně zdafilých. Většina téhoto amatérských postavených měničů kmitočtu lze bohužel zařadit do nižší jakostní třídy – nesplňují totiž základní podmínky dobrého příjmu, jako je šířka pásma, činitel zpětného využívání, stabilita kmitočtu, požadovaný velký zisk v uvedeném pásmu atd.

Konvertor, popisovaný v tomto článku, by měl zaplnit uzníkou mezeru a poskytnout náměst pro náročné a technicky vyspělé amatéry k zhotovení konvertoru, který by využíval pro dobrý příjem i v místech, kde doposud běžné typy nevyužívaly.

Základní otázkou dálkového příjmu je, kde a za jakých podmínek lze přijímat signál s přijatelnou rozlišovací schopností. Odpověď na tuto otázkou bývá velmi problematická a prakticky nikdy není jednoznačná. Omezíme-li tyto úvahy na vysílání druhého TV programu vysílače Petřín, který má výkon nosné obrazu 16 kW, lze definovat jako „dálkový“ příjem z hříbu ve vzdálenosti 30 až 50 km od anténního systému vysílače. Minimální signál, zajišťující jakostní příjem, je potom dán v místě příjmu poměrem užitečného signálu k šumu. Zároveň je však důležité, přichází-li k anténě signál, v němž převládá složka tvořená troposférickým rozptylem, nebo převažuje-li signál přízemní vlny. V prvním případě je příjem značně nestabilní a kolísá. Velmi podobně byl rozebrán tento problém v článku v AR 8/68; článek byl zároveň podložen praktickými zkoušenostmi.

Jelikož televizní signál obsahuje v úrovni bílé jen asi 10 % hlboké modulace, bude při  $Q' = 10$  ( $Q' = s/\bar{s}$ ) intenzita šumu rovná intenzitě signálu a intenzitu šumu bude převyšovat desetinásobná intenzita signálu jen v úrovni synchronizačních pulsů. Z tohoto důvodu je pro kvalitní televizní příjem nutný podstatně větší poměr signál - šum [1], [2], minimálně  $Q' = 30$ , tj. 30 dB. Uvažujeme-li dále, že šumové číslo TV přijímače je v průměru asi  $F = 8 \text{ kT}_0[W/Hz]$  a impedance televizního svedu  $Z = 300 \Omega$ , vychází

$U_{\text{sum}} = \sqrt{F4kT_0R\Delta f} \doteq 15 \cdot 10^{-6} \text{ V},$   
kde  $U_{\text{sum}}$  je velikost šumového napětí,  
 $F$  šumové číslo přijímače.

$k T_0$  konstanta (součin Boltzmannovy konstanty a absolutní teploty,  $4 \cdot 10^{-21} \text{ W/Hz}$ ),

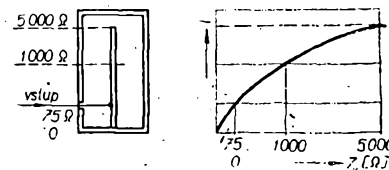
$R = Z$  charakteristická impedance svodu [ $\Omega$ ] a

Potom pro odstup s/s 30 dB je mini-

mální vstupní signál 450  $\mu$ V. K tomuto „prahovému napětí“ přijímače je však ještě nutné uvažovat jednotlivé ztráty, vznikající v anténním svodu a přizpůsobovacích členech. Pro názornost – na kmitočtu  $f = 500$  MHz dojde ve 100 m dlouhém novém televizním svodu k těmtoto ztrátám: plochá televizní dvoulinka 12 dB, VFSV515 5 dB; po jednom roce se potom tyto ztráty zvětšují, v prvním případě na -27 dB a u VFSV515 na 17 dB.

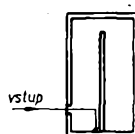
toru lze vliv na impedanci vstupního obvodu zanedbat (obr. 1).

Při galvanickém spojení se však zničenou naladění mění průběh exponenciální-



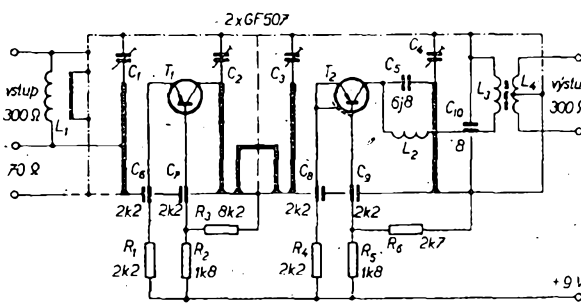
Obr. 1. Galvanická vazba

ly, udávající rozložení proudu stojaté vlny a tím současně i vstupní impedančce, což způsobuje zvětšení stojatých vln na vedení. Z tohoto důvodu se na vstupu někdy používá impedanční přizpůsobení vazební smyčkou (obr. 2). Přiblížováním nebo oddalováním smyč-



Obr. 2: Vazba vazební smyčkou

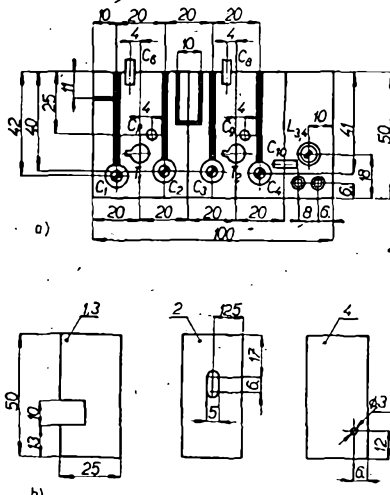
ky lze měnit stupeň vazby, zmenšovat nebo zvětšovat ve větší míře impedanci rezonátoru, aniž bychom zatěžovali vstupní obvod. V prvním stupni je tranzistor  $T_1$  zapojen jako vf zesilovač se společnou bází. Vf uzemnění je zajištěno v obou stupních průchodkovými kondenzátory 1 až 2,2 nF. Signál se přivádí na laděný obvod a přes vazební smyčku přechází na emitor  $T_1$ , jenž ho zesílí. Výstup zesilovače je připojen na laděnou pásmovou propust, která zajišťuje potřebnou šířku přenášeného pásma a zamezuje zpětnému vyzářování oscilátoru do antény. Druhý stupeň, kmitající směšovač, je osazen tranzistorem  $T_2$  a zapojen také se společnou bází. Emitor je spojen se stíněným pouzdrom tranzistoru. Smyčkou v emitoru je zajištěna volná vazba s pásmovou propustí. V kolektoru  $T_2$  je zapojen obvod oscilátoru, laděný kondenzátorem  $C_4$ . Primární vinutí výstupního transformátoru  $L_3$  je ke směšovači připojeno přes dolní propust  $C_{10}$  a  $L_2$ . Sekundární vinutí transformátoru  $L_4$  na výstupu je potom symetrické s výstupní impedancí 300  $\Omega$ . Nastavení pracovních bodů tranzistorů zajišťují odpory  $R_1$  až  $R_6$  (obr. 3).



Obr. 3. Schéma konvertoru

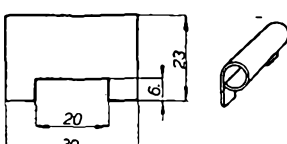
## Mechanické provedení

Krabička konvertoru je z mosazného nebo měděného plechu tloušťky 0,5 mm. Pro lepší  $Q$  laděných obvodů je vhodné plech postříbit (minimální vrstva 5 až 10  $\mu\text{m}$ ). Třemi přepážkami ze stejného materiálu rozdělíme krabičku na pět stejných rezonátorů (obr. 4). Udávané rozměry je nutné dodržet (vzhledem k použitým kondenzátorům) s minimální



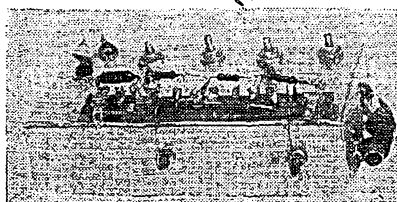
Obr. 4. Mechanické uspořádání konvertoru (a) a přepážky (b)

přesnosti 5 %. Důkladné propojení všech mechanických spojů je základní podmínkou pro správnou činnost konvertoru. Indukčnosti rezonančních obvodů lze poměrně lehce zhodnotit z postríbených trubiček od náplní kulíkových per nebo z měděného drátu o  $\varnothing$  2 až 3 mm. Průchody na vstupu a výstupu lze použít ze starých krabičových kondenzátorů TCI24 nebo WK72340. Vzhledem k tomu, že průchodek kondenzátor  $C_{10}$  (8 pF) není na našem trhu, lze jej nahradit skleněnou průchodek s kondenzátem proti zemi. Průchodek kondenzátoru  $C_6$  až  $C_9$  jsou typu 2,5TK480. Mechanické provedení plechového jádra vstupní smyčky vinutí je na obr. 5.



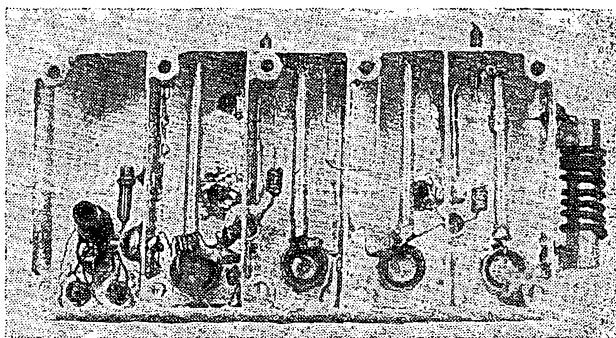
Obr. 5. Jádro symetrického členu

Na vrchní stranu krabičky je nutné umístit lištu pro uchycení odporů, zajišťujících se napájení. Nejjednodušší konstrukce je na obr. 6. Pertinaxová nebo keramická lišta je upevněna šrouby a maticemi M3. Rozmístění součástek uvnitř konvertoru je názorně vidět na obr. 7.



Obr. 6. Vnitřní uspořádání součástek

Obr. 7. Vnitřní uspořádání součástek



Nakonec jedno důležité upozornění. Všechny přepážky rezonátorů musí mít kontakt s vikem krabičky. Proto na každou přepážku připájíme dva kontakty (v našem případě jsou to připájené maticy), které požadované spojení zajistí. V případě špatného kontaktu vznikají parazitní vazby mezi jednotlivými rezonátoři a tím dojde k rozkmitání celého konvertoru.

## Nastavení konvertoru

Správné nastavení konvertoru do požadovaného pásmá je nejobtížnější práce z celé stavby. Zde záleží na individuálních možnostech každého jednotlivce. Po kontrole všech spojů připojíme se napětí a nastavíme správné pracovní body tranzistorů ( $T_1: I_C = 0,5$  až 1 mA;  $T_2: I_C = 1$  až 1,5 mA). Pro sladování je nevhodnější použít dvě ploché baterie a po připojení k televiznímu přijímači vyměnit tento zdroj za Zenerovou diodu, kterou lze připojit na napájecí napětí tuneru přes srážecí odpor. Dotykem prstu na kondenzátor  $C_4$  se přesvědčíme, zda oscilátor kmitá. Kmitá-li, projeví se to malou změnou výchylky na miliampermetru v přívodu napájecího napětí. Čím větší je změna, tím lépe oscilátor kmitá. Potom nastavíme absorpnění vlnoměrem oscilátor na požadovaný kmitočet (podle toho, na jaký kanál chceme signál UKV převádět). Z hlediska citlivosti televizního přijímače je nevhodnější 2. kanál. V pražském kraji se nedoporučuje používat 3. a 7. kanál, které jsou již obsazeny. Aby nedošlo k obrácení spektra TV signálu, musí oscilátor vždy kmitat o kmitočet TV kanálu níže:

$$f_{osc} = f_{vst} - f_{výst},$$

kde  $f_{osc}$  je požadovaný kmitočet oscilátoru,

$f_{vst}$  střední kmitočet přijímaného kanálu a

$f_{výst}$  střední kmitočet kanálu, na který chceme signál přijímaného kanálu přenáset.

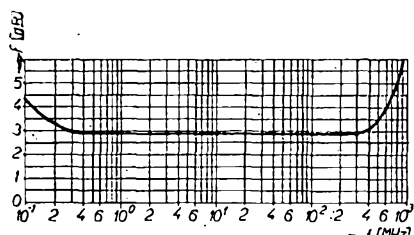
Kmitá-li oscilátor na vyšším kmitočtu i při maximální kapacitě trimru  $C_4$ , což je někdy důsledek malé zpětnovazební kapacity tranzistoru, zvětšíme ladící rozsah přidáním paralelního kondenzátoru 1 až 2 pF ke kondenzátoru  $C_4$ . Po nastavení oscilátoru je nutné naladit vstupní předzesilovač na střed pásmá 24. kanálu (Petřín). Je několik možností jak nastavit tento stupeň. Nejideálnější je, máme-li možnost připojit celý konvertor na polyskop. Není-li však k dispozici, lze stupeň (alespoň přibližně) nastavit tak, že odpojíme oscilátorový obvod (kondenzátor  $C_5$ ) a na vstup připojíme libovolný generátor,

pracující na kmitočtu v okolí 500 MHz. Sondu elektronkového voltmetu BM 386 připojíme na emitor  $T_2$  a nastavíme maximální výchylku měřidla trimry  $C_1$ ,  $C_2$  a  $C_3$ . Je nutné si však uvědomit, že pro jakostní obraz musíme naladit pásmovou propust (laděnou kondenzátory  $C_2$  a  $C_3$ ) na minimální šířku pásmá 6,5 MHz při poklesu 3 dB. To vyžaduje nastavování propustné křivky zesilovače při stálém rozložení vstupního generátoru o uvedený kmitočet 6,5 MHz. Toto nastavení je však pouze přibližné, protože připojením sondy elektronkového voltmetu na emitor  $T_2$  a odpojením kondenzátoru  $C_5$  zavádíme do výstupního obvodu určitou chybu, danou kapacitou použité sondy (asi 1 pF).

Po tomto přibližném nastavení připojíme opět kondenzátor  $C_5$ , konvertor uzavřeme vikem a připojíme k TV přijímači, tj. připojíme anténu na vstup konvertoru a jeho výstup na vstup volně kanálu v TV. Uzavřením konvertoru se opět mírně rozloží všechny obvody směrem k vyšším kmitočtům. Konvertor doladíme zvětšením kapacity kondenzátorů  $C_4$ ,  $C_1$ ,  $C_2$  a  $C_3$ . Při správném nastavení se objeví na obrazovce obraz, který doladíme jádrem výstupního transformátoru. Není-li v možnostech amatéra používat uvedené přístroje, lze konvertor naladit zkusem, vyžaduje to však trpělivost a určitě zkušenosť v tomto oboru. Nejběžnější postup: připojíme anténu jedním koncem přes kapacitu 5 pF na emitor  $T_2$ , druhým koncem na zem. Otáčením trimru  $C_4$  hledáme takové místo, kdy se na obrazovce objeví tmavé šípkové pruhy (slabý obraz). Potom připojíme anténu na vstup a postupným nastavováním kapacitních trimrů  $C_1$ ,  $C_2$ ,  $C_3$  nastavíme maximální kvalitu obrazu. Uzavřeme konvertor a dolaďme znova oscilátor a vstup s pásmovou propustí. Tento postup je nutné několikrát opakovat. Máme-li naladěný obraz, nahradíme odpor  $R_6$  trimrem 15 k $\Omega$  a otáčením běžce nastavíme nevhodnější pracovní bod tranzistoru  $T_2$ , přičemž je nutné současně dolahit oscilátor. Po nastavení odpojíme trimr, změníme jeho odpor a nahradíme pevným odporem. Není-li přesto obraz čistý, je nutné experimentovat s emitorovými vazbami tranzistorů a tlumivkou  $L_1$ . Oddalováním nebo přiblížováním měníme vazbu jednotlivých stupňů. Tím lze částečně zamezit rozkmitávání konvertoru a zároveň měnit šířku přenášeného pásmá. Po skončení této práci je nakonec vhodné přidání kapacity v rozmezí 1 až 20 pF k sekundárnímu vinutí  $L_4$  vyladit výstupní obvod na maximum. Tímto způsobem byly naladěny s úspěchem tři konvertory.

## Výběr tranzistorů

Experimentálně bylo dokázáno, že podstatný vliv na jakostní obraz má výběr tranzistorů vzhledem k šumovému číslu. Při výběru je nejvhodnější změřit  $f_T$  tranzistorů ( $f_T$  je kmitočet, rovný součinu modulu proudového zesílení tranzistoru v zapojení SE a příslušného kmitočtu, při kterém byl modul proudového zesílení měřen [4]). Závislost šumového čísla na kmitočtu u  $v_f$  tranzistorů je na obr. 8. Z obrázku



Obr. 8. Závislost šumu tranzistoru na kmitočtu

je patrné, že nelze vybírat tranzistory měřením na nižších kmitočtech, než pracovních.

Pro informaci uvádíme změřená šumová čísla (při 500 MHz) a  $f_T$  (v pracovním bodě  $U_{CE} = 10 \text{ V}$ ,  $I_C = 2 \text{ mA}$ ,  $f = 400 \text{ MHz}$ ) několika tranzistorů.

Typ tranzistoru	Počet měřených ks	Průměrné šumové číslo $F$ [dB]	Průměrný mezní kmitočet $f_T$ [MHz]
GF505	10	14	440
GF507	40	9,5 až 10	560
AF139	10	9,2 až 9,8	560
AF239	10	6 až 7	680
GMO290340	5	7 až 7,2	600
AF279	5	5	780
AF280	5	5,7	600

## Základní údaje

Impedance:  $Z_{\text{vst}} = 70 \Omega$ ;  $300 \Omega$ ;  $Z_{\text{výst}} = 300 \Omega$ .

Odběr proudu:  $I_C = 6 \text{ mA}$ .

Napájecí napětí:  $U = 9 \text{ V}$ .

## Použité součástky

$T_1 = T_2$	tranzistor GF507
$R_1, R_4$	odpor TR112a; 2,2 k $\Omega$
$R_2, R_5$	TR112a; 1,8 k $\Omega$
$R_3$	TR112a; 8,2 k $\Omega$
$R_6$	TR112a; 2,7 k $\Omega$
$C_1$ až $C_4$	trimr skleněný, WK70122, 4 pF
$C_5$	kondenzátor keramický, TK722, 6,8 pF
$C_6$ až $C_9$	kondenzátor průchodkový, 2,5TK480, 2,2 nF
$C_{10}$	viz text
$L_1$	cívka; drát Cu o $\varnothing$ 0,5 mm s izolací PVC, navinout 7 závitů na železné jádro (obr. 5); samonosná cívka o $\varnothing$ 3 mm, 8 z drátu o $\varnothing$ 0,3 mm CuL; cívka 6 z drátu o $\varnothing$ 0,3 mm CuL, navinout na bakelitovou kostřičku o $\varnothing$ 5 až 6 mm;

$L_4$  cívka  $2 \times 2,5$  z drátu o  $\varnothing$  0,3 mm CuL, navinout vedle cívky  $L_3$  (na stejnou kostřičku).

V příštím čísle AR budou uveřejněny některé další možnosti použití tohoto typu konvertoru (změna výstupní impedance na  $70 \Omega$ , přímé připojení konvertoru s výstupní impedancí  $70$  a  $300 \Omega$  do mř stupně, doložování konvertoru varikapy, s napájení konvertoru po antenním svodu) a další typ špičkového profesionálního konvertoru s tranzistory s malým šumem (AF279 a AF280).

Zároveň budou uveřejněny subjektivní výsledky měření sedmi druhů polovodičových konvertorů, popisovaných v poslední době v odborné literatuře. Tyto výsledky lze použít výhradně pro vzájemné porovnání jednotlivých typů.

## Literatura

- [1] Český, M.: Příjem druhého TV programu. Práce: Praha 1970.
- [2] Český, M.: Televizní přijímací antény, 5. vyd. SNTL: Praha 1964.
- [3] Funktechnik, č. 15/69.

# JEDNODUCHÝ PRIJÍMAČ

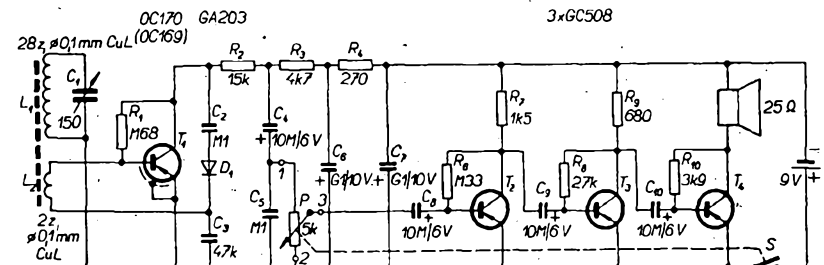
Juraj Alan

Každým rokom si elektrotechnika získáva čoraz viac priaznivých mládeži. Mladí ludia vyzdvájajú jednoduché, nendročné a kvalitné konštrukcie. Chcel by som ukázať širokemu okruhu amatérarov príklad tranzistorového prijímača, ktorý splňa vysoko vyčlenené požiadavky.

## Popis zapojenia

Prijímač so stredovlnným rozsahom je osadený 4 tranzistorami - 1 × OC170 a 3 × GC508 (obr. 1). Prijímač má vstupný obvod tvorený kondenzátorom  $C_1$  a cievkou  $L_1$ , navinutou na feritovej tyčke. Z ladeného obvodu sa nakmitaný signál odoberá vzbudzovým vinutím  $L_2$  a privádzza sa na bázu tranzistora  $T_1$ .

jimači, začneme stavbu od nf stupňa. Odporu  $R_6$ ,  $R_8$  a  $R_{10}$  nahradíme trimrami a nastavíme maximálny výstupný výkon pri minimálnom skresení. Veľkosť odporu závisia od použitých tranzistorov  $T_2$ ,  $T_3$ ,  $T_4$ . Keď máme postavený nf diel, postavíme vf diel. Maximálny výkon nastavíme posúvaním cievok  $L_1$  a  $L_2$  po feritovej tyčke. Po nastav-



Obr. 1. Schéma jednoduchého prijímača

V kolektorovom obvode  $T_1$  je zapojený odpor  $R_3$  a kondenzátor  $C_2$ . Signál prechádzajúci kondenzátorom  $C_2$  je demodulovaný diódou. Zosilnený signál sa privádzza na regulátor hlasitosti  $P$ . Z bežca regulátora hlasitosti sa nf signál privádzza cez kondenzátor  $C_4$  na bázu  $T_2$ . Kolektorový prúd tranzistora je nastavený odporom  $R_1$ , predpätie bázy je určené odporom  $R_6$ . Ďalší zosilňovací stupeň je zapojený rovnako ako stupeň s  $T_2$ . Posledný tranzistor  $T_4$  má v kolektorovom obvode reproduktor o impedancii  $25 \Omega$ . Ak chceme na výstupe dostať silnejší signál, môžeme tranzistory  $T_2$ ,  $T_3$ ,  $T_4$  (predovšetkým tranzistor  $T_4$ ) nahrať bez zmeny zapojenia tranzistormi GC500 alebo 501.

## Konštrukcia

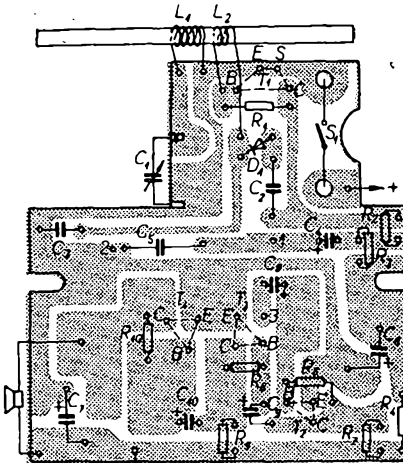
Celý prijímač je postavený na doštičke s plošnými spojmi (obr. 2). Doštičku je možné vložiť do skrinky z prijímača IRIS. Prijímač je napájaný z batérie 9 V. Spôsob upevnenia ladiaceho kondenzátora a feritovej tyčke je rovnaký ako v prijímači IRIS.

## Postup stavby a zladenia

Najdôležitejšie je zhromaždiť pred stavbou všetky súčiastky a starostlivo ich premierať, lebo sa môže stať, že hodnoty na súčiastke sa budú lísiť od ich skutočnej hodnoty. Ako pri každom pri-

vení ich zaistíme voskom. Vstupný obvod presne nastavíme trimrom, ktorý je na ladiacom kondenzátoru.

Prijímač neskrýva nijaké úskalia, pre jeho stavbu sa môže rozhodnúť i úplný začiatocník. Pri použití dobrých súčiastok bude fungovať na prvé zapojenie.



Obr. 2. Doštička plošných spojov Smaragd E33

# Kondenzátorové zapalování

Petr Kadlec

Zařízení slouží ke stabilizaci energie zapalovací jiskry spalovacích motorů. Energie jiskry je v určitých mezech nezávislá na napájecím napětí a na rychlosti otáčení motoru a je přesně definována.

Rozborom klasického systému zapalování dojdeme k závěru, že energie zapalovací jiskry je závislá na napájecím napětí a na množství jisker za určitou dobu. Při zjednodušeném pohledu na tento problém lze říci, že při zmenšení napájecího napětí na polovinu zmenší se na polovinu i proud, který protéká cívkou, čímž je výkon dodávaný do cívky čtvrtinový, neboť je určen součinem napětí a proudu, který protéká cívkou. Energia, která se v cívce nahromadí, je dána příkonem a dobou, po níž se tento příkon do cívky dodává. Tato doba se zkracuje se zvětšující se rychlosti otáčení motoru a tím se zmenšuje i energie jiskry. Dalším nedostatkem klasického způsobu zapalování je střídavé napětí jiskry, které vzniká kmitáním rezonančního obvodu cívka - kondenzátor. K zapálení oblouku je třeba větší napětí než k jeho udržení. Při střídavém napětí na svíčce dojde po každé půlvlně napětí ke zhasnutí oblouku a následující půlvlna musí mít napětí větší, než je zápalné napětí oblouku. Protože jde o tlumené kmity, má jen několik prvních kmitů napětí, potřebné k zapálení oblouku. Ostatní kmity s menším napětím, jejichž energie je ještě značná, zůstávají nevyužity.

Druhým vývojovým stupněm zapalování je systém, v němž se primární proud cívky spiná tranzistorem. Tento systém byl v mnoha obměnách popisován v různých časopisech. K nedostatku klasického zapalování přidává ještě další nedostatky. Protože napětová špička, která vzniká v okamžiku rozepnutí primárního obvodu na přerušovači, dosahuje až 400 V, musí být použitý spinací tranzistor dimenzovan na toto napětí. Protože tranzistor se závěrným napětím  $U_{BE} = 400$  V není k dispozici, je nutno toto napětí omezit asi na 200 V; toto napětí již některé speciální tranzistory „vydrží“. Cena těchto tranzistorů je fantastická a nebezpečí jejich zničení téměř jisté, protože u většiny publikovaných zapojení není maximální napětí na tranzistoru důsledně omezeno (k omezení dojde většinou zvětšením zbytkového proudu  $I_{CO}$  při překročení maximálního napětí  $U_{BE}$ ). Tim, že napětí na primárním vinutí cívky musíme zmenšit asi na 200 V, zmenšíme úměrně i energii jiskry. V některých případech se tento problém řeší tak, že se pro napájení 12 V používá cívka na 6 V s větším převodovým poměrem a do série se zapojuje odpor. Tento způsob poněkud zmenšuje nebezpečí napětového průrazu tranzistoru, vyžaduje však, aby cívka, odporem a tranzistorem protékal proud až 8 A, přičemž se na předřadném odporu ztrácí značný výkon a tranzistor je zbytečně zatežován velkým proudem, čímž se značně ohřívá.

Jedinou výhodou tohoto systému zapalování je zlepšení pravidelnosti chodu motoru tím, že je přesněji definován okamžik zářehu. Uvádět jako výhodu to, že nedochází k opotřebení kontaktu přerušovače, je nemístné. Za cenu tranzistoru je totiž možno koupit několik desítek kontaktů. Přerušovač je nutno stejně seřizovat a po určité době vyměnit, protože dochází k opotřebení zdvižátku na pohyblivém kontaktu.

Dalším systémem, zásadně odlišným, je zapalování kondenzátorové. Kondenzátor, který se nabije z tranzistorového měniče, se při každém přerušení kontaktu přerušovače vybije do primárního obvodu zapalovací cívky. Kondenzátor bývá k cívce připojen zpravidla tyristorem. Tento systém přináší podstatné zdokonalení v tom, že energie jiskry je nezávislá na rychlosti otáčení motoru, pokud se kondenzátor nabije dostatečně rychle.

Časopis [1] uvedl zapojení kondenzátorového zapalování, které se vyznačuje témito vlastnostmi:

1. má stálou energii zapalovací jiskry v širokých mezech (nezávisle na rychlosti otáčení motoru a napájecím napětí);

2. výboj zapalovací jiskry je tvořen stejnosměrným obloukem dlouhého trvání.

Toto zapojení je pravděpodobně to nejlepší, co v tomto oboru bylo publikováno a je realizovatelné v amatérských podmínkách. Proto jsem se rozhodl zapojení prakticky ověřit.

## Technické údaje

### Popis zapojení

Popis funkce je omezen na rozsah, který je nutný k realizaci zapojení. Zájemci o podrobný popis zapojení, z něhož jsem vycházel, jej najdou v [1]. Popis vychází ze schématu na obr. 1.

Při připojení napájecího napětí je tranzistor  $T_1$  otevřen (pracovní bod je určen odpory  $R_6$  a  $R_8$ ). Tranzistory  $T_2$ ,  $T_3$  a  $T_4$  jsou v nevodivém stavu. Při

rozpojení kontaktů přerušovače se výbíjí kondenzátor  $C_2$  přes odpory  $R_1$ ,  $R_8$  a diodu  $D_3$  do vstupu klopného obvodu, který je tvořen tranzistory  $T_1$  a  $T_2$ . Tranzistor  $T_1$  se uzavře a otevře se tranzistor  $T_2$ . Po otevření  $T_2$  se otevře i  $T_3$  a tím i  $T_4$ . Tento stav je stabilní, neboť po vybití kondenzátoru  $C_2$  zůstává tranzistor  $T_1$  nadále uzavřen. Při otevření tranzistoru  $T_4$  počne protékat primárním vinutím transformátoru  $T_r$  proud, který se postupně zvětšuje. Tímto proudem se vytvoří na odporu  $R_2$  úbytek napětí, o který se zmenší napětí  $U_{CE}$  tranzistoru  $T_2$  a jeho kollektrorový proud se rovněž zmenší. Zmenší se i úbytek napětí na odporu  $R_8$  a tím vzrostec napětí na bázi  $T_1$ . Tranzistor  $T_1$  se otevře. Tranzistory  $T_2$ ,  $T_3$  a  $T_4$  jsou opět uzavřeny. Tím je zajištěno, že primární proud transformátoru bude mít vždy stejnou maximální velikost, která je určena velikostí odporu  $R_2$ . Při zmenšení napájecího napětí se prodlouží doba, během níž je  $T_1$  sepnut, takže energie impulsu je stejná jako při plném napájecím napětí.

Na sekundární straně transformátoru se přes diodu  $D_1$  nabije kondenzátor  $C_1$ . Obvod  $R_{12}$ ,  $R_{13}$ ,  $R_{15}$ ,  $C_4$  a  $D_4$  slouží k „zapalování“ tyristoru. Dioda  $D_2$  brání zakmitávání v obvodu zapalovací cívky.

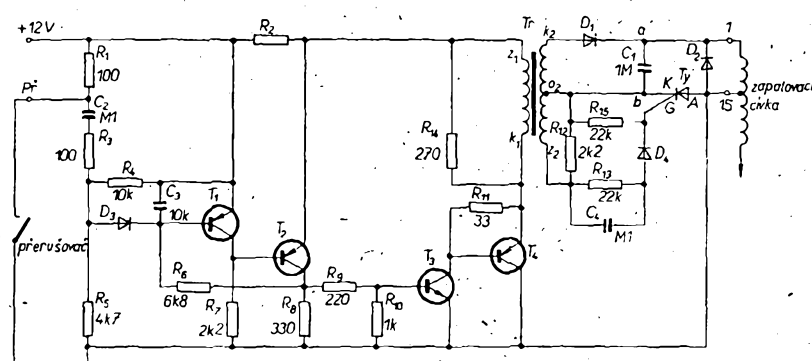
Dále popsané zapalování je určeno pro čtyřdobé motory, jejichž elektrická instalace má záporný pól baterie spojen s kostrou a napětí 12 V, tj. pro všechny nové osobní vozy tuzemské výroby a většinu zahraničních vozů.

### Volba součástek

Součástky použité v původním pramu nejsou na našem trhu dostupné a proto je nutno sáhnout k nejvhodnější nahradě. Použit germaniové tranzistory jako nahradu za původní křemíkové nelze, neboť teploty, při nichž má zapalování pracovat, jsou značné. Největší potíž je s volbou tranzistorů  $T_1$  a  $T_2$ . Tesla vyrábí křemíkové tranzistory typu p-n-p KF517, KSY81, KFY16, KFY18. Nejdostupnější jsou KF517. Je nutno zkontrolovat, zda jejich napětí  $U_{CE}$  je menší než 0,4 V při  $I_C = 100$  mA a  $I_B = 5$  mA. Na místě  $T_2$  použijeme ten, který má napětí  $U_{CE}$  menší.

Jako  $T_3$  je možno použít KU601, KU602, KU611, KU612 nebo jiný křemíkový tranzistor n-p-n s  $I_{CM} \geq 1$  A, který má  $\beta$  větší než 20 při proudu  $I_C = 0,5$  A.

Tranzistor  $T_4$  je germaniový tranzistor, který musí mít  $I_{CM}$  větší než 5 A a závěrné napětí  $U_{CB}$  větší než 30 V. Z výrobků Tesla lze použít kterýkoli z řady NU74. Z dovážených tranzistorů



Obr. 1. Schéma zapojení kondenzátorového zapalování

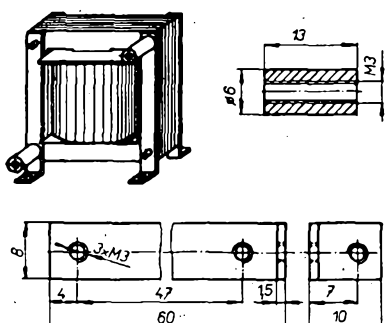
jsou cenově výhodné například bulhar-  
ské tranzistory (typ SFT).

Diody  $D_3$  a  $D_4$  jsou typu KA501 až KA504 nebo jiné s podobnými parametry.  $D_1$  a  $D_2$  jsou diody typu KY724. Ze starších typů lze použít 35NP75, 36NP75, 45NP75, 46NP75. (Pozor na opačné zapojení vývodů diody.) Na místě  $D_2$  nejsou tyto typy vhodné, protože není možno diodu připevnit na kostru. Z tyristorů je nejvhodnější typ KT504 nebo 505. Při použití jiného typu je nutno provést změny v mechanickém upevnění. Ostatní součásti volíme s ohledem na maximální spolehlivost a mechanickou odolnost. K zajištění spolehlivého chodu zapalování je nutné všechny součásti před zapojením proměřit. Transformátor je nutno navijet s maximální pečlivostí a vinutí impregnovat.

Stavba

Většina součástek je na desce s plošnými spoji (obr. 2).

Transformátor je navinut na jádru



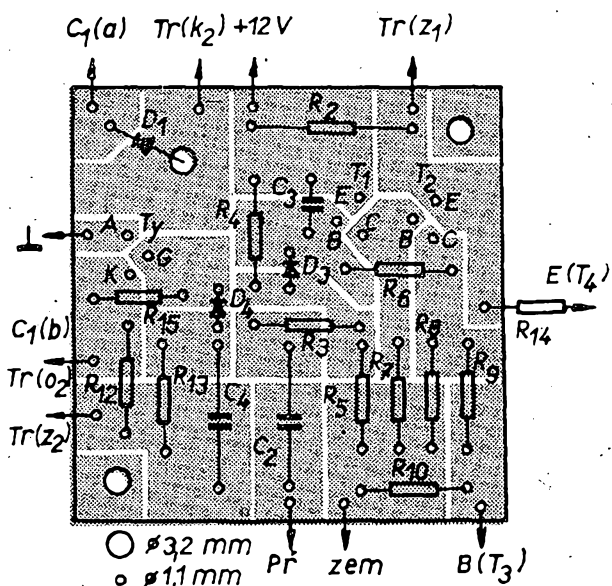
### Obr. 3. Sestava transformátoru, potřebné úhelníky a sloužky

formátoru připojíme na desku ze strany plošných spojů. Tranzistory  $T_3$  a  $T_4$  přisroubujeme na kostru.  $T_3$  musí být odizolován,  $T_4$  a  $D_2$  musí být spojeny vodivě s kostrou. Transformátor připevníme na kostru čtyřmi šrouby M3. Dva z těchto šroubou současně upevňují izolační opěrné sloupky  $I$  a  $I'$  (viz obr. 4).

Spoje vedeme přímo. Přívody ke svorkovnici povedeme kablikem, který v místech, kde prochází kostrou, chránime izolační trubičkou. Konec přívodů ke svorkovnici připájíme do trubičkových nýtu a ty zasuneme do svorkovnice. Zabránime tím přeštipnutí kablíku šroubkem svorkovnice.

## **Uvádění do chodu**

Před připojením napájecího napětí pečlivě zkontrolujeme zapojení. Na svorky 1 a 15 připojíme zapalovací cívku, která je zatižena zapalovací svíčkou. Mezi kostru a svorku P7 zapojíme tláčítka. Odpor  $R_2$  zvolíme v rozmezí 2 až 5  $\Omega$ . Mezi vývod C1 (b) a kostru připojíme stejnosměrný voltmetr s vnitřním odporem minimálně 5 k $\Omega$ /1 V, přepnuty na rozsah asi 300 V. Kladný pól voltmetu připojíme na kostru. Napájecí napětí 12 V připojíme mezi svorku +12 V a kostru. Do pívodu ke sorce +12 V je vhodné zařadit ampérmetr s rozsahem 4 až 6 A (obr. 5). K napájení je nutno použít zdroj s nepatrným vnitřním odporem, nejlépe akumulátor z vozidla.



Obr. 2. Deska s plošnými spoji Smaragd E34

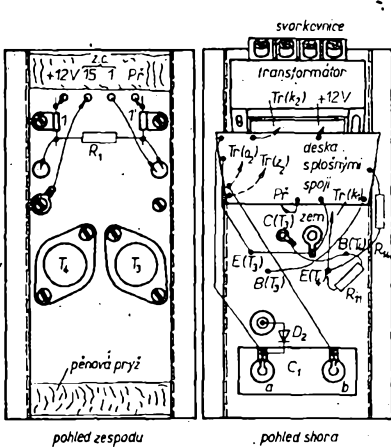
M17. Toto jádro má rozměr středního sloupu  $17 \times 19,5$  mm. Je nutno použít plechy se vzduchovou mezerou  $0,5$  mm. Pravděpodobně lze transformátor navinout i na jádro EI 20, rozměr sloupu  $20 \times 16$  mm.

Primární vinutí má 72 závitů drátu o  $\varnothing$  1 mm CuL. Sekundární vinutí má 2 980 závitů drátu o  $\varnothing$  0,2 mm CuL, odbočka je na 120. závitu.

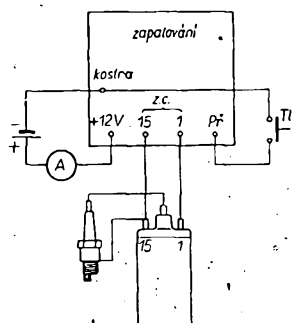
Je nutno dodržet shodný smysl vinutí u primární i sekundární cívky. Sekundární vinutí je třeba vyvěst kablíkem. Primární vinutí není nutno prokládat. Sekundární vinutí je třeba proložit po každé třetí vrstvě olejovým papírem. Primární a sekundární vinutí izolujeme třemi vrstvami olejového papíru tloušťky 0,1 mm. Začátky a konce vinutí jsou ve schématu označeny Z a K a číslem vinutí, odbočka písmenem O a číslem vinutí.

Plechy transformátoru je nutno složit všechny jedním směrem, stáhnout úhelníky a šrouby M3 (obr. 3).

Na desku s plošnými spoji připojíme všechny součástky (kromě odporu  $R_2$ ). Osazenou desku přišroubujeme na transformátor podle obr. 4. Vývody trans-



Obr. 4. Sestava přístroje



Obr. 5. Zapojení při zkoušení

Po stisknutí a uvolnění tlačítka se může na voltmetu objevit výchylka asi 10 až 50 V, která se vlivem vybijení kondenzátoru  $C_1$  přes voltmetr změní.

Odpór  $R_2$  postupně zmenšujeme tak, aby se kondenzátor  $C_1$  nabíjel na napětí 200 V. Je nutno postupovat velmi opatrně a pečlivě číst napětí na voltmetu. Je vhodné přepnout voltmetr na co nejvyšší rozsah. Při rozpojeném tlačítku nesmí být odber v baterie větší než 20 mA. Při každém uvolnění tlačítka musí na svíce přeskocit jiskra.

Dále vyřádíme ampérmetr a změříme napětí na kondenzátoru  $C_1$  při napájení 5 V a 14 V. Při napájení 5 V musí být napětí na  $C_1$  v rozsahu 180 až 200 V. Je-li větší než 200 V, je nutno zmenšit odpor  $R_7$  na 1,5 k $\Omega$ . Pokud tato změna nepomůže, je nutno použít na  $T_2$  tranzistor s větším proudovým zesilovacím činitelem. Definitivně nastavíme obvod při napájení napětím 12 V. Vyřádíme ampérmetr z obvodu napájení a dalším zmenšením  $R_2$  nastavíme napětí na  $C_1$  na 300 V. Znovu kontrolujeme vlastnosti při napájení v rozsahu 5 až 14 V; napětí na  $C_1$  má být v rozsahu 270 až 300 V. Tím je zařízení připraveno k montáži do vozidla.

Při nastavování je nutno postupovat velmi opatrně, neboť každá nepozornost se platí zničením drahých součástek.



# ŠKOLA amatérského vysílání

## Přepínač

Značení ve schématech: *Px*.

Služí k přepínání součástek, napětí, obvodů apod. Přepínače budeme používat k přepínání různých provozních funkcí (např. kmitočtových rozsahů, druhů provozu apod.).

## Relé

Značení ve schématech:

cívka: velkým písmenem, nebo *Re*  
kontakt: malým písmenem a pořadovým číslem kontaktu.

Relé je součástka umožňující dálkové spinání, vypínání a přepínání součástek, napětí, obvodů apod.

Relé se skládá z elektromagnetu, který ovládá soustavu kontaktů. Cívka relé má vyznačen vnitřní odpor, počet závitů a průměr vodiče cívky.

U kontaktů nás bude zajímat:

- počet kontaktů relé,
- jejich funkce (spínací kontakt, rozpínací kontakt, přepínací kontakt),
- maximálně připustné spínací napětí a proud.

Amatér-vysílači používají relé k au-

Běžné tavné pojistky jsou zhotoveny ze stříbrného kalibrovaného drátku, který by nikdy neměl být nahrazován hřebíkem. Pojistka je totiž levná součástka, šetríci zvláště začátečníkovi mnoha peněz.

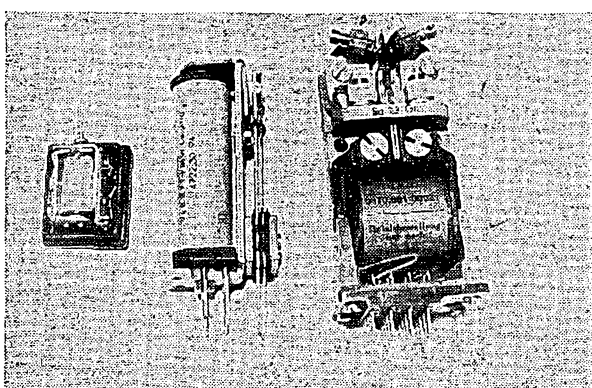
U pojistiky nás zajímá velikost dovoleného proudu. Při použití pojistek ve zdvojnásobení napětí nad 500 V je třeba zjistit, je-li zvolený pojistkový držák konstruován pro použití napětí.

## Vodiče

V amatérských zařízeních používáme výhradně měděné vodiče. Ve vysokofrekvenčních obvodech použijeme holé (pokud možno postříbené) vodiče, napájecí napětí povedeme izolovanými vodiči (s textilní nebo syntetickou izolací) a vysoké napětí (nad 500 V) budeme chránit ještě izolační špagetou. Průměr vodiče volíme takto:

tranzistorová zařízení: 0,3 až 1 mm,  
elektronková zařízení  
(kromě žhavení): 0,5 až 1,5 mm,  
žhavení přijímače: 1 až 2 mm,  
žhavení vysílače: 1,5 až 3 mm.

Miniaturní, telefonní a polarizované relé

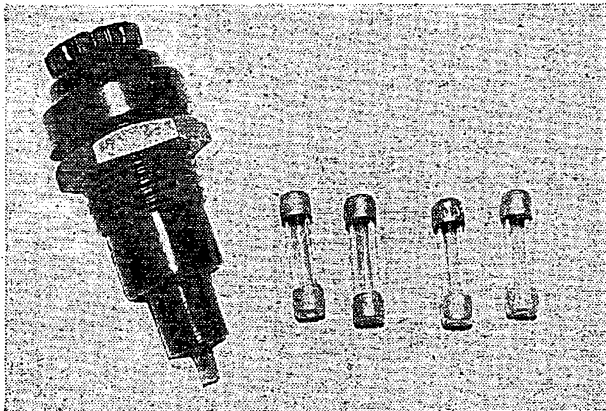


tomatizaci (např. k ovládání vysílače hlasem, automatickému přepínání antény), k dálkovému ovládání (např. dálková volba antén) a jištění (např. jištění vysokonapěťových zdrojů).

## Pojistka

Značení ve schématech: *Po*.

Pojistka je součástka, která tvoří uměle zeslabené místo elektrického obvodu, které se při zvětšení proudu nad dovolenou mezi přeruší.



Vodiče, jimiž bude protékat větší proud, budou mít větší průměr.

## Uzemnění

Jako uzemnění slouží kovové šasi přístroje s výjimkou přístrojů přímo spojených se sítí (tj. pracujících bez síťového transformátoru).

Při uzemnění dbáme zásady, že všechny součástky jednoho obvodu musí být uzemněny do jednoho místa šasi.

## Jak stavět radioamatérská zařízení

Každý amatér vysílač dobře zná stav, kdy přestane být spokojen se svým zařízením a rozhodne se, že postaví zařízení nové. Tyto stavby jsou ještě častěji u začínajících amatérů, používajících různé náhradní a improvizované prostředky.

Rozhodneme-li se, že postavíme nějaké zařízení, nejdříve sbíráme informace o tom, jaké zařízení si postavíme. Studujeme časopisy, ptáme se známých, počítáme, kolik nás zařízení bude stát.

Jen menší části návodů je vypracována tak, že je v nich předepsáno rozložení součástek, rozkresleny a popsány mechanické práce a uvedeno nezbytné vybavení nástrojů a náradí.

Proto si v této lekci ukážeme, jak postupovat při stavbě zařízení a jaké vybavení k tomu budeme potřebovat. V úvahách budeme vycházet z nejméně příznivého případu, kdy známe pouze elektrické zapojení přístroje.

Prvým problémem bude, jak nalézt vhodné rozložení součástek. Známe schéma, zkoušenější amatér toto schéma posoudil, nakoupili jsme všechny součástky. Nejdříve si blokově nakreslime, jak jednotlivé stupně na sebe navazují a ze skutečné velikosti součástek si najdeme minimální prostor, který bude každý stupeň vyžadovat. Pak si již můžeme určit minimální plochu i výšku, kterou budeme pro přístroj potřebovat. Při rozložení stupňů dbáme, aby vstup a výstup zesilovacího řetězce pracujícího na stejném kmitočtu nebyl umístěn blízko sebe (nebezpečí rozkmitání) a aby v blízkosti síťového transformátoru nebyly uloženy nízkofrekvenční transformátory a cívky se železovými a feritovými jádry (nebezpečí brumu). Dále se budeme snažit rozmiřit stupně a součástky tak, aby ovládací prvky (spínače, osy ladicích kondenzátorů, potenciometry), byly uspořádány rozloženy na celni stěně (panelu).

Velmi vděčnou metodou, jak nalézt rozložení součástek, je „posunovací metoda“, používaná s úspěchem i při rozmiřování nábytku. Půdorys větších součástek a stupňů zakreslime na papír a vystříhneme. Na větším archu milimetrového papíru pak posunujeme půdorysy součástek tak dlouho, až nás bude uspokojovat.

Potom si na milimetrový papír zaznamenáme místa upevnění součástek, zakreslime si průměry upevnovacích otvorů a stanovíme minimální rozměry přístroje. Pro jistotu si k témuž minimálnímu rozměru přidáme několik cm navíc jako rezervu.

Konečné rozměry šasi přizpůsobíme rozměrům skřínky, kterou máme k dispozici nebo která je snadno dostupná. Zhotovení vzhledné plechové skřínky není v amatérských podmírkách snadné.

Potřebné prostředky:  
milimetrový papír  
kružítko  
kreslicí potřeby

## Z jakého materiálu vyrobíme šasi?

Šasi slouží nejen k upevnění součástek, ale i k uzemnění obvodů a stínění součástek. Proto ho zhotovíme z materiálu mechanicky pevného s dobrou vo-

divosti. Tyto požadavky splňuje mosaz, hliník a ocelový plech, který však po všechn mechanických úpravách budeme stříbrit.

Tloušťku plechu zvolíme podle velikosti šasi a váhy součástek. Pro běžný přístroj rozměrů do  $300 \times 250$  mm zhotovíme šasi z plechu tloušťky:

mosaz, hliník: 1 až 1,5 mm

ocel: 0,6 až 1 mm

Sasi o větších rozměrech či nesoucí těžké součástky zesištěme úhelníky a příčkami, popř. je zhotovíme ze silnějšího plechu.

#### Jak přeneseme míry z plánu na plech?

Nejdříve pomocí pravítka (nejlépe kovového) a úhelníku přeneseme základní míry na plech a narýsueme pomocí rýsovací jehly rovinutý tvar šasi. Přebývající plech ustříhneme. Na takto upravený plech přeneseme středy dér a hrany otvorů. Středy dér vyznačíme důlkem.

Potřebné prostředky:  
pravítka (nejlépe kovové)  
úhelník (nebo alešpon příložník)  
rýsovací jehla  
důlčík  
kladivko

#### Jak budeme stříhat plech?

Plechy do 1,5 mm tloušťky stříháme ručními nůžkami. Stříhaní půjde lépe, upevníme-li ruční nůžky jednou rukoujetí do svéráku. Plechy nad 1,5 mm, kovové trubky, tyče a profily řežeme pilkou na kov. List pilky musí být orientován tak, aby zuby směřovaly od rukojeti. Pilka řeže při pohybu od sebe. Čelisti svéráku chráníme při řezání vložkami z měkkého plechu (hliník, měď, mosaz - tloušťka 2 až 3 mm). Hranu řezu začistíme plochým pilníkem.

Potřebné součástky:  
ruční nůžky na plech  
svérák  
pilka na plech  
plochý pilník

#### Jak zhotovíme otvory?

Kruhové otvory do  $\varnothing 10$  mm vyvrtáme ruční vrtáčkou. Vrtaný předmět podložíme prvkem z tvrdého dřeva a upevníme truhlářskou svérkou na stůl. Větší díry předvrtáme vrtákem  $\varnothing 3$  až 4 mm. Pomaleji vrtáme tvrdé materiály (ocel, mosaz), rychleji měkké a organické materiály. Roztrepené ostří okrajů dér odstraníme vrtákem většího průměru. Kruhové otvory nad 10 mm vyřízeme výkružníkem nebo luppenkovou pilkou. Velké a nekruhové otvory řežeme luppenkovou pilkou. Zuby luppenkové pilky směřují k rukojeti. Při řezání hliníku použijeme mýdlovou vodou, která zabrání ucpání zubů a zadření pilky.

Potřebné prostředky:  
vrtáčka  
sada vrtáků  
výkružník  
luppenková pilka  
truhlářská svérka  
prvek z tvrdého dřeva

#### Jak budeme obýbat plech?

Kratší plechy bez těžkosti ohneme ve svéráku. K ohybům delších, než je délka svéráku, si opatříme dva kusy ostrých úhlových želez, mezi něž vložíme

ohýbaný plech. Konce stáhneme šrouby či svírkami.

Při ohybu použijeme dřevěný prkénko a kladivo. Plech nikdy nevyklepáváme přímo kovovým kladivem – kladivo zanechává neodstranitelné stopy.

Potřebné prostředky:  
svírak  
kladivo  
dřevěné prkénko

#### Jak budeme řezat závity?

Před řezáním vyvrtáme díru o průměru  $\varnothing = 0,8 \times \varnothing$  závitu (pro M3:  $\varnothing = 2,4$ , pro M4:  $\varnothing = 3,2$  atd.). Závit řežeme sadou závitníků, počínaje závitníkem označeným jednou čárkou. Řezání závitů usnadní několik kapek petroleje či oleje. Do slabých plechů díry nevrátíme, ale vyrážíme je úzkým průbojníkem.

Potřebné prostředky:  
vratidlo  
závitníky

#### Jak povrchově upravíme hotové šasi?

Hotové šasi vyčistíme, případně škrabance vyhlaďme jemným smirkem a začistíme (např. plavenou křídou, sili-chromem apod.). Šasi z ocelového plechu postříbríme. Je doporučeno stříbrení starým ustalovačem (šasi se ponorí do ustalovače, vylučování stříbra urychlíme kyselinou octovou). Silnější vrstvu nanesešme elektrolyticky.

Jak povrchově upravíme hotový přední panel a skříňku?

Nejobvyklejší povrchovou úpravou je lakování. Na začítěný (popř. zatmeněný) povrch nastíkáme lak. Stříkáme buď fixírkou (menší plochy), flitoxovým rozprašovačem, nebo použijeme lak v aerosolovém provedení. V amatérské praxi jsou nejpoužívanější rychleschnoucí nitrolaky.

V poslední době amatéři začínají používat samolepicí tapety. Práce s nimi je snadná a výsledky velmi vzhledné.

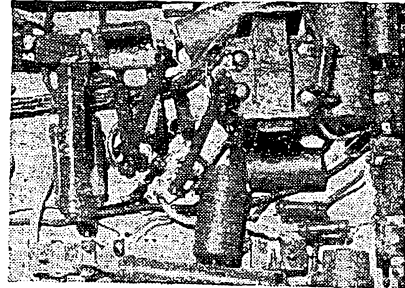
#### Jak budeme spojovat radiotechnické součástky?

Jediným přípustným způsobem spojování v radiotechnických zařízeních je pájení. Pájení je jednak z nejdůležitějších prací vůbec: na důkladnosti spojů záleží dokonalost elektrického propojení a tím spolehlivost přístroje. K pájení používáme cínovou pájku, čisticí prostředky a páječku.

Cínová pájka se prodává v trubičkovém provedení (uvnitř trubičky je kala-funa, odplavující ze spoje mechanické nečistoty). Z čisticích prostředků je nejpoužívanější roztok kala-funy v lihu. Pro běžné práce vystačí elektrická páječka o příkonu 30 až 100 W. Často je používána pistolová páječka, jejíž pájecí části je smyčka z měděného drátu, ohřívaná proudem z transformátoru. Tato páječka je vhodná při laborování a opravách.

Při montáži součástek jsou nejobvyklejší tyto postupy:

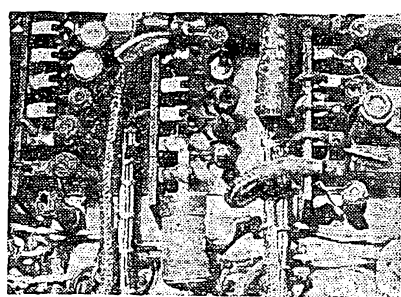
– přímé propojování součástek nazváním „„vrabčí hnizdo““. Vývody součástek jsou propojovány za pomoci spirálových trubiček, které si zhotovíme ze slabého měděného drátu, návinutého na tyče o průměru 2 až 4 mm. (Průměr volíme podle počtu součástek spojených v jedné trubičce.) Tento způsob montáže se používá u nejlevnějších přístrojů.



Montáž typu „vrabčí hnizdo“

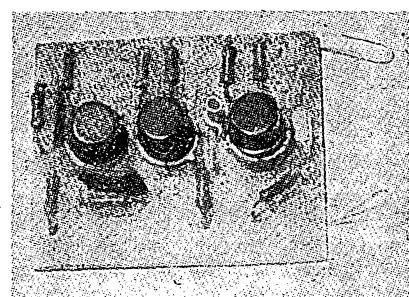
Rozměrnější a těžší součástky však musíme upevnovat příchytkou na šasi;

– uložení součástek na izolační destičku s pájecími body. Součástky jsou připraveny na opěrné body, na něž připájíme svazek vodičů, přivádějících napájecí napětí a spojujících součástky na destičce s elektronkami;



Montáž součástek na desky s pájecími body

– plošné spoje. Z hlediska spolehlivosti a vzhlednosti jsou nejvhodnější technologií předurčenou k použití zvláště v polovodičové technice. Návrh a výroba plošného spoje jsou náročné a vyžadují zkušenosť. Technologie plošných spojů je důkladně popsána v Radiovém konstruktéru č. 6/1969.



Montáž součástek na destičce s plošnými spoji

Vývod pájené součástky je nutno očistit, pocinovat a nanést na ně čisticí prostředek. Pájený spoj musí být zbarven nečistoty, oxydů a musí se dobrě prohřát. Dobře provedený spoj poznáme podle barvy (lesklý hladký povrch) a tvaru (cín vytvoří na spoji pravidelnou kapku). „Studený“ (tj. nedostatečně prohřátý spoj) během doby zoxyduje a spoj je elektricky nespolehlivý: je pak příčinou řady závad, které se velmi obtížně hledají.

# malý STABILNÍ VYSÍLÁČ

Dr. Ivan Šolc, OK1JSI

Mladí koncesionáři OL používají často důmyslná zařízení s velmi stabilním oscilátorem, spolehlivým oddělovacím stupněm a s koncovým zesilovačem s velkou účinností. Rafinované diferenciální kličování souvisí s promyšlenou koncepcí zdroje. Výsledek je někdy vynikající, jindy průměrný, někdy celé zařízení zklaší. Proto je dobré začínat s co nejjednodušším zařízením. Povolovací podmínky žádají vedle předepsaného maximálního příkonu dostatečnou kmitočtovou stabilitu oscilátoru a nejméně jeden kličovaný oddělovací stupeň. Popisované zařízení tedy podmínky splňuje a může zaručit velmi jakostní a stabilní provoz na všech pásmech od 1,8 do 30 MHz. Celé zařízení může sloužit i jako budík výkonného koncového zesilovače.

Oscilátor je v běžném třibodovém zapojení s dvojitou triodou ECC85, jejíž druhá polovina pracuje jako kličovaný oddělovací stupeň, vázáný kapacitním děličem s anodou oscilátoru. Třibodové zapojení dosahuje značné kmitočtové stability i nezávislosti kmitočtu na napětí vhodnou úpravou součástí obvodu a správnou polohou odbočky na cívce. Mřížkový kondenzátor  $C_1$  volime v rozsahu 5 pF až 100 pF. Při kritickém nastavení odbočky lze tímto kondenzátorem upravit v menších mezech též kmitočtovou nezávislost oscilátoru na napětí. Má-li  $C_1$  malou kapacitu (5 pF), kmitočet se se zmenšujícím se napětím snižuje, má-li velkou kapacitu (100 pF), kmitočet se se zvětšujícím se napětím zvyšuje. Celkově se ovšem při použití malé kapacity kmitočet oscilátoru po někud zvýší, při větší kapacitě se sníží, protože vazební kondenzátor je vlastně v sérii s vnitřní kapacitou elektronky. Kondenzátor  $C_1$  volime asi 40 pF a kmitočtovou nezávislost oscilátoru na napětí upravíme změnou polohy odbočky na cívce. Je-li odbočka velmi blízko uzemněného konce, kmitočet se při zmenšování napětí zmenší, je-li značně vysoko (nejvyšší teoretická poloha je v polovině cívky), kmitočet se zvyšuje. Kritická poloha odbočky je přibližně v 1/5 celkového počtu závitů; při přesném nastavování je možné použít cívku s několika odbočkami a optimum nalézt pokusně.

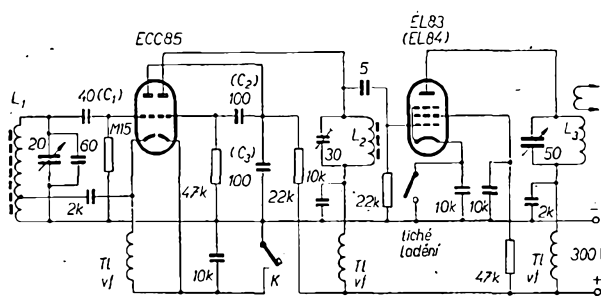
Kapacitu ladícího kondenzátoru volime jen tak velkou, aby se právě obsáhl rozsah požadovaného pásmá; obvykle vyhoví kapacita 10 až 25 pF. K tomuto otočnému kondenzátoru je připojen pevný kvalitní kondenzátor o kapacitě 20 až 100 pF. Větší kapacita pevného kondenzátoru zúží rozsah laděného pásmá a současně podstatně zvětšuje stabilitu oscilátoru. Kondenzátory kapacitního děliče  $C_2$  a  $C_3$  mají rovněž výrazný vliv na stabilitu i na výkon. Obvykle použijeme dva stejně kondenzátory, přičemž při menších kapacitách (30 pF) bude mít budík větší výkon; stabilita však poněkud utrpí. Větší kapacity (200 pF) zmenší výkon, stabilita se však podstatně zvětší. Pro pásmá 1,8 MHz a 3,5 MHz vyhovuje 75 až 100 pF, pro výšší pásmá lze kapacitu zmenšit.

Laděný obvod oscilátoru pracuje na polovičním kmitočtu, obvod v anodě druhé části dvojité triody je vyladěn na požadovaný kmitočet, pevně na střed pásmá. Zpětný vliv tohoto obvodu v anodě na obvod oscilátoru je při správném dimenzování součástí daleko menší, než v obvyklých elektronové vázáných oscilátořech. Při srovnání s kompenzovaným, elektronově vázáným oscilátorem podle bylo popsáno uspořádání stabilnější a zpětné působení anodového obvodu bylo ještě menší. Obě cívky byly navinuty vš lankem v ruce, divoce, na trubici o  $\varnothing$  10 mm v hliníkových krytech (výprodejní typ v ČRA za 1 Kčs). Cívka  $L_3$  v anodovém obvodu zesilovací elektronky byla navinuta na trubce o  $\varnothing$  40 mm drátem o  $\varnothing$  0,8 mm CuL, je nestíněná. Cívka oscilátoru měla pro pásmo 1,8 MHz asi 220 závitů, pro pásmo 3,5 MHz asi polovinu atd., s odbočkou v 1/5 celko-

vého počtu závitů. Šroubovacím jádrem lze indukčnost ve značném rozsahu upravit. Tlumivky jsou všechny stejné, postačí cívky s několika vrstvami závitů na průměru 10 mm, nebo jakékoli obvyklé tlumivky o indukčnosti 2 až 5 mH.

Vysílač byl sestaven na překližkové kostře. Výsledek do značné míry překonal očekávání. Stabilita kmitočtu je velmi dobrá, kličovací rázy jsou minimální. Změna kmitočtu během průměrného spojení na pásmu 3,5 MHz dosahovala nejvíce  $5 \cdot 10^{-6}$  při napájení nestabilizovaným zdrojem napětí, tón byl bez výjimky vždy T9 bez jakékoli stopy kuňkání nebo vrčení. Stejných výsledků dosáhneme i na ostatních pásmech. Jako zesilovací elektronku jsem použil EL83 nebo EL84 (ta, ačkoli je určena pro nf, dobře vyhoví a svým příkonem je vhodná i pro koncesionáře OL pro pásmo 1,8 MHz). Celé zařízení lze vestavět do skřínky malých rozměrů, včetně zdroje, který není nutné stabilizovat, protože změny anodového napětí od 150 V do 350 V se na kmitočtu téměř neprojeví a rovněž vliv obvyklých změn žhavicího napětí je zanedbatelný. Oscilátor kmitá již od 10 V, běžný provoz byl zkoušen při 280 V. Protože kličujeme katody, dbejte na izolační kryt kliče, aby vám náhodný dotek nezpůsobil nepríjemný otřes v kritické chvíli spojení.

Obr. 1. Zapojení malého vysílače



## Tranzistorové vysílače pro KV

Zdeněk Pavlá, OK2BLA

*V poslední době jsou k dostání vysokofrekvenční výkonové tranzistory. Protože mnohý amatér stojí před problémem, jak sestrojit tranzistorový vysílač na KV, pokusím se vysvětlit pomocí jednoduchého výpočtu návrh vysílače učetné vazebních obvodů. Při návrhu zesilovačů se zaměřím na zesilovač třídy B a C, protože ve třídě A je účinnost stupně malá. Celý návrh je co nejvíce zjednodušen, protože přesný výpočet je velmi obtížný a pro většinu amatérů prakticky neproveditelný.*

Pronávrh zesilovače potřebujeme znát především tyto hodnoty:

- $f$  - pracovní kmitočet
- $U_{CE}$  - maxim. napětí kolektor-emitor
- $U_{CB}$  - maxim. napětí kolektor - báze
- $r_{bb'}$  - vnitřní odpor báze
- $C_{be}$  - výstupní kapacita
- $I_{CM}$  - max. proud kolektoru
- $f_T$  - mezní kmitočet tranzistoru
- $R_z$  - zatežovací odpor (anténa) pokud je to koncový stupeň. Jinak je zatežovací odpor odpor  $r_{bb'}$  dalšího stupně.
- $w$  -  $2\pi f$  - kruhový pracovní kmitočet

Použití zesilovače se spočívá v bázi SB nebo emitorem SE, závisí na  $f_T$  tranzistoru. Je-li  $f_T$  menší než  $f$  (kmitočet, na kterém chceme pracovat), použijeme zapojení SB. Je-li  $f_T$  větší než  $f$ , použijeme zapojení SE. V některých případech použijeme tranzistor v mezielektrodo-

vém zapojení. Toto zapojení popíši na konci článku.

U tranzistorového zesilovače nás nesmí překvapit, že se v závislosti na kmitočtu bude výstupní výkon klesat, až při určitém kmitočtu nebude výstupní výkon větší než výkon přiváděný. V tomto případě přestává tranzistor zesilovat.

Uvedené výpočty se na nízkých kmitočtech budou méně lišit od skutečnosti než na kmitočtech vysokých. Tato skutečnost je dána velkou změnou parametrů tranzistorů s rostoucím kmitočtem.

U křemíkových tranzistorů budou výstupní výkony přibližně o řád vyšší než u germaniových; je to dáno větší

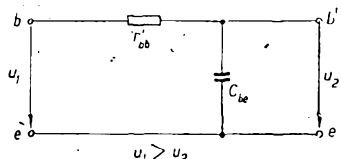
Tab. 1.

Typ	$r_{bb}' [\Omega]$	$U_{CEM} [V]$	$U_{CBM} [V]$	$C_{be} C [pF]$	$f_T [MHz]$	$I_{CM} [A]$	$P_{st} [W]$
KU601	5	50	60		20	2	10
KU602	5	80	120		20	2	10
KU605	2	80	200		12	10	50
KU607	2	80	210		19	10	70
KF504							
KF505							
KF506	35	katalog		15	50–90	0,5	2,6
KF507							
KF508							
KSY21	20–30	10	40	6	300	0,5	1,2
KSY62	20–30	15	25	5	200	0,2	1
KSY63	20–30	15	40		300	0,2	1
KSY34	20–30	40	60		250	0,6	2,6
KSY71	20–30	15	40	2,3–4	500–700	0,6	1,2
KSY81	20–30	12	12	6	400	0,2	1,2
KFY16							
KFY18	20	45	75		19–30	50–100	0,6
							2,6

povolenou teplotou přechodu a tím i lepší účinností tranzistoru.

Pro různé typy tranzistorů platí hodnoty podle tab. 1.

Vstupní obvod tranzistoru je tvoren odporem báze  $r_{bb}'$  a kapáctitou  $C_{be}$ . Tento prky tvoří dělič, jehož dělící poměr je závislý na kmitočtu (obr. 1). Na vnitřní bázi se proto dostává pouze část přivedeného napětí a toto napětí



Obr. 1. Náhradní schéma vstupního obvodu tranzistoru

klesá se vzrůstajícím kmitočtem. To způsobuje pokles  $v_f$  výkonu. Tento pokles můžeme do jisté míry vyrovnat zvýšením budicího výkonu, ale nakonec narazíme na maximální připustné napětí mezi bázemi a emitem. Součin odporu  $r_{bb}'$  a kapacity  $C_{be}$  udává velikost časové konstanty  $\tau$

$$\tau = r_{bb}' C_{be}$$

Tuto hodnotu budeme potřebovat pro návrh tranzistorového stupně. Čím je tato hodnota menší, tím větší bude mít tranzistor účinnost na vyšších kmitočtech.

Přibližné hodnoty časové konstanty pro různé typy tranzistorů jsou v tab. 2.

Tab. 2.

Typ	$\tau$
OC170	$6,6 \cdot 10^{-3}$
KU601-7	$2,5 \cdot 10^{-3}$
KF504-8	$2,5 \cdot 10^{-3}$
KSY21	$2 \cdot 10^{-3}$
KSY62	$2,5 \cdot 10^{-4}$
KSY71	$1,2 \cdot 10^{-3}$
KSY81	$1,5 \cdot 10^{-4}$
KFY18, KFY16	$1,6 \cdot 10^{-4}$

Protože na vyšších kmitočtech výkon klesá v oblasti velkých proudů  $I_C$  a malých napětí  $U_{CE}$  nebo  $U_{CB}$ , získáme z tranzistoru ještě menší výkon, než vypočítáme.

Poměrné snížení jmenovitého výkonu (kmitočtovou účinnost  $\eta_f$ ) pro různé

typy tranzistorů a různé kmitočty udává tab. 3.

Při návrhu vysokofrekvenčního stupně využíme postupujeme tímto způsobem:

Určíme potřebné napájecí napětí:

$$U_0 = \frac{1}{2} U_{CE} \text{ nebo } U_{CB} \text{ (podle zapojení SE, SB).}$$

Zanedbáváme saturací napětí  $U_{sat} \ll U_0$ . Vypočítanou velikost  $U_0$  snížíme na nejbližší hodnotu, která nám z praktického hlediska vyhovuje.

Určíme velikost  $I_{CM}$ ; budeme ho volit menší nebo rovný velikosti udávané výrobcem.

Skutečná velikost  $I_C$  je:

$$I_C = I_{CM} \eta_f \quad (\eta_f \text{ je kmitočtová účinnost}).$$

Velikost výstupního odporu bude:

$$R_{vyst} = \frac{2U_0}{I_C}.$$

Výstupní střídavý výkon je:

$$P_{st} = \frac{I^2 C_{vyst}}{8}.$$

Určíme max. velikost protékajícího stejnosměrného proudu:

$$I_0 = \frac{I_{CM}}{\pi}.$$

Vypočítáme velikost stejnosměrného příkonu:

$$P_{ss} = I_0 U_0.$$

Velikost výkonu rozptylovaného na kolektoru:

$$P' c = P_{ss} - P_{st}.$$

Tento výkon musí být menší než je maximální připustná ztráta na kolektoru.

Účinnost stupně bude:

$$\eta = \frac{P_{st}}{P_{ss}} \cdot 100 \quad [\%].$$

Při amplitudově modulovaném signálu s kolektorovou modulací musíme volit  $U_0$  poloviční oproti provozu CW a SSB.

Při použití dvoučinného koncového stupně platí:

$$R_{2vyst} = 2R_{vyst}.$$

$$P_{2st} = 2P_{st}.$$

$$R_{2vyst} = 2r_{bb}'$$

Výkonové zesílení je přibližně :

$$A_v = \frac{R_{vyst}}{r_{bb}'} \quad (\text{platí v zapojení s SB}).$$

Potřebný budicí výkon je:  $P_b = \frac{P_{st}}{A_v \eta_f}$

Pokud bychom chtěli přesněji vypočítat výkonové zesílení  $A_v$ , pak použijeme vztahu:

$$A_v = \frac{|j_{21}|^2}{(g_{22} + G_z)^2} \frac{G_z}{G_{vyst}}$$

$$|j_{21}| = \frac{|h_{21}|}{|h_{11}|}$$

$g_{22}$  výstupní vodivost tranzistoru,

$G_z$  zatěžovací vodivost, kterou tvoří rezonanční obvod a platí:

$$G_z = \frac{1}{R_{vyst}}.$$

Hodnota  $G_{vyst}$  je vstupní vodivost tranzistoru.

Tento vzorec platí v zapojení SB i SE za předpokladu, že není zavedena neutralizace. Platí pro střed propustného pásmá. Pokud použijeme neutralizaci nebo zapojení mezielektrodové, změní se poměry v zesilovači, takže bude platit:

$$G_{vyst} \doteq g_{11}.$$

Vzorec bude nadále platit za předpokladu, že  $G_z$  je mnohem větší než  $g_{22}$ . Vzorec pro  $A_v$  lze potom napsat takto:

$$A_v = \frac{|j_{21}|^2}{(g_{22} + G_z)^2} \frac{G_z}{g_{11}}$$

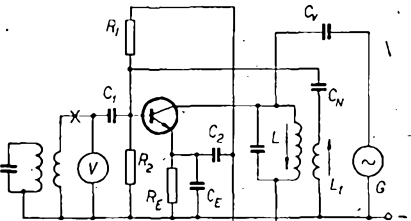
$g_{11}$  je vstupní vodivost tranzistoru a je dána v neutralizovaném stupni převrácenou hodnotou odporu  $r_{bb}'$ . Velikost vodivosti  $g_{22}$  se přibližně rovná:

$$g_{22} = \frac{1}{R_{22}} = \frac{I_0}{U_0}.$$

Pomocí parametru  $|h_{21}|$  se  $A_v$  přibližně rovná:

$$A_v = \frac{|h_{21}|^2}{r_{bb}' r_{bb} N} \frac{G_z}{g_{11}} ; N = (g_{22} + G_z)^2$$

U výkonových stupňů mnohdy neutralizaci nepotřebujeme, protože zatěžovací impedance jsou malé. Při neutralizaci kompenzujeme kapacitu  $C_{be}$ . Při dokonalé neutralizaci neovlivňuje výstupní obvod obvod vstupní. Používám paralelní neutralizaci (obr. 2). Způsobu



Obr. 2. Paralelní neutralizace tranzistorového výstupního obvodu

jejího nastavení je několik, popíše jeden z nejjednodušších:

- 1) Odpojíme vstupní rezonanční obvod v bodě označeném křížkem.
- 2) Na kolektorovou číve navineme 1/2 až 1/3 počtu závitů vinutí  $L_1$ . Vinutí je označeno  $L_1$ . Musí být vinuto v opačném směru nebo je při zapojování nutné zaměnit vývody.
- 3) Ke kolektoru zapojíme přes vazební kondenzátor  $C_v$  generátor, pracující na požadovaném kmitočtu.

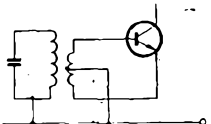
Tab. 3.

Typ	1,8 MHz	3,5 MHz	7 MHz	14 MHz	21 MHz	28 MHz	145 MHz
KF504-8	0,92	0,78	0,45	0,1	—	—	—
KSY21	1	1	1	1	0,98	0,96	0,9
KSY62	1	1	1	1	0,98	0,96	0,9
KSY71	1	1	1	1	1	1	0,98
KSY81	1	1	1	1	1	1	0,97
KFY16	1	1	1	0,98	0,96	0,92	0,8
KFY18	1	1	1	0,98	0,96	0,92	0,8
KU602	0,97	0,86	0,7	0,4	0,2	—	—
KU605	0,95	0,82	0,58	0,25	—	—	—
KU607	0,96	0,85	0,65	0,3	—	—	—
KSY34	1	1	1	1	1	1	0,9
OC170	1	1	1	0,97	0,6	0,45	0,24

- 4) Do báze zapojíme vf voltmeter nebo detekční sondu, připojenou k mikroampérmetru. V AR bylo několik takových pomůcek popsáno.  
 5)  $C_N$  měníme tak dlouho, až indikátor ukáže nejmenší výchylku.

Tento postup platí i pro jiné druhy neutralizace. V zapojení SB neutralizace nepoužíváme.

Mnohdy je výhodnější použít tranzistor v zapojení mezielektrodovém. Vyrovná se plně neutralizovanému zesilovači, ale má větší zesílení  $A_v$  (obr. 3).



Obr. 3. Mezielektrodové zapojení

Takto vyvážený zesilovač můžeme používat až do stovek MHz. Polohu odbočky určíme zkusmo, protože přesný výpočet je pro amatéra prakticky neprovitelný. Odbočku nastavíme na střed a odzkušíme. Potom ji posouváme od středu na jednu i druhou stranu; sami poznáme, na které straně je lepší výsledek. Můžeme také postupovat a měřit jako při nastavování neutralizace.

#### Návrh vazebních obvodů

Tento návrh je poněkud obtížnější, ale je nutný, protože ještě chceme využít maximální účinnosti přenosu energie a dostat do antény co největší střídavý výkon.

Pro snadnější orientaci ve vzorcích budeme dosazovat v nF, k $\Omega$ , MHz, mS. Jednotka mS je jednotkou vodivosti. Vodivost vypočítáme ze vztahu:

$$G = \frac{1}{R} \quad [\text{mS}, \text{k}\Omega].$$

Nejprve zvolíme celkovou kapacitu obvodu:

$$C_0 = C_L + C_p,$$

$C_0$  je celková kapacita obvodu,  $C_L$  kapacita v laděném obvodu,  $C_p$  parazitní kapacita, závislá na konstrukci. Její velikost se pohybuje mezi 10 až 50 pF.

Dále vypočítáme indukčnost cívky:

$$L_0 = \frac{25,4}{f_0^2 C_0} \quad [\mu\text{H}; \text{MHz}, \text{nF}],$$

$L_0$  je indukčnost cívky,  $f_0$  pracovní kmitočet,  $C_0$  obvodová kapacita.

Můžeme postupovat i obráceně, tj. volíme indukčnost a k ní vypočítáme protěrnou kapacitu.

Určíme vodivost nezatíženého obvodu:

$$G_0 = \frac{\omega_0 C_0}{Q_0} \quad [\text{mS}; \text{nF}],$$

$G_0$  je vodivost nezatíženého obvodu,  $\omega_0$  krúhový pracovní kmitočet,  $Q_0$  jakost nezatížené cívky (pohybujeme se u běžných cívek od 50 až 150). Pokud nemůžeme velikost  $Q_0$  změřit, budeme počítat s hodnotou 100.

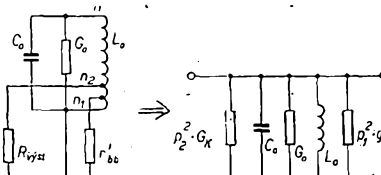
Celková vodivost, která zatlumuje obvod, se skládá z:

$$G_t = G_0 + p_1^2 g_{11} + p_2^2 G_z$$

$$G_z = \frac{1}{R_{vyst}}$$

$g_{11} = \frac{1}{r_{bb}},$   
 $p_1, p_2$  jsou hodnoty převodů ze vstupní a výstupní strany,  
 $g_{11}$  vstupní vodivost následujícího stupně nebo antény,  
 $R_{vyst}$  zatěžovací odpor (vypočítáme při návrhu zesilovače).

Nakreslíme náhradní schéma obvodu (obr. 4).



Obr. 4. Náhradní schéma vazebního obvodu (označení vstupní vodivosti m a vodivost Gz)

Aby přenos energie měl maximální účinnost, musí platit, že přetransformovaná vstupní vodivost  $p_2^2 G_z$  se musí rovnat přetransformované výstupní vodivosti  $p_1^2 g_{11}$ , to znamená, že  $R_{vyst}$  musí zatěžovat obvod stejně, jako vstupní odpor následujícího stupně.

Na celkové tlumící vodivosti se podílí přetransformovaná vstupní a výstupní vodivost podílem, který nazveme  $m$ .

Pak platí:

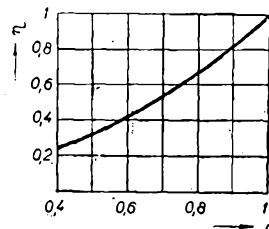
$$m = \frac{p_1^2 g_{11} + p_2^2 G_z}{G_t}.$$

Cím menší bude hodnota  $m$ , tím bude jakostnější obvod i zesilovač, ale zesílení bude malé pro malou účinnost vazebního obvodu.

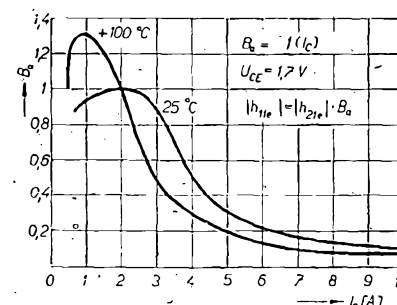
Účinnost vazebního obvodu bude:

$$\eta_0 = \frac{m}{2-m}; \quad m = \frac{2\eta_0}{1+\eta_0}.$$

Tato účinnost platí pro střed propustného pásma. Budeme ji vypočítáme nebo určíme z grafu č. 1. Hodnotu  $m$  budeme volit v rozmezí 0,75 až 0,95.



Graf 1. Určení účinnosti z velikosti parametru  $m$



Graf 2. Závislost relativní velikosti proudu v rezistoru  $R_b$  na  $I_c$  při teplotě okolo 25 °C a 100 °C

Vypočítáme hodnoty převodů nebo je určíme z grafu č. 2.

$$p_1^2 g_{11} = p_2^2 G_z = \frac{G_0}{2} \frac{m}{1-m} = \\ = x = \frac{0,5 G_0 m}{1-m}.$$

Vypočítáme  $G_t$  (tlumící vodivost) a určíme šířku pásma:

$$G_t = 2x + G_0$$

$$Q_z = \frac{\omega_0 C_0}{G_t}$$

$$B = \frac{f_0}{Q_z},$$

$Q_z$  je jakost zatíženého obvodu (pohybuje se v rozmezí 5 až 15).  $B$  je šířka pásma (pro pokles 3 dB), tj. pro 75 % výstupního výkonu.

Vypočítáme hodnoty převodů:

$$p_1 = \sqrt{\frac{x}{g_{11}}}, \quad p_2 = \sqrt{\frac{x}{G_z}}.$$

Počty závitů na odbočkách jsou:

$$n_1 = np_1$$

$$n_2 = np_2.$$

V praxi používáme často vazební cívku místo přímé vazby na odbočku. Počet závitů vazební cívky určíme ze vztahu

$$n_1 = \frac{np_1}{k},$$

kde  $k$  je činitel vazby. Činitel vazby se pohybuje u feritových hrnčíků v rozmezí 0,85 až 0,95, u hrnčíků z práškového železa 0,7 až 0,85, u otevřených jáder z feritu nebo práškového železa 0,4 až 0,7, u válcových cívek s práškovým nebo feritovým jádrem 0,3 až 0,5.

Vyjdě-li šířka pásma malá, zatlumíme obvod odporem nebo zvětšíme poměr  $\frac{L}{C}$  laděného obvodu.

Vyjdě-li šířka pásma velká, použijeme kvalitnější cívku nebo zmenšíme poměr  $\frac{L}{C}$  laděného obvodu.

Při velké šířce pásma můžeme také zmenšit hodnotu  $m$  (a naopak).

Při výpočtu tranzistorového zesilovače uvažujeme vstupní impedanci

$$g_{11} = \frac{1}{r_{bb}}.$$

Jako výstupní impedanci uvažujeme (pro třídu B a C)

$$R_{vyst} = \frac{U_{CE}^2}{2P_{st}} \quad [\Omega; \text{V}, \text{W}],$$

$$G_z = \frac{1}{R_{vyst}} \quad [\text{mS}, \text{k}\Omega].$$

Protože účinnost vazebního obvodu není 100 %, snižuje se vypočítaný střídavý výkon:

$$P'_{st} = P_{st} \eta_v, \text{ kde}$$

$P'_{st}$  je skutečný střídavý výkon,  $\eta_v$  účinnost vazebního obvodu.

Pro výstupní obvody můžeme použít také zapojení vazebních obvodů, popsaných v AR 6/69, str. 233. Jsou vhodné pro vazbu s anténonou, pro větší výkony a pokud se kapacita kolektoru příliš nemění s napětím  $U_{CE}$ .

### Praktický výpočet KV vysílače

Máme navrhnut koncový a budicí stupeň pro pásmo 80 m. Na koncovém stupni použijeme tranzistor KU607.

Hodnoty potřebné k výpočtu:

$$f_0 = 3,5 \text{ MHz},$$

$$\omega_0 = 22,8 \text{ s}^{-1}.$$

Nejprve vypočítáme koncový stupeň. Tranzistory typu KU pracují na výkmitočtech nejlépe při  $U_{CE} = 40$  V. Při tomto napětí můžeme také stupeň amplitudově modulovat v kolektoru.

#### Parametry KU607

$U_{CB}$  210 V,  
 $r_{bb'}$  2  $\Omega$ ,  
 $C_{bc}$  pro 40 V je kapacita 200 pF,  
 $I_{CM}$  10 A,  
 $f_T$  19 MHz,  
 $R_z$  70  $\Omega$  (anténa),  
 $P_c$  70 W s ideálním chlazením.

Použijeme mezielektrodotové zapojení nebo zapojení SE s neutralizací.

Je-li mezi bází a emitorem pouze vinutí cívky, můžeme uvažovat, že platí  $U_{CB} \doteq U_{CE}$ .

Kmitočtová účinnost na 3,5 MHz je pro KU607  $\eta = 0,85$ .

Napájecí napětí zvolíme  $U_0 = 40$  V. Kolektorový proud volíme menší než 10 A, protože by vyšla velká kolektorová ztráta.

Volíme  $I_{CM} = 7$  A.

Vypočítáme velikost  $I_C$

$$I_C = I_{CM} \eta_t = 7,0,85 \doteq 6 \text{ A.}$$

Odpór  $R_{výst}$  bude:

$$R_{výst} = \frac{2U_0}{I_C} = \frac{2 \cdot 40}{6} \doteq 13,3 \Omega.$$

Výstupní střídavý výkon bude:

$$P_{st} = \frac{I_C^2 R_{výst}}{8} = \frac{36,13,3}{8} \doteq 60 \text{ W.}$$

Velikost stejnosměrného protékajícího proudu:

$$I_{ss} = \frac{I_{CM}}{\pi} = \frac{7}{3,14} \doteq 2,2 \text{ A.}$$

Vypočítáme velikost stejnosměrného príkonu:

$$P_{ss} = I_{ss} U_0 = 2,2 \cdot 40 = 88 \text{ W.}$$

Velikost výkonu rozptylovaného na kolektoru:

$$P_C = P_{ss} - P_{st} = 88 - 60 = 28 \text{ W}$$

Pro KU607 je povolen  $P_c = 70$  W, platí ovšem pro ideální chlazení. Můžeme zvětšit výkon tím, že zvětšíme hodnotu  $I_{CM}$ , ale musíme zabezpečit dokonale chlazení.

Účinnost stupně je:

$$\eta = \frac{P_{st}}{P_{ss}} \cdot 100 = \left( \frac{60}{88} \right) \cdot 100 = 68 \%$$

Vypočítáme výkonové zesílení: hodnota  $h_{21e} = |8|$  platí pro velké proudy.

$$G_z = \frac{1}{R_{výst}} = \frac{1}{13,3} = 0,076 \text{ S,}$$

$$g_{22} = \frac{I_{ss}}{U_0} = \frac{2,2}{40} = 0,055 \text{ S,}$$

$$g_{11} = \frac{1}{r_{bb'}} = \frac{1}{2} = 0,5 \text{ S,}$$

$$A_v = \frac{|h_{21}|^2}{r_{bb'}^2(g_{22} + G_z)^2} \frac{G_z}{g_{11}} = 140.$$

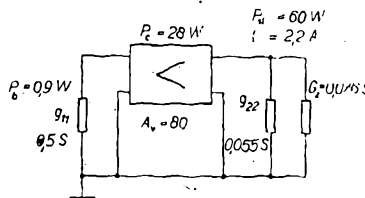
Toto výkonové zesílení by měl stupeň při ideální neutralizaci a ideálním

nastavení všech parametrů zesilovače. Protože ideálního stavu nedosáhneme, musíme počítat se zesílením menším, a to o 30 až 50 %, tj. asi 80.

Potřebný budicí výkon bude:

$$P_b = \frac{P_{st}}{A_v \eta_t} = \frac{60}{80 \cdot 0,85} \doteq 0,9 \text{ W.}$$

Schéma zesilovače je na obr. 5.



Obr. 5. Schéma koncového zesilovače

Hodnota tlumící vodivosti bude:

$$G_t = 2x + G_0 = 2,0,515 + 0,114 = 1,14 \text{ mS.}$$

Cinutel jakosti zatíženého obvodu

$$Q_z = \frac{\omega_0 G_0}{G_t} = \frac{22,8 \cdot 0,114}{1,14} = 2,28.$$

Hodnota  $Q_z$  nám vyšla velmi malá, šířka pásmo byla velká. Tento obvod by snadno propousťel i harmonické kmitočty. Musíme zvýšit  $Q_z$  obvodu. Zmenšíme kapacitu  $C_0$  a hodnotu parametru  $m$ ; zvolíme  $C_0 = 300 \text{ pF}$  a  $m = 0,85$ .

Zopakujeme celý výpočet:

$$P_{b'} = \frac{0,9}{0,57} = 1,6 \text{ W;}$$

$$\eta_v = \frac{m}{1-m} = \frac{0,85}{1-0,85} = 0,57,$$

$$R_{výst-v} = \frac{144}{2 \cdot 1,6} = 45 \Omega \quad (\text{b}),$$

$$C_0 = 300 + 20 = 320 \text{ pF},$$

$$L_0 = \frac{25,4}{12,25 \cdot 0,32} = 6,5 \mu\text{H},$$

$$G_0 = \frac{\omega_0 C_0}{Q_0} = \frac{22,8 \cdot 0,32}{80} = 0,091 \text{ mS},$$

$$x = \frac{0,091 \cdot 0,85}{2 \cdot (1-0,85)} = 0,26,$$

$$G_t = 2,0,26 + 0,091 = 0,61 \text{ mS},$$

$$Q_z = \frac{22,8 \cdot 0,32}{0,61} = 14.$$

Šířka pásmo bude:

$$B = \frac{f_0}{Q_z} = \frac{3,5}{14} = 0,26 \text{ MHz.}$$

Tato šířka pásmo nám vyhovuje.

Vypočítáme převodové poměry  $p_1$  a  $p_2$ :

$$p_1 = \sqrt{\frac{x}{g_{11}}} = \sqrt{\frac{0,26}{500}} = 0,302,$$

$$p_2 = \sqrt{\frac{x}{g_K}} = \sqrt{\frac{0,26}{22}} = 0,108,$$

$$n_2 = np_2 = n \cdot 0,108 \text{ záv.}$$

Koncový stupeň není buzen z odbočky, ale zvláštním vazebním vinutím. Počet závitů vazební cívky je

$$n_1 = \frac{np_1}{k} = \frac{n \cdot 0,302}{0,4} = n \cdot 0,06 \text{ záv.}$$

Výpočtem jsme tedy zjistili, že odbočka pro kolektor bude na 1/10 závitů a vazební vinutí pro koncový tranzistor bude mít 6 % závitů cívky  $L_0$ .

Výstupní obvod pro KU607 vyřešíme podle AR 6/69. Můžeme jej také řešit způsobem, který jsem popsal. Oba způsoby jsou rovnocenné, zvolíme ten, který je konstrukčně výhodnější.

#### Výpočet budicího stupně

Při výpočtu vycházíme z potřebného výstupního výkonu  $P_{b'} = 1,6 \text{ W}$ . Zvolili jsme tranzistor KSY21 a napájecí napětí 12 V. Kmitočtová účinnost je  $\eta_t = 1$ .

Jestliže:

$$R_{výst} = \frac{2U_0}{I_C}, \text{ pak platí } I_C = \frac{2U_0}{R_{výst}},$$

$$I_C = \frac{2,12}{45} = 0,53 \text{ A,}$$

Zvolíme celkovou kapacitu obvodu:

$$C_0 = C_L + C_p = 400 + 20 = 420 \text{ pF.}$$

Kapacitu kondenzátoru v laděném obvodu jsem volil 400 pF.

U tranzistorových obvodů volíme kapacity větší než u obvodů s elektronkami.

Indukčnost  $L_0$  bude:

$$L_0 = \frac{25,4}{f_0^2 C_0} = \frac{25,4}{12,25 \cdot 0,42} = 4,7 \mu\text{H}.$$

Cívku navineme válcově na kostičku s feritovým jádrem, činutel jakosti  $Q_0$  bude přibližně 80.

Vypočítáme hodnotu vodivosti  $G_0$ :

$$G_0 = \frac{\omega_0 C_0}{Q_0} = \frac{22,8 \cdot 0,42}{80} = 0,114 \text{ mS.}$$

Vypočítáme hodnotu parametru  $x$ :

$$x = \frac{G_{0m}}{2(1-m)} = \frac{0,114 \cdot 0,9}{2(1-0,9)} = 0,515.$$

$$I_{CM} = 0,53 \text{ A.}$$

Tranzistor by byl proudově přetížen, protože výrobce udává  $I_{CM} = 0,5 \text{ A}$ . Proto nepatrné snížíme výkon.

$$P = \frac{I_{CM}^2 R_{VYST}}{8} = \frac{0,25 \cdot 45}{8} = 1,4 \text{ W.}$$

Výstupní výkon koncového stupně tím může klesnout, ale nemusí, protože přesná hodnota  $A_v$  může být větší, než jsme uvažovali. Stejnosměrny proud, protékající tranzistorem:

$$I_{ss} = \frac{I_{CM}}{\pi} = \frac{0,5}{3,14} = 0,16 \text{ A.}$$

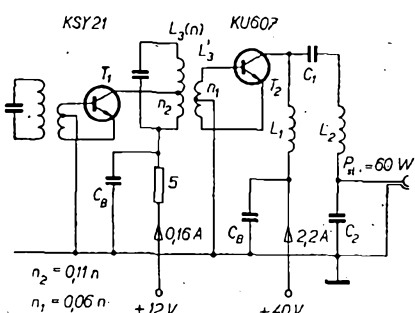
Příkon stupně:

$$P_{ss} = I_{ss} U_0 = 0,16 \cdot 12 = 1,92 \text{ W.}$$

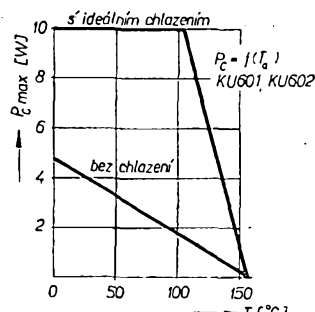
Výkon rozptylovaný na kolektoru tranzistoru:

$$P_C = P_{ss} - P_{st} = 1,92 - 1,4 = 0,52 \text{ W.}$$

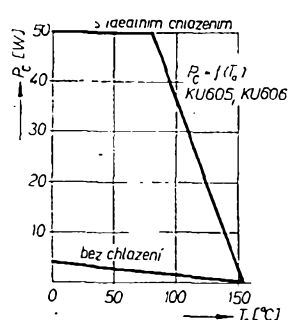
Velikost výkonového zesílení pro zapojení SB je:



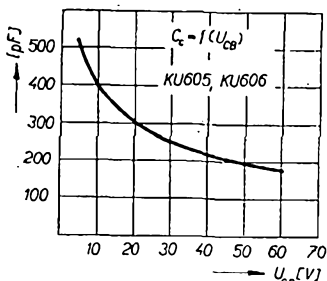
Obr. 7. Celkové schéma zesilovače



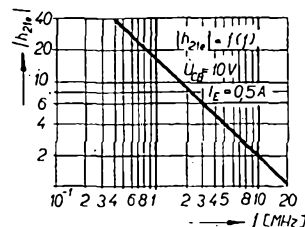
Obr. 8. Závislost celkového mezního ztrátového výkonu tranzistorů KU601, KU602 na teplotě okolí



Obr. 9. Závislost celkového mezního ztrátového výkonu tranzistorů KU605, KU606 na teplotě okolí



Obr. 10. Kapacita kolektoru tranzistorů KU605, KU606, v závislosti na  $U_{CB}$



Obr. 11. Závislost proudového zesilovačního činitele tranzistorů KU605, KU606 na provozním kmitočtu

### Literatura

- [1] Čermák, J.; Navrátil, J.: Tranzistorová technika. SNTL – Praha 1967.
- [2] Hošek, Z.; Pejskar, J.: Vysokofrekvenční tranzistorové zesilovače. SNTL – Praha 1967.
- [3] Kvantitativní údaje o účinném chlazení tranzistorů. ST 1/63, str. 30.
- [4] Geryk, C.: Návrh tranzistorových výkonových zesilovačů pro VKV. AR 6/69, str. 233.
- [5] Aktivní stavební prvky č. I. Tesla Rožnov – prosinec 1967.
- [6] Vojta, L.; Tichý, J.: 30 W vf zesilovač s negativní zpětnou vazbou. ST 9/66, str. 325.



### OK DX CONTEST 1970

Jeden operátor, všechna pásmá

CR6AI	185	167	33	8 811	DL9DU	109	189	4	756
DJ7HZ	256	378	47	17 766	DM4VNJ	129	258	4	1 032
DM3PEL	300	430	31	13 330	HA8CH	120	262	3	786
F8SF	42	66	13	858	OK2BHX	334	312	7	2 184
G3NSY	252	467	23	10 741	OK2BKV	348	318	6	1 908
HA4YF	280	418	26	10 868	OKIAVI	287	273	5	1 365
HB9DD	19	35	7	245	OK1ARH	230	217	6	1 302
JA1SR	42	42	23	966	OK1ASE	178	171	6	1 026
LA2Q	190	310	18	5 580	SP6TQ	364	493	8	3 944
LZ1DZ	622	884	41	36 244	UW3LN	45	62	4	248
OE3AX	75	141	16	2 256	UT5MD	212	346	6	2 076
OH7SX	84	134	12	1 608	UC2WG	180	258	4	1 032
OK2RZ	616	599	78	46 722	UO5BS	53	71	3	213
OK2QX	421	410	56	22 960	UP2OE	262	430	6	2 580
OK1NR	276	268	53	14 204	UQ2GW	245	368	6	2 208
OK2ABU	423	416	34	14 144	UR2RX	43	61	4	244
OK1AGI	304	302	41	12 382	Y06XK	18	34	2	68
OD5BA	265	315	30	9 450					
OZ4FF	211	362	32	11 584					
PA0TA	11	30	2	60					
PY8EL	103	159	16	2 544					
SM5BNX	222	353	15	5 295					
SP8HR	199	247	23	5 681					
UW3HV	574	773	52	40 196					
UA2DM	295	457	31	14 167					
UW9AI	350	511	27	13 797					
UB5MZ	304	528	19	10 032					
UC2AT	124	324	8	2 592					
UD6BW	232	323	24	7 752					
UH8BO	84	107	18	1 926					
UL7LE	99	128	10	1 280					
UO5GS	225	351	25	8 775					
UP2PAO	607	896	60	53 760					
UQ2PA	155	309	11	3 399					
VE2IL	5	6	3	18					
VS6AF	146	191	19	3 629					
W6DQX	37	50	19	950					
YO6AWR	127	166	18	2 988					

Jeden operátor, pásmo 3,5 MHz:

DJ5QK	43	89	4	356
DM2BNL	106	156	4	624
HA3GO	204	229	9	2 061
I1ZGA	33	43	4	172
JH1DMR	10	10	7	70
LZ1SS	236	350	11	3 850
OK2BOB	347	342	20	6 840
OK3CEG	389	337	15	5 055
OK1DC	340	322	12	3 864
OK1AMI	318	318	12	3 816
OK1ATT	243	243	13	3 159
SP9AAB	93	163	4	652
UA3LM	272	372	11	4 092
UA2DC	24	44	3	132
UV9CO	117	169	9	1 521
UB5IF	209	308	15	4 620
UC2OR	84	101	3	303
UL7JE	67	99	9	891
UM8FM	51	63	8	504
UO5GR	53	101	5	505
UQ2GBC	35	33	4	132
Y02ASX/0	211	301	7	2 107
YU1SF	147	200	7	1 400
4Z4FH	46	86	4	344

Jeden operátor, pásmo 7 MHz:

DL8IH	28	34	7	238
DM3XUP/p	63	73	8	584
HA8QC	110	148	8	1 184

Jeden operátor, pásmo 14 MHz:

DJ3VC	48	110	3	330
OK1ATP	57	46	4	184
OK1FAB	37	33	3	99
OK1JAX	43	32	3	96
OK1DVK	30	20	3	60
OK3ZMT	15	12	3	36

IIFGP	99	125	12	1 500
LA8OM	53	81	6	486
LZ1AG	217	332	11	3 652
OB92QJ	80	121	6	726
OH5RZ	138	202	6	1 212
OK1FV	287	262	23	6 026
OK1EG	257	257	20	5 140
OK1BY	179	174	21	3 654
OK1IAG/3	217	203	18	3 564
OK3ALE	184	181	16	2 896
OZ4HW	75	113	8	904
PA0JR	76	124	13	1 612
PJ2RB	33	41	11	451
PY7AEW	34	47	10	470
SM6JY	17	38	2	76
SP8CP	117	146	11	1 606
UA6LAC	280	407	14	5 698
UA9QAA	135	183	8	1 464
UB5VV	249	373	18	6 714
UC2CY	196	280	11	3 080
UD6CN	128	169	11	1 859
UF6DD	177	271	7	897
UG6EA	16	24	5	120
UH8DK	48	56	9	504
UJ8AH	47	63	11	693
UL7XI	168	205	12	2 460
UM8MAL	30	32	8	256
UP2AW	117	180	6	1 080
UQ2NW	72	72	6	432
UR2GT	20	40	4	160
W4JUK	5	5	5	25
Y09APK	106	148	9	1 332
ZE1CU	239	299	30	8 970

#### Jeden operátor, pásmo 21 MHz:

DM2AYK/9AAK	76	77	13	1 001
JAX1G	109	118	22	2 596
OH1LU	134	224	9	2 016
OK1FAK	130	118	21	2 478
OK2PBI	111	104	20	2 080
OK1GT	119	115	18	2 070
OK3CFA	112	112	17	1 904
OK2BK1	117	110	17	1 870
OZ7XG	29	31	10	310
PA0ABM	90	106	19	2 014
SP6AQ	45	47	10	470
UA4QX	171	249	15	3 735
UA9CN	40	66	5	330
UB5TQ	154	236	20	4 720
UC2WP	227	302	21	6 342
UJ8AB	60	82	13	1 066
UR2OV	17	29	7	203
YO3JW	80	104	12	1 248
YU1INTO	57	59	13	767
4Z4NBS	22	36	3	108

#### Jeden operátor, pásmo 28 MHz:

DM2DEO	20	19	6	114
JAH2ZT	16	18	7	126
LZ1BM	122	124	16	1 984
OK3AS	63	60	14	640
OK1MGW	44	44	13	572
OK2PAF	56	48	10	480
OK3EE	43	39	11	429
OK1SV	25	24	14	336
OZ5KD	8	8	2	16
PA0UV	18	18	5	90
SM4CJY	18	17	7	119
SP3AOT	17	16	8	128
UW4NP	110	129	14	1 806
UW9WB	80	113	12	1 356
RB5VAS	38	38	11	418
UC2DO	14	14	4	56
RJ8JBR	142	158	20	3 160
UM8MAA	67	86	8	688
UO5GQ	28	28	12	336
UP2PAD	74	74	15	1 110
YO2IS	32	32	12	384
YU4VFC	89	88	18	1 584

#### Vice operátorů, všechna pásmata:

DJ2ZS	148	230	30	6 900
DM5DL	203	329	15	4 935
HABKUX	343	438	34	14 892
LZ2KDO	298	510	22	11 220
OK3KAS	459	438	41	17 958
OK3KAG	400	397	39	15 483
OK2KYD	331	329	33	10 857
OK1KYS/p	258	257	36	9 252
OK1KOK/p	250	239	36	8 604
SP2KDS	247	442	17	7 514
UK4LAA	523	780	50	39 000
UK2FAS	48	69	4	276
UK9CAM	286	357	24	8 568
UK5IAZ	583	865	48	41 520
UK2AAG	441	641	20	12 820
UK6DAU	67	113	9	1 017
UK6QAA	203	285	15	4 275
UK7GAB	123	149	16	2 384
UK2BBB	356	586	35	20 510
UK2GAA	360	512	31	15 872
UK2RAN	325	477	18	8 586
Y06KBM	49	77	4	308
YU3CDE	502	709	44	31 196

(značka stanice, počet QSO, počet bodov za QSO, počet násobičov, celkový výsledok), z každej zeme sú uvedené iba víťazné stanice, z OK prvých päť staníc.)

OK1IQ

Z DX žebříčku vystoupil jeho dlouhodobý účastník, posluchač OK2-3868. Získal oprávnení k provozu vlastní vysílací stanice pod značkou OK2PBX. Poslal nám k této příležitosti dopis, z kterého stojí za to mnohé očitovat. Je důkazem, kam až lze dojet systematickou a cílevědomou prací; domnivame se, že výsledky, kterých OK2-3868 dosáhl za dobu své posluchačské činnosti, jsou opravdu unikátní.

Z jeho dopisu jsme vybrali:  
 „Byl jsem posluchačem od roku 1957. Ve 13 letech jsem začínal na OK2KG. I když jsem se nezúčastnil na honbu za diplomy, chtěl si co nejvíce povztržených zemí a vždy jsem si postupně stanovil vyšší počet. Nejprve 100, 200, a nakonec 300 zemí, což se mi zdálo skoro nemožné. Ale nakonec i to se mi dokázalo jako reálná možnost. A tak jsem si stanovil další cíl, dosáhnout všech povztržených zemí DXCC. Nedělal jsem si žádnu iluze, protože od „dolarových“ expedic jsem velmi těžko dostával QSL. Dnes ale mohu s radostí oznámit, že se mi podařilo. V současné době mám tedy potvrzeny všechny země DXCC.“

Po dosažení všech zemí jsem si dal další cíl, získat ještě 300 zemí na SSB. Byla to perná práce. Stav 286 (329) není úplný, ale ty země určitě ještě přijdou.

Za tu dobu jsem získal celou řadu přátel, kteří mi nejen poradili, ale také pomohli, ať již s urgencí QSL, dopisem apod. Cením si přátelství s W4ECI, W0BN, KH6GLU, W4TAJ, ZL2AFZ, KV4AA, YV5ANE atd. Jejich celá řada.

Když jsem posílal QSL pro vzácnou stanici, vždy jsem příspal pář slov, proč mu vlastně QSL posílám, jakou cenu pro mne má, a několik slov o sobě. Myslím, že každý opravdový amatér je potěšen pěkně vyplňeným QSL s poznámkami o poslechu atd.

Velmi si cením QSL od 1M4AA, 1S9WNV, F08M, VRIP, ZS2MI, HK0TU, T19CF, 1H4C, YB1BC, ZA2RPS a LI2B z papyrusového voru RA od Thora Heyerdahla. Nejdříve času, že jsem tomu věnoval. Myslím, že i takto se dají získat cenné zkušenosti a budou to pěkné vzorky.

Závěrem přejí všem hodně zdraví a spokojenosti a ašpon takové minění o všech amatérach, jak mi to napsal W9VZP, který tvrdí, že OK-A JA boys jsou nejlepší na světě.“

Co k tomu dodat? Dopis byl psán pro OK1CX, ten si jej bohužel již nemohl přečíst. Nedalo mi však, abych pář hezkých myšlenek z toho dopisu nedal přečíst vše.u. Je vidět, že Toník pracoval systematicky. Přejí mu hodně úspěchů mezi OK a těším se na QSO.

OK1IQ

**Radioamatéři k 20. výročí Svazarmu**  
 Svatý radioamatérů (ČRA) Svazarmu ČSR výhlašuje pro všechny československé radioamatéry závod na počest 20. výročí Svazarmu.

**Datum:** 22. května 1971.  
**Doba:** 05.00 až 07.00 SEČ.  
**Pásmo:** 1,8 MHz, 3,5 MHz, 144 MHz, provoz a příkon podle povolovacích podmínek.

**Předávaný kód:** RS1 (RS) a poradové číslo spojení počítajte 001 na každém pásmu zvlášť.

**Bodování:** za každé úplné vzájemné potvrzené spojení jeden bod za každé písmeno z volací značky protistanic, které je obsaženo v názvu „Radioamatér k výročí Svazarmu“.

**Kategorie:** jeden operátor, více pásem, jeden operátor, jedno pásmo, více operátorů, více pásem,

Všechny kolektivní stanice mohou soutěžit pouze v kategorii více operátorů, více pásem.

**Deníky:** je nutno zaslát nejdříve do 5. 6. 71 na adresu ÚRK.

Výsledek tvoří součet bodů ze všech pásem.

**Východoslovenský VKV závod 1971**  
 VKV odbor okresnej rady Zväzu rádioamatérov Slovenska v Košicích usporiadala za účelom overeňania zariadenia a zvýšenia aktivity na VKV pásmach Východoslovenský VKV závod. K účasti v tomto závode pozýva československé záhraničné rádiotelekomunikačné stanice.

**Závod sa uskutoční za týchto podmienok:**

1. Dátum preteku a doba preteku:

I. etapa od 18.00 GMT 5. 6. 1971 do 04.00

GMT 6. 6. 1971

II. etapa od 04.01 GMT do 14.00 GMT

6. 6. 1971

V každej etape je možno naviazať s tou istou stanicou jedno platné QSO.

2. Súťaží sa v pásmu 145 MHz v týchto kategóriach:

A - stanice s max. příkonem 1 W bez použitia elektrovodnic sítě

B - stanice s max. příkonem 5 W, lubovoľné napájanie

C - stanice s příkonem podľa povolovacích podmienok

Stanice súťažiacie v kategórii A a B môžu súťažiť z lubovoľného QTH, stanice v kategórii C len ze stálého QTH a nesmú používať úsek pásm 144,00 až 144,15 MHz, ktorý je určený len pre CW spojenia staníc súťažiacich v kategórii A a B.

3. Z tej istej kóty (prech. QTH) môže pracovať i viac staníc po vzájomnej dohode. V prípade, že je možné dosiahnuť dohodu, má na kóto kóto pridelenú - schválenú pre PD 1971 Ústredným rádioklubom tej oblasti alebo štátu, v ktorom sa kóta nachádza.

4. Súťaží sa typom: A1, A3, A3A (SSB) a F3

Výzva do závodu: telegraficky CQ V, sonicky VKV VÝZVA VÝCHOD.

6. Pri súťažnom spojení sa vymieňa kód zložený z RS alebo RST, písma označujúce súťažnú kategóriu, poradového čísla spojenia a QRA. Napr. 579 B 001 K108c

7. Za spojenie vo vlastnom veľkom QRA štvorcí sa počítajú 2 body, za spojenia v susednom pásmu veľkých štvorcov 3 body, v nasledujúcom 4 body atď. Násobičmi je počet veľkých štvorcov, s ktorým bolo počas závodu dosiahnuté spojenie.

Priklad bodovania:

5 4 4 4 4 4 4 5

5 4 3 3 3 4 5

5 4 3 2 3 4 5

5 4 3 3 3 4 5

5 4 4 4 4 4 5

8. Súťažné denníky musia obsahovať všetky náležnosti formulára „VKV súťažný denník“. Ďalej musia obsahovať podpisane čestné prehlásenie o dodržaní povolovacích a súťažných podmienok.

9. Súťažné denníky musia byť odeslané najpozdejšie do 17. 6. 1971 na adresu VKV referenta: OK3CDI, Ondrej Oravec, Slobody 31, Košice.

10. Vyhotovenie bude urobené do 31. 8. 1971. Všetky vyhotovené stanice obdržia pohľadnicu mesta Košice s potvrdením o účasti v tomto závode. Prvých 10 staníc v každej kategórii obdržia diplom, prvé tri stanice v kategórii A a obdržia medailu. Výsledky sú v kategórii A a obdržia každý účastník.

11. Stanice, ktoré behom súťaže porušia povolovacie alebo súťažné podmienky, budú diskvalifikované. Rozhodnutie súťažnej komisie v sporových prípadoch je konečné.

OK3CDI

Rubriku vede Alek Myslik, OK1AMY, p. s. 15, Praha 10

Jak jste se již asi všichni dovíděli, byly pro tento rok zrušeny telegrafní pondělky i OK, OL a RP liga. Jak jsem se informoval na ÚRK, rozhodl tak odbor KV UV ČRA a důvodem byla obzvlášť v případě TP velmi malá účast na těchto závodech. Mám-li se přiznat, i mně to mrzelo, obzvlášť proto, že jsem se chystal letos do TP opět vyjet: „Nicméně údaje se „vymyslí“ nejaký jiný závod, který by TP nahradil. Myslím, že bychom i my mohli přispět svoji troškou do milovy. Na toto téma mi napsal OL0ANV a OL0ANU. Píši, že by bylo dobré uspořádat nový závod, pro všechny OK a OL dohromady. Mohl by být v pátek nebo v sobotu, trvat jednu až dvě hodiny, začínat okolo 20.00 SEČ. Navrhoji pořádat ho dvakrát do měsíce a nabízet je, že by závod sami vyhodnocovali. Tímto výnosem chtěji vyprovokovat ostatní k připomírkám, které byste měli poslat na adresu Dušana, OL0ANV. Já vás prosím, posílejte je na moji adresu, rád si je také přečtu a Dušanovi je předám. Měl bych s výrobou připomínky.

Jistě budete mít hodně dalších dobrých nápadů, tak pište. Dáme z toho néco dohromady a požádáme odbor KV o projednání našeho návrhu.

Další dopis jsem dostal od Honzy, OL5ALY. Píše o tom, co na 160 m slyšel (KL7, KV4, VP2, PY1, VO1, ZD8, HR2, HK0, SV0WE), s tím, že ale dovolat se je obtíž a že kromě VV/K dělá pouze KV4FZ. Dále píše o návrhu OK1ATP udělat DX žebříček ze 160 m. Už jsem na to také myslil a naše OL rubrika by nad ním mohla vzít záštitu. Takže pokud jste pro, pošlete svá „hlášení“ (počet potvrzených a udělaných zemí).

Petr, OL6AME, mi napsal, že Rudovi, OK2PEW, ex OL6AKP, přísej QSL lístek od PY2BJH, kterého dělá 26. 7. 70 na 1,8 MHz. Proti raději někdy.

Napište, na co kdo vysíláte Leckomu se zdá divné, jak se dá s 10 W na 1,8 MHz pracovat s mimoevropskými stanicemi. Tak můžeme udělat takovou malou statistiku používaných zářízení a antén.

73 Alek

OL QTC

# CQ YL

Rubriku vede  
Dáša Šupáková, OK2DM,  
Merhautova 188, Brno 14



Milé YL!

Úvodem omluvu ještě zpětně k lednovému číslu AR, kde jsem se snažila vyjmenovat všechny naše koncesionárky. Bylo dobré, že jsem myšla na zadní kolečka, když jsem upozorňovala, že: „...je docela možné, že kartotéka není úplná, nebo nastaly nějaké změny“ a zároveň jsem žádala YL, na které se omylně zapomnělo, aby mě opravily.

Je v tom trochu ironie, že jsem zapomněla právě na YL, se kterou jsem osobně navázala spojení na SSB a sama jsem se přesvědčila, že je na pásmu jedinou ženou, která tímto druhem provozu propaguje radioamatérský sport a snáší se pro ní ziskat od ostatních dívky a mňáželky svých protějšků.

Byla to Alena Matesová z Havířova, OK2BLI. Omlouvám se ji tímto a abych chybou napravila, snažila jsem se od ní získat několik informací.

Na kolektivku OK2KHF začala docházet ve svých dvaceti letech a dá se říci, že už tehdy totéž sportu propadla úplně. Zpočátku pro Honý na lísku a Polní dyni, kterých se kolektivka pravidelně zúčastňovala, později pro samotné vysílání. Na OK2KHF začínalo celkem 10 děvčat, většina z nich se však vzdala během kursu, ostatní opadly po absolvování RO zkoušek a na OK to dorážela bohužel jenom Alena.

Koncesi získala k 1. únoru 1967 a ještě téhož dne začala „rádit“ na zařízení, zapojěném od OK1AOP/2 (za kterého se později provdala, takže růz vstál v rodině).

V roce 1967 slavila také svoje první úspěchy. Dostala diplom „100 OK“ a v tomté roce jela WADM Contest, což ji vyneslo její druhý diplom (za účast) a obsazení 12. místa v ČSSR. Měla pochopitelně velkou radost a po absolvování různých jiných závodů, jak je každoročně YL závod aj., začala pomáhat pokrovat výs.

Setkání radioamatérů v Roudně v roce 1968 jí – jak sama říká – rozkolísalo úplně. Jejím snem začal být „sajdbend“ a nic si neprála víc, než zasednout jednou k vlastnímu SSB zařízení. Začala si připravovat podmínky pro svůj první tým, že složila zkoušky na třídu B a dala se do přesvědčování manžela, který je prý zarytý telegrafista a lovec zemí na život a na smrt.

Ná okamžík, kdy vyjede na svém milém „sajdbendu“ si však musela ještě nějaký čas počkat. Mezi tím se zaměřila na DX provoz a podařilo se jí udělat 80 zemí, ze 64 zemí jí přišly QSL listy.

Tim dlouho očekávaným dnem, kdy se poprvé objevila na SSB, byl 15. červenec 1970. Alena mi nadšeně líčila svoje okouzlení, zážitky a pocit z dostiupněním, kterým pro ní byla práce na SSB. Dovedu to všechno velmi dobré pochopit a také si umím představit ty spousty času, strávené u vysílače. Neboť jak jinak by se dalo vysvětlit, že za 14 dnů splnila podmínky pro diplom „100 OK 2 x SSB“ (který dostala toho roku k Vánočnímu).

Pro klid v rodině a aby neurazila telegrafisty, nechává se přemluvit a dělá ještě diplom S6S, záliba v SSB ji však pochopitelně neopouští, tak se se zápalen dává po diplomu BND (Noční můry). Znamená to 50 proběhlých nocí, aby získala 50 drahocenných bodů. Její žádost putuje do NSR a krátký čas na to je pasována na Noční můru číslo 115.

Za krátkou dobu svého působení na SSB udělala 52 zemí, z toho 32 zemí má potvrzených. Velmi ráda jedež závody; z těch, které mi jmenovala za loňský rok namátkou uvádí CQ WW DX Contest, z našich závodů OK DX Contest a Radioelefonní závod.

Aleně se podařilo vyslovit něco, v čem ale spoň

já osobně také vidím podstatu našeho snažení. Cituji: „Vysílání mě okouzilo, zapomínám na starost a přicházím na jiné myšlenky, prostě bavím se, což je hlavní věc. Někdy musím i potrápit nervy, když se objeví nějaký ten DX, čekám v pořadníku nebo i bez pořadníku víc než dvě hodiny a protistojnice pak dá CL. Je to k vztoku, ale sport je sport a také to musí být takto bráno.“ Myslím, že to je velmi správný názor a přeji OK2BLI ještě hodně DXů a radosti z práce na bandu.

Nakonec mi Alena řekla: „Jsem velmi vděčná hochům za to, že ačkoliv jsem žena, přeče mé mezi sebe tak mile přijali.“

A právě k tomuto bych chtěla něco dodat. Milá Aleno, nač tolík zbytěně skromnosti? Já vím, že bez pomocí dobrých přátel – amatérů bych se v technických problémech také neobešla. Vím také, že se najde pák takových, kteří cekají až udělám chybou a pak feknou, „no jo ženská!“ Vím toho ho bohužel z vlastní zkušenosti. Dostala jsem anonymní dopis, ve kterém mi bylo mimo jiné doporučeno, abych se nepletla do věcí, kterým nerozumím a věnovala se ráději chovu prasat, to prý našemu národnímu hospodářství víc prospěje. O anonymech má jistě každý slušný člověk jednoznačně mínění a všebej jsem proto celou věc nemnila rozhodně, tím méně na stránkách AR. Alena mi však nedevědomky dala podnět a myslím, že bych měla na dopis stručně odpovědět alespoň touto cestou.

Dr OM nevím, jaké je Vaš povolení a jak jste se k vysílání dostal. Zato ale vím, že není mnoho amatérů, jejichž profesí a radioamatérský sport jsou totéž, nebo se aspoň do značné míry prolínají. Tim nesnadnější byly a jsou začátky nás, naprostých laiků, kteří se na neznámé půdě musíme dost těžko prokousávat. Když jste uvádíte, že na většině těchto (aspoň nás „odrostlejších“) spočívá každodenní starost o děti a domácnost, musíte uznat, že to nemáme lehké. Ale snažíme se a to je hlavní. Myslím, že Vás dopis je nutně považovat nikoli za útok pouze na moji osobu, ale na ženy všebej. Stejně ale nechápu co Vás vedlo k Vášemu skeptickému názoru na ženské pokolení a dovolují si Vám oponovat. Měl byste přiznat, že i v tom vysílání my ženy ale spoň něco málo umíme. Mohl Vám to dokázat třeba YL OM Contest, pokud jste jej sledoval. Sama jsem sice jela až poslední hodinu (sří), takže nemám dokonalý přehled. Zato jsem až měla možnost slyšet kritiky několika amatérů, kteří sledovali závod celý a s radostí musíme říct, že to byly kritiky pochvalné. Jeden HAM mi napsal: „Byl jsem překvapen vyspělostí žen v CW provozu. Zkrátka v YL jste zde „zatápely“ mužům, z nichž každý musej mít pocit, že pracuje s rutinováním telegrafisty.“

Nezbyvá tedy, než Vás požádat, abyste přiště (pokud se mnou ovšem minete daleko polemizovat) uváděl argumenty konkrétní a hlavně opodstatněné. A abyste se opět nezapočně podepsat.

\* \* \*

73 Dáša

## K YL-OM Contestu 1971

Název CQ YL jistě nezapočívá mužům, psát do této rubriky; proto jsem se rozhodl napsat několik svých dojmů z letošního OK YL-OM Contestu. Musím říci, že jsem náš YL trochu podceňoval. Když jsem nažával TX, bylo už 15 minut po začátku závodu. Rájkal jsem si, že těch 10 YL, co tam bude, se tu první hodiny vzdýky udělám. A proto mám málo násobič (h). Dalо by se říci, že závodu vyhrazená část pásma 3,5 MHz po celé tři hodiny opravdu vřela. A ke cti všem YL slouží, že se podle provozu většinou nedalo zjistit, skrývají-li se za známkou YL nebo OM a bylo nutné výčkat, jaký kód stanice předvádí. Opravdu mě překvapil vynikající závodní provoz některých stanic, např. OK3RKB (u klíče OK3TMF), OK3YL/p, OK2BHY, OKIASK, OK3WKW. Závod se zúčastnilo 27 YL a 85 OM. YL stanice se rozhodně „nemudří“ a měly celý závod co dělat, ani se nemusely moc přeladovat. Závod se mi líbil a všebej, kteří se ho letos nezúčastnili, ho pro příští rok doporučují.

OKIAMY



Rubriku vede Ing. V. Srdíčko, OK1SV, p. s. 46, Hlinsko v Čechách

## DX – expedice

Opožděně se dovidáme o expedici W9IGW, který má navštívit asi na 3 dny ostrov Juan Fernandez, CE0/Z. Jeho značka je W9IGW/CE0 a QSL žádá na svou domovskou adresu.

Z ostrova Cocos vysílala expedice TI2CF pod značkou TI9CF asi po dobu 6 dní koncem března t. r. Společně s TI tam byl i známý W4VPD. Pracovali jak SSB, tak i telegraficky na všech pásmech a několik OK se podařilo i spojení na 80 m pásmu.

Expedice OR4CR/AP z Vých. Pákistánu pracovala opravdu velice dobře a byli u nás slyšetelní i na 80 m, hlavně na 21 a 28 MHz. Hůře se však již dělali. Expedice byla náhle ukončena dne 11. 3. 71, kdy odcítil domů do ON4.

Gus Browning, W4BPD, oznámil, že počátkem dubna t. r. započne svoji novou DX-expedicí, a to ze Sikkimu, kde měl nějakou dobu vysílat od operátéra AC3PT. Pak hodlá navštívit některé další AC země, mluví se o Tibetu, pokud tato země mezi tím nebude v DXCC zrušena!

Novou stanici v Nepálu je značka 9N1JK, která se objevuje dosti často na pásmech 21 a 14 MHz. Hůře však německy a požaduje QSL direct na DJ9KR. Kromě něho je velmi aktivní i páter Moran 9N1MM, hlavně na 21 MHz SSB.

Novou stanici v Papua Territory je VK9DM. Najdete ji na 21 340 kHz, popřípadě i na 21 220 kHz na SSB časně odpoledne v dosti velké síle.

Z Indonésie se vyrobila celá řada stanic, takže tato svého času téměř nedostupná země se stala rázem snadno dosažitelnou. Kromě cizích státních příslušníků, což mají značky YB0, pracují nyní velmi aktivně i další stanice, např. YB1AAK na 14 290 kHz kolem 15.00 GMT, ze středu Javy pracuje YB2AR, a Sumatra má nyní prefix YB6. Zadní Irán má přidělený prefix YB9.

Značky HC6, které se hemžily na pásmech kolem 21. února t. r. asi po dobu jednoho týdne, byly speciální prefixy vydané u přiležitosti výstavy květin ve městě Ambato. Jak jsem se neoficiálně dozvěděl, za spojení se čtyřmi různými HC6 je prý vydáván hezký diplom.

Novinky z Jordánska: značka JY1/A patří králi Husseinovi, pokud pracuje ze svého druhého sídla kdesi na jihu země, odkud se ozvala též značka JY1/B, patřící jeho manželce. QTH udávají Alebabka. Dále byla slyšena i značka JY2B, o níž zatím nic bližšího nevím.

Jedinou aktivní stanici v SAR (Egypt) je t. č. SU1MA. Pracuje na SSB hlavně na 14 MHz, objevuje se pravidelně každý pátek v Arabské DX-sítě (kde ovšem pracují arabští stanice pouze mezi sebou!) a QSL žádá výhradně direct.

Potřebujete-li Honduras, snadno najdete na 14 MHz silnou stanici WA5KPL/HRI na SSB. QSL žádá na adresu: P.O.Box 56, Tegucigalpa, Honduras, a požaduje zaslát IRC.

Ve dnech 16. až 23. března měla pracovat z Vatikánu silná expedice z DL pod značkou tamního HV3SJ, a to pouze telegraficky na všech pásmech. QSL manažera této expedice dle DL1CU a QSL žádají direct.

TT8AD v Tchadu je stále ještě velmi aktivní a zdrží se tam služebně do 29. 12. 1971. Jeho bratr, P2MO, tam nyní pojede asi v říjnu t. r. a bude pod jeho značkou konat pokusy zejména na pásmech 80 a 40 m. F2MO je rovněž QSL manažerem pro TT8AD.

Z republiky Guinea pracuje nyní aktivně dobré slyšitelné stanice WA4OVP/8R1, obsluhovaná manžely. Pracují jen na 21 MHz SSB, a to buď okolo poledne, nebo večer na kmitočtu 21 350 kHz. Sdělují, že QSL žádají výhradně direct na P.O.Box 25, Georgetown, a že t. č. není v 8R1 všebej žádné QSL-bureau, takže QSL pro všechny 8R1 stanice se musí poslat pouze direct na udané adresy. Listky zaslávané přes ÚRK tudiž nemohou být doručeny!

HM1BK z Jižní Koreje pracuje se stanicemi z LDS. Bývá na kmitočtu 14 215 až 14 220 kHz vždy ráno kolem 08.00 GMT.

Z ostrova Norfolk pracuje nová stanice VK9NP. Je vidět, že je již dodržováno nové rozdělení prefixů pro VK9 a VK0, tudiž pro Norfolk je to písmeno N za číslici. Je to vlastně dlouhodobá expedice, uspořádaná akcí DX-association K3RLY a zdrží se na ostrově několik měsíců. Pracuje hlavně na 14 MHz SSB a



Alena Matesová,  
OK2BLI

používá kmitočty 14 190 až 14 195 kHz, ovšem zásadně poslouchá 100 kHz výše; tedy pozor při volání! QSL manažerem je K3RLY.

Ke kuriozni situaci došlo koncem března na Manihiki, což je pro nás jedna z největších rarit! Tamní ZK2MA totiž podnikl „expedicí“ na své mateřské souostroví Cook-Island, odkud vysílal delší dobu pod značkou ZK2MÁ/ZK1 – ovšem na ZK1 je amatér dost, takže pro nás to nebylo žádáním přinosem.

Jak se dozvídáme na pásmech, QSL listky expedice UV5K byly prý již rozesány, a to pouze přes bureau.

Z pásmu č. 25 pro diplom P75P pracuje telegrafická stanice UA0ZU na Kamčatce. Její QTII je Kamenkoje.

QSL od stanice AP5HQ lze prý vydolovat přes manažera UA9AN, Sam Edelman, P.O. Box 62, Central Post, Chelyabinsk, USSR.

EA9CH, který pracuje v současné době SSB na pásmu 80 m, má QTH Melilla, a žádá QSL direct na P.O.Box 22, Melilla, North Africa.

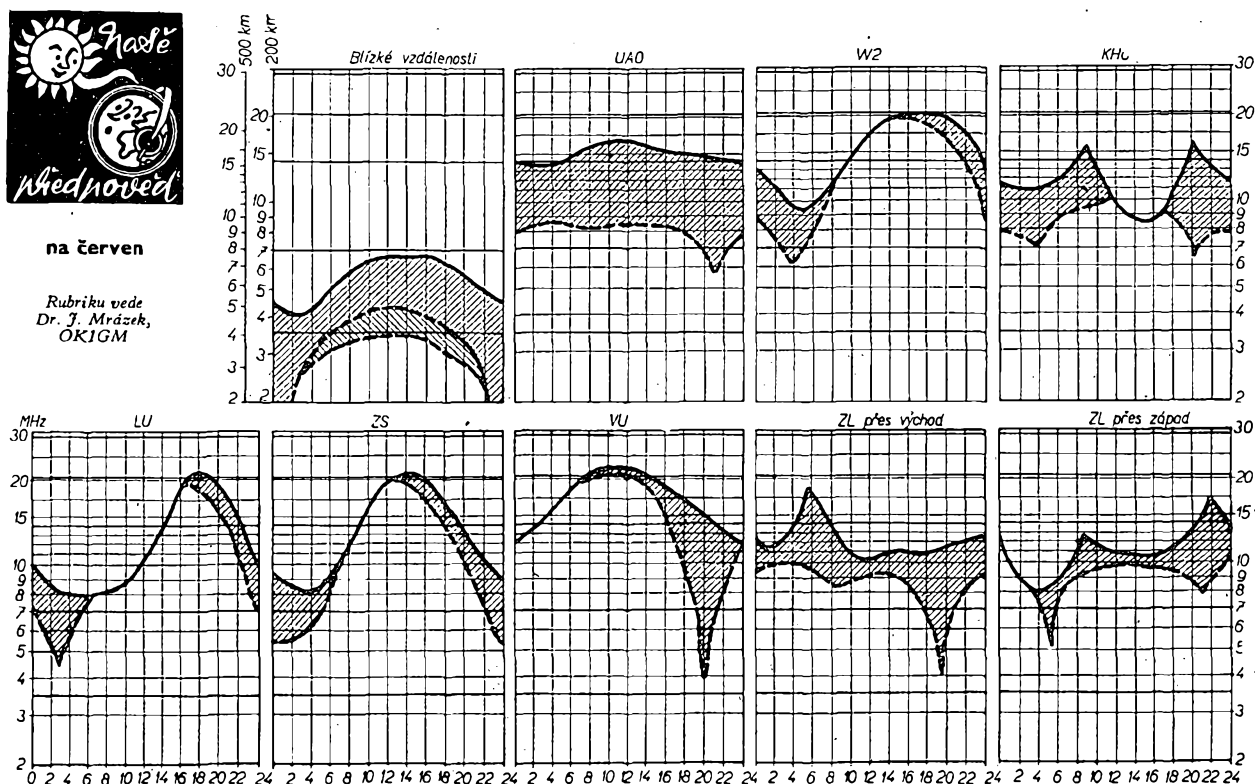
V arabské DX-sítě, o niž jsme vás již informovali, pracují obvykle v pátek ráno tyto stanice: fidici stanici je YK1AA, a dále MP4BHH, 7Z3AB, CN8MD, CN8AD, CN8DW, ST2SA, SU1MA a YJ1. Kmitočet sítě je 14 200 kHz, ale pokud pracují arabské stanice mezi sebou, nevezmou nikoho. Po ukončení svých skedů se obvykle některý z nich odladí kousek vedle a vyzve čekající stanici, aby se přihlásily, o koho mají zájem, a pokouší se spojení uskutečnit. Dosud však nemají zkušenosti a tak tento provoz vždy nevyjde a dosáhnout s některou raritou spojení jí dosud včetně poslouchají obvykle mezi sebou mezi 14 205 až 14 208 kHz!

Do dnešní rubriky přispěli amatéři vysílači OK1ADP, OK1ADM, OK2BRR, OK2QR, OK1AWQ, OK1AGI, OK2BIQ, OK3CII. Nenapsal však ani jeden posluchač! Jak vidíte, zpravidla stále ubývá, a nebudou-li spolupracovat i bývali starí dopisovatelé, popřípadě i noví DX-mani, může se stát, že nebude mi do rubriky co psát! Příště proto všichni, kdo máte o DX-sport vážný zájem a pomožte tak úroveni naší rubriky nejen udržet, ale i zvýšit. Zprávy zasílejte vždy do osmého v měsíci na moji adresu.



na červen

Rubriku vede  
Dr. J. Mrázek,  
OK1GM



Roční období a snad i konečně definitivní pokles sluneční činnosti v červnu povede k tomu, že kritické kmitočty vrstvy F2 budou ve dne nižší než v květnu a nejvyšší použitelné kmitočty se sníží natolik, že pocítíme zřetelné zhoršení DX podmínek v pásmu 28 i 21 MHz. I na dvacetimetrovém pásmu budou podmínky zřetelně horší než v minulých měsících, třebaže po celou noc bude pásmo otevřeno a

# četli jsme

## Radio, Fernsehen, Elektronik (NDR), č. 3/71

Diskriminátor, využívající hromadění menšího nositelů – Podlelné vlnění a vlastní rezonance plazmatu – Informace o polovodičích (76), foto-tranzistor KP101 Tesla – Cílové zpracování informací (22) – Druhá výstava elektrických a elektronických měřicích a ovládacích přístrojů v Lipsku – Druhotná použití tzv. cestovních přijímačů – Technika přijmu barevné televize (29) – Technika operačních zesilovačů – Stabilizovaný operační zesilovač (2) – Vedení na vicepatrových plošných spojích – Ustálení výchylky klasických měřicích přístrojů.

## Radio, Fernsehen, Elektronik (NDR), č. 4/71

Novy způsob zjišťování chyb v počítačích – Ultra-zvukové měřicí zařízení pro mikrominiaturní svářecíky – Cílové zpracování informací (23, 24) – Stereofonní přijímač Rema Adagio 830 – Informace o integrovaných obvodech v tenkých vrstvách KME3 (9) – Technika přijmu barevné televize (30) – Komparátor – Stabilizovaný operační zesilovač (dokonč.) – Stavební návod na analogový měřicí kmitočtu.

## Radioamatér (Jug.), č. 2/71

Do nového roku – Tranzistorový přijímač Oskar – GAN 70, amatérský vysílač 150 W – Jednoduché tranzistorové voltmetry – Technické novinky – Měření kosinu úhlu v proudu a napětí – Televizní přenos po vedení – Přijímač do motorových vozidel Ei-124 – Amatérské převáděče na balonu – Nej-jednodušší nf filtr – Tranzistorové VFO – Polovodičová technika – Přijímač pro VKV – Malý nf zesilovač – Nf zesilovač Toreto T.

## Rádiotechnika (MLR), č. 3/71

Sociologie v průmyslu – Zajímavá zapojení s elektronikami a tranzistory – Relé v ochranné plynové atmosféře a ve vakuu – Napájení antén –

Základy techniky RTTY – DX – Aplikace filtrů TVI – Z dopisu čtenářů – RT-TV (7) – TV servis – Nový TV vysílač v Budapešti – Voltmetr s tranzistorem FET – Polyfonické elektronické varhany – Výpočet obvodu stejnosměrného proudu – Integrované obvody – Zapojení s tyristory – Tabulka maďarských televizních a rozhlasových vysílačů.

## Radio, televizija, elektronika (BLR), č. 1/71

Tendence rozvoje vysílání barevné televize – Značení parametrů polovodičových prvků – Elektronkový voltměr s elektronickým ukazatelem výladění – Jednoduché zařízení k měření mezního napětí tranzistorů Miniatenty – Mapka televizních vysílačů v Bulharsku – Pro servis – Tranzistorový přijímač VEF 204 – Měření na nf zesilovačích – Kváadro pro kytařu – Reproduktarové skřínky – Elektronická chvíva – Tranzistorový hledač kovových předmětů – Obsah ročníku 1970 – Zkoušky výkonových tranzistorů – Multivibrátor s krystalem – Milivoltmetr BH-51 – Hmoty s velkým měrným odporem – Rubriky.

## Funktechnik (NSR), č. 2/71

Mezinárodní spolupráce při letech do vesmíru – Čtyřkanálová stereofonie – Přehled tunerů v televizních přijímačích – Grafický výpočet napěťových a proudových stabilizačních obvodů s tranzistory – Technika operačních zesilovačů – Křízová modulace v fyzických výfzech zesilovačů s tranzistory FET – Technické aspekty reaktoru – Tyristorové napájení při pírušení dodávky proudu – Tranzistory řízené polem.

## Funktechnik (NSR), č. 3/71

Navigace lodí podle družic – Technika operačních zesilovačů – Moderní koncepcie mf zesilovače pro tuner VKV – Grafický výpočet napěťových a proudových stabilizačních obvodů – Čtyřkanálový záznam na gramofonovou desku CD-4 – Dialog mezi člověkem a strojem – Přímoukazující měřicí kapacity a indukčnosti s moderními obvody – Nf zesilovač – Tranzistory řízené polem.

## Funktechnik (NSR), č. 4/71

Stav a výhledy trhu barevných televizních přijímačů – Moderní technika televizních a VKV přijímačů – Stereofonní zesilovač Hi-Fi Klein a Hummel ES 707 – Záznam dat v letadlech – Přenos dalšího kanálu (nf) u televizního vysílání pomocí druhé nosné – Navigační systém Omega – Emitorový sledovač v praxi – Metronom s tranzistorem UJT – Tranzistory řízené polem.

spojení s různými světadily budou možná. Na čtyřicetimetrovém pásmu zejména ve druhé polovině noci budou standardní podmínky podél Slunce neosvětlené trasy. Na pásmu osmdesátimetrovém budou vzhledem ke krátkým nocím DX podmínky mnohem vzácnější.

Po roční přestávce se dostane ke slovu mimořádná vrstva E, jejíž výskyt bude právě v červnu nejvýraznější. Projeví se možnostmi spojení se stanicemi v okrajových zemích Evropy v pásmu 28 MHz i s nepatrnými výkony vysílačů. Jedno maximum bude později dopoledne, převážně ve směru na země při pobřeží Atlantického oceánu, druhé později odpoledne ve směru oblasti evropské části

SSSR. Totéž platí i pro dálkové televizní podmínky v prvním televizním pásmu. Někdy se vliv mimořádné vrstvy E uplatní dokonce i v pásmu OIRT pro VKV rozhlas, takže na kmitočtech 65 až 74 MHz bude možno zejména odpoledne a v podvečer poslouchat v některých dnech rozhlasové vysílače zejména z Bulharska, Rumunska a SSSR.

Tyto podmínky budou nastávat v několika po sobě jdoucích dnech, zatímco jindy je po stejně dlouhé období nezaznamenána vůbec. Zejména sledování vzdálených televizních vysílačů je velmi vděčné a technicky poměrně nenáročné, protože se přitom vystačí s běžnými přijímači i anténami.

# Nevyplatné ře

## V ČERVNU

se konají tyto soutěže a závody (čas v GMT):

Datum, čas	Závod	Pořádá
4. až 7. 6. 23.00—06.00	CHC-FHC-HTH QSO Party	USA
5. a 6. 6. 17.00—17.00	Evropský KV Polní den, 3,5 MHz, CW	DARC

Připravte se na setkání radioamatérů „Olomouc '71“, které se koná ve dnech 31. 7. a 1. 8. 1971.



## přečteme si

Jakubaschek, H.: PŘÍRUČKA PRO AMATÉRY ELEKTRONIKY. Z německého originálu „Elektronikbastelbuch“ přeložil Ing. Tomáš Horňák, CSc. SNTL: Praha 1970. 272 str., 168 obr., 7 tab. Váz. 29,— Kčs.

Nepovídáná obálka by neměla čtenáře, zejména radioamatéry, odražit od koupi této knihy. V knize je totiž 100 elektronických a tranzistorových zapojení, kromě několika stránek vysvětlujících základy elektroniky, a kromě jedné dosti obsáhlé kapitoly o součástkách. Stavební návody a návrhy zapojení s podrobnými schématy, hodnotami součástek, popisy konstrukce, funkce, nastavení apod. si kladou za cíl přinést radioamatérům mnoho nových polí působnosti, fiktivně nebezpečných, ale zajímavých. Jistě pro každého něco, jak ostatně růkám sám autor. Jsou tu popsaný např. světelné pistole, blikači maják, soumrakový spináč, strobokop, poplachová světelná závora, světelná telefonie, hlasící vlností, teploty, osvětlení, termometry, stabilizátory, různé regulátory, dálkové řízení modelů a dálkové ovládání, programové řízení magnetofonem, kybernetické modely, časové spináče pro temnou komoru, měniče napětí, elektronické telegrafní klíče, bezdrátový mikrofon, a další zajímavé přístroje a pomůcky.

U většiny zapojení jsou udány důležité parametry součástek, jako např. zesilovací činitel, maximální přípustný kolektorový ztráta, popř. maximální zbytkový proud, atd., takže náhrada různých typů německých tranzistorů českým je usnadněna.

Překladatel neopomněl připojít důležitý dodatek: jedná se literární prameny, které mají amatérům umožnit proniknout do speciálních problémů v knize podrobně nepopsaných, jednak nová typová označení polovodičových součástek s důležitými údaji, tabulkami diod a tranzistorů.

Knihu je vhodná pro všechny radioamatéry, ale poslouží i pracovníkům v průmyslu při řešení drobných úkolů z elektroniky.

Lubomír Dvořáček

Klimek, A.; Tomášek, J.; Fibich, Z.: POLOVODIČOVÉ SPINACÍ SOUČÁSTKY. SNTL: Praha 1970. 352 str., 218 obr., 9 tab. 38,— Kčs.

Moderní polovodičové součástky pronikají velmi rychle do nejrůznějších odvětví elektroniky. Nejuniwerszálnější, a proto nejpoužívanější a nejrozšířenější součástkou je dnes tranzistor. O tranzistorech a tranzistorových obvodech, v nichž tranzistory pracují jako zesilovače nebo jako spináče, bylo vydáno mnoho publikací. Platí to jak o tranzistorech řízených elektrickým proudem nebo nábojem, tak o tranzistorach řízených elektrickým polem. Pro spináni se ovšem mnohem lépe hodí speciální polovodičové součástky, které mají voltampérkovou

charakteristiku s oblastí záporného diferenciálního odporu nebo vodivosti, jako např. tunelová dioda, jednopřechodový tranzistor, čtyřvrstvový a pěti-vrstvový součástek, atd. Tato kniha právě shrnuje a analyzuje spinaci vlastnosti takových součástek. Ve své první části se věnuje základním pojmenům z fyziky polovodičových součástek a charakteristickým obvodovým vlastnostem polovodičových spinaců. V druhé části jsou probrány vlastnosti jednotlivých polovodičových součástek, používaných ke spinaci (kromě vícevrstvových) a souvislosti těchto vlastností s technologií výroby. Poslední část knihy je věnována výhradně vícevrstvovým polovodičovým součástkám, jejich statickým dynamickým elektrickým vlastnostem, i fyzice a technologií výroby, technickým parametry a obvodovým vlastnostem.

Knihu není vhodná pro všechny radioamatéry. Úroveň a způsob výkladu jsou náročné. Kromě matematických formulací je v knize i podrobná formulace slovní a názorné experimentální ověření, zejména v teoretických závěrech. Jen nejvýspělejší radioamatéři mohou výklad sledovat bez obtíží. Lze ji doporučit čtenářům, kteří se vážně zajímají o hloubší poznání polovodičové techniky.

L. S.

KŘEMÍKOVÉ TRANZISTORY PRO SPOŘEBNÍ ELEKTRONIKU. Publikace n. p. Tesla Rožnov. Rožnov pod Radbuzou 1970. 121 str. obr., tab. Publikace jsou v prodeji ve vzorových prodejnách Tesla, pro podniky též v n. p. Tesla Rožnov, OTS. Cena 10,— Kčs.

Publikace Tesla Rožnov o křemíkových tranzistorach poslouží především při seriovém návrhu obvodů s těmito tranzistory, neboť kromě katalogových údajů jsou v ní uvedeny i podrobnější statické a dynamické parametry, nekterých typů dokonce i grafy závislosti jednotlivých veličin na teplotě apod.

U každého typu tranzistoru je uveden i přehled mechanických vlastností, klimatických vlastností, pájitevnost vývodů a zaručované údaje AQL pro jednotlivé vady a parametry. Závěrem publikace jsou doporučení pro montáž a pájení.

U publikací jsou uvedeny tranzistory těchto typů: KC147, KC148 a KC149, KC507, KC508 a KC509, planárně-epitaxní tranzistory n-p-n pro nf použití (dvouice planárně-epitaxních tranzistorů n-p-n pro nf a spinaci obvodů), KD601 (planárně-epitaxní tranzistor n-p-n 35 W pro regulární obvody), KD602 (výkonové tranzistory pro elektronické zapalování v motocyklech), KD610 (dvouice křemíkových výkonových tranzistorů n-p-n v Darlingtonové zapojení pro obvody stabilizovaných zdrojů), KF124 (planárně-epitaxní tranzistor n-p-n pro předzesilovači a směšovací obvody přijímačů AM, pro nf zesilovače a zvukové mřížky zesilovače televizních přijímačů), KF125 (planárně-epitaxní tranzistor n-p-n pro přijímače až do rozsahu VKV), KF167 (planárně-epitaxní tranzistor n-p-n pro fázově stupně mf zesilovače TV přijímačů), KF173 (planárně-epitaxní tranzistor n-p-n pro nefázově stupně mf zesilovače TV přijímače), KF503, KF504 (planární vf tranzistory n-p-n pro vf zesilovače a obrazové zesilovače TV přijímače), KF506, KF507, KF508 (planární vf tranzistory n-p-n pro všeobecné použití), KF517 (planární vf tranzistory p-n-p pro všeobecné použití), KF524, KF525 (planárně-epitaxní tranzistory n-p-n pro vf použití).

P. M.

## INZERCIE

První tučný řádek Kčs 20,40, další Kčs 10,20. Pištištou částku poukážete na účet č. 300-036 SBCS Praha, správa 611 pro Vydavatelství MAGNET, inzerce, Praha 1, Vladislavova 26. Uzávěrka 6 týdnů před uveřejněním, tj. 14. v měsíci. Neopomeňte uvést prodejní cenu.

### PRODEJ

Tranzistory 2N3055 (RCA), párované i jednotlivé (200), BC109C (Siemens)  $\beta > 450$  (à 30), operační zesil.  $\mu A$  709 (Fairchild) (à 300). Vše nové, kvalita zaručena. H. Cisář, 4. koleje 430, Strašov-Praha 6, tel. 354441/274, pokoj 430.

RX Lambda IV. Šenkýř, Praha 6, Na pískách 93 Originál trans. 2N3055 pář (350), BD106 pář (250), BC107 B 100-150 (40), BC172 (40), Triac BTRO440 10A/400V (250), Diac ER900 (70), Tyristor 1A/400V (100); Neznačované trans. BC147 B 100-300 (30), BF184 B 50-100 (30), BC177 B 40-50 (15), PNP, AC122 (15), AC175 (20) n-p-n. Ing. Jáněk, Teplická 271, Praha 9, Prosek.

Velmi levně AR, ST roč. 1962-65 a zachovalé knihy, radio, tel. polov. J. Šubrt, Varnsdorf 2213, okr. Děčín.

Krystaly Kr<sub>1</sub>-Kr<sub>40</sub> ze stanice RM 31 (580) i jednotlivé, tranzist. kmitajici směšovač 5,5/6,5 MHz (68), F. Štanc, Vintířov 160, okr. Sokolov AR r. 68, 69, 70 po 50 Kčs, radiotech. mater., sluchátka 2 × 4 000 Ω (90). O. Zelený, Janouškova 5, Brno 14.

Vojenský přijímač TORN-EB v chodu + 8 × RV2P800 100% + měnič 2V, sluchátka, baterie 25 Ah 350 Kčs. Bohuslav Kratochvíl, Bzová, o. Beroun.

Stereozesilovač Transiwatt 30G (2700), stereoadaptér Hitachi MH907II (700), repro ARO711

(150), ohmmetr KDR2 (150). Jiří Řefucha, U Kubovy 537/1, Praha 4-Podolí.

Nové tranzistory BC109 C 6 A, AF 239-8A. Jaroslav Kokš, Purkyněova 1204, Kladno Kompl. soupr. potenciometr (4 dB) k stereozes. G4W. R. Hauska, Malátova 4, Brno Radio Stradová 3 bezv. + 16 náhr. el. + náhrad. díly (1 300), tranzist. AF106 (40) a jiné, RX E6 rozeb. (280), RV12P2000 nepouž. (à 5), NIFE 1,2 V/60 Ah (à 40), 2,4 V/13 Ah (25), sluch. (40), síť. zdroj (60), UKV lad. kond. (50). Ing. Křemen, Jáchodnice 162, Praha 9-Kyne Tranzistory AF139 (65), AF239 (75) orig. Siemens, I.A.V. Novotný, Mateřidouškova 11, Praha 10, tel. 7717555 AF 239 (à 80), 2N3055 pář (300) (Siemens). Z. Bruthans, Krocinovská 7, Praha 6

KOUPEĽ  
RX1155, EL10, MWEC, EZ6, X-tal 1, 1,8, 8 MHz. Toporka, ČSA 16/22, Ziar n. Hr. Kompletní ročníky AR r. 1953, 1954 a 1960 i nesvářené. Bernard Grigor, Málin 33/100, Bratislava

VÝMĚNA  
DHR8-50  $\mu A$  za 100  $\mu A$ , koupě 4NU73 pář. A. Messinger, Bernoláková 3, Bratislava Sonet Duo + 5 pásků k kvalitní KV RX. Udejte popis. Popřípadě prodám, koupím. V. Brezina, Labinská 1181, Hradec Králové 1

RŮZNÉ  
Naslouchadlo BLASON pro nedoslychavého, kdo opraví. Hájek, V túnich 9, Praha 2

## CESTA ZA KVALITNÍM ZVUKEM VEDE K NÁM!

Elektronky - kondenzátory - odpory - polovodiče - potenciometry - měřicí přístroje - reprodukční techniku přímo prodáváme i zasíláme na dobírku do celé republiky.

RADIOAMATÉR  
PRAHA 1, Žitná 7  
tel. 228 631



DOMÁCÍ POTŘEBY PRAHA



# NAKLADATELSTVÍ NAŠE VOJSKO VÁM NABÍZÍ

novinky do vaší odborné knihovny  
a k tomu trochu poutavé četby

**Ing. E. Milenovský - Ing. M. Studnička: PŘENOSNÉ  
A VOZIDLOVÉ VKV RADIOSTANICE**

Důkladný a všeobecný popis podstaty, funkce, obsluhy, údržby a oprav přenosných radiostanic, jejich měření a zkoušek tvoří obsah této publikace, která zachycuje nejmodernejší, praktický ověřené poznatky. Kart. 15 Kčs.

**Ing. J. Hercík - Ing. L. Marvánek: TRANZISTOROVÝ SUPERHET, TEORIE A STAVBA**

Kniha poskytuje základní teoretické i praktické poznatky, potřebné k tvůrčí konstrukční práci; pomůže především rádioamatérům při stavbě prvního složitějšího přijímače - tranzistorového superhetu. Kart. 17,50 Kčs.

**PŘÍRUČKA PRO VOJENSKÉ SPOJAŘE**

Obsahuje abecedu radiotechniky a elektrotechniky, kapitoly o vlastnostech a prostředcích rádiového spojení, zásady a pravidla provozu na rádiových pojítkách apod. Závěr tvoří výkladový slovník termínů, jež musí spojár znát. Váz. v PVC 15,50 Kčs.

Dále vám nabízíme:

**M. Ivanov: SMRT NA ČEKANÉ**

Čtyři napínavé příběhy z války, kdy se odlehle hájovny na Českomoravské vysočině staly dočasným asylem pronásledovaných, at už to byli uprchlíci z nacistických koncentračních táborů, odbojoví pracovníci či parašutisté. Kart. 13 Kčs.

**V. Ježek: SOUBOJ V ÉTERU**

Zajímavé a vzrušující čtení o tom, jak se oficiální i ilegální rozhlasové stanice (nacistické nebo spojenecké) zapojily do válečných operací druhé světové války. Kart. 11 Kčs.

**E. Pára - L. Náprava: SEDMNÁCT LET ČESKO-SLOVENSKÝM AGENTEM NA ZÁPADĚ**

Pravdivý, u nás dosud ojedinělý dokument z autentické špiónážní literatury. Příběh dr. Pánka, který od jara 1949 pracoval jako dvojitý agent v NSR a USA. Kart. 12 Kčs.

----- zde odstříhněte! -----

**OBJEDNACÍ LÍSTEK**

(Odešlete na adresu: **NAŠE VOJSKO**, prodejní odd., Praha 2, Na Děkance 3)

Objednávám(e) na dohíru - na fakturu\*) tyto knihy:

- výt. Milenovský-Studnička:  
**Přenosné a vozidlové VKV radiostanice**
- výt. Hercík-Marvánek:  
**Tranzistorový superhet, teorie a stavba**
- výt. Příručka pro vojenské spojáře

- výt. Ivanov: **Smrt na čekané**

- výt. Ježek: **Souboj v éteru**

- výt. Pára-Náprava:  
**Sedmnáct let československým agentem na Západě**

Jméno (složka) \_\_\_\_\_

Podpis \_\_\_\_\_

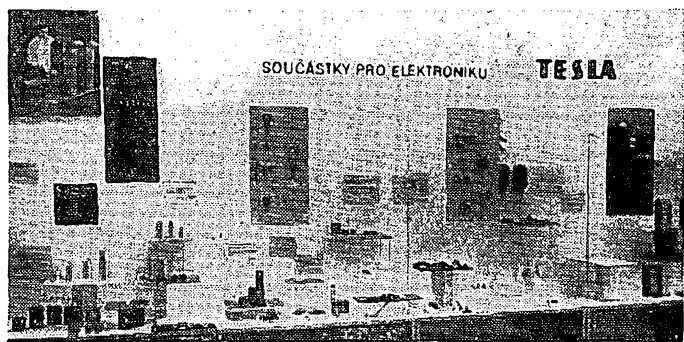
Razítka \_\_\_\_\_

Datum \_\_\_\_\_

\*) Nehodící se škrtněte

# SOUČÁSTKY PRO AMATÉRY

- **PRAHA 1**, Martinská 3
- **BRNO**, Františkánská 7
- **OSTRAVA**, Gottwaldova 10
- **UHERSKÝ BROD**, Moravská 92  
(zde též zásilková služba)
- **BRATISLAVA**, Červenej armády 8



Tyto prodejny TESLA jsou specializovány na součástky pro radioamatéry. Jinak můžete součástky žádat i v ostatních prodejnách TESLA:

**Praha 1**, Národní 25, pasáž Metro; **Praha 1**, Soukenická 3; **Praha 2**, Slezská 4; **Praha 8**, Sokolovská 146; **Kladno**, Čs. armády 590; **České Budějovice**, Jiřovcova 5; **Pardubice**, Jeremenkova 2371; **Ústí n. Lab.**, Pařížská 19; **Děčín**, Prokopa Holého 21; **Cheb**, tř. ČSSP 26; **Chomutov**, Puchmajerova 2; **Liberec**, Pražská 142; **Jablonec n. Nis.**, Lidická 8; **Teplice**, ul. 28. října 858; **Jihlava**, nám. Míru 66; **Prostějov**, Žižkovo nám. 10; **Havířov VI**, Zápotockého 63; **Frýdek-Místek**, dům služeb, sídl. Riviera; **Karviná IV**, Čapkovo nám. 1516; **Králický**, nám. ČSA 362; **Olomouc**, nám. Rudé arm. 21; **Hodonín**, Gottwaldovo nám. 13; **Trenčín**, Ludový hájik 3; **Bratislava-Pošeň**, Borodáčova 96 (velkoobchod); **Banská Bystrica**, Malinovského 2; **Nižná n. Oravou**, Dům služeb; **Košice-Nové Mesto**, Dům služeb Luník I; **Kežmarok**, Sovietskej armády 50; **Michalovce**, Dům služeb, II. patro; **Prešov**, Slovenskej republiky rad 5; **Trebišov**, Dům služeb.